

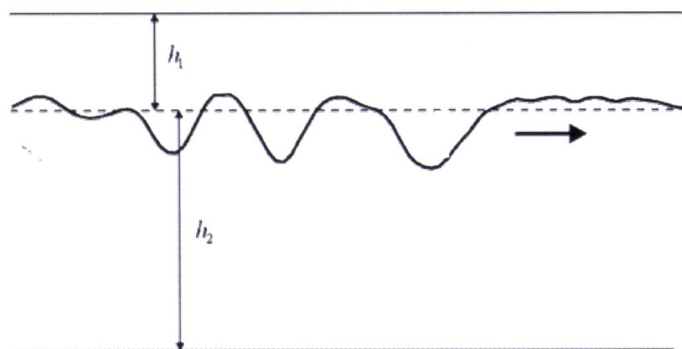
บทที่ 3

ผลการวิจัย

3.1 ผลดำเนินการวิจัยปีที่ 1

3.1.1 คลื่นใต้น้ำ (Internal Wave)

คลื่นใต้น้ำ (internal solitary wave) ที่ก่อตัวขึ้นในทะเลอันดามันนั้น เป็นคลื่นที่มีลักษณะไม่เป็นเชิงเส้น (non-linear wave) กล่าวคือคลื่นแต่ละลูกมีแต่ห้องหรือสันคลื่นเท่านั้น ซึ่งคลื่นนี้มีสาเหตุเกิดจากกระแสหนาเนื้อจากน้ำขึ้นน้ำลงเข้าไปท่ากับโขดหินใต้น้ำและภูเขาใต้น้ำซึ่งมีในทะเลอันดามัน และจะเคลื่อนตัวเข้าสู่บริเวณชายฝั่งตะวันตกทางภาคใต้ของประเทศไทย โดยคลื่นชนิดนี้จะเกิดขึ้นที่ร้อยต่อระหว่างน้ำขึ้นน้ำลงและน้ำขึ้นล่าง (แสดงดังรูปที่ 3.1) ซึ่งน้ำถูกแบ่งชั้นเนื่องจากความหนาแน่น คลื่นชนิดนี้ ก่อตัวขึ้นเป็นคลื่นใต้น้ำ (surface solitary wave) ซึ่งมีความสูงของคลื่นอาจมากกว่า 100 เมตร (Osborne and Burch, 1980)

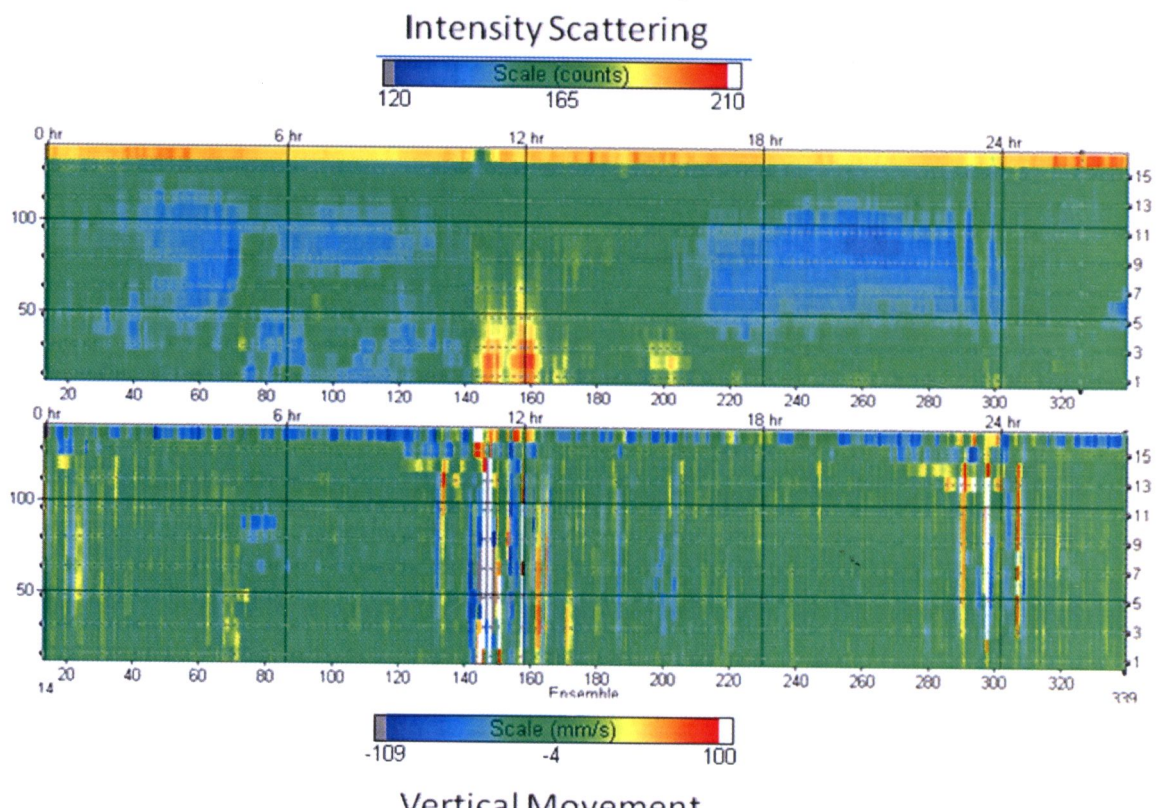


รูปที่ 3.1 คลื่นเดี่ยวใต้น้ำ

(Inall et al., 2001)

จากเครื่องตรวจวัดกระแส (ACDP) ที่ 3 เครื่อง ที่ติดตั้งที่ระดับความลึกต่าง ๆ (40, 70 และ 150 เมตร) ทางด้านฝั่งตะวันตกของเกาะสมิลัน และเครื่องตัวตรวจวัดบันทึกค่าอุณหภูมิในแนวตั้งตามระดับความลึกต่าง ๆ (ทุกๆ 10 เมตร) พนມีการเคลื่อนตัวคลื่นใต้น้ำ (มวลน้ำขึ้นลงในแนวตั้ง) ในบริเวณนอกชายฝั่งที่ความลึก 150 เมตร แต่ที่ระดับความลึก 70 และ 40 เมตร ไม่พบลักษณะการเคลื่อนตัวของคลื่นใต้น้ำ เนื่องจากคลื่นใต้น้ำดังกล่าวเกิดการแตกตัวเมื่อกระทบไฟล์ทวีปที่ความลึกเปลี่ยนจาก 150 เมตร เป็น 90 เมตร จากข้อมูลที่ตรวจวัดได้จากเครื่องวัดกระแส (ACDP) และ เครื่องตรวจวัดอุณหภูมิ ตามแนวความลึกที่ระดับความลึก 150 เมตร แสดงให้เห็นว่าคลื่นใต้น้ำนี้มีลักษณะที่เด่นชัดในช่วงน้ำเป็นโดยจะมีชุดคลื่นที่มีขนาดที่ค่อนข้างใหญ่ปรากฏและเคลื่อนตัวเข้ามายังแนวหน้าทางสิมิลันวันละ 2 ครั้ง

และพบว่าที่ระดับความลึก 70 และ 40 เมตร ไม่พบปรากฏลักษณะของคลื่นใต้น้ำดังกล่าวเหมือนที่ระดับความลึก 150 เมตร (รูปที่ 3.3) ทั้งเนื่องจากเมื่อคลื่นใต้น้ำดังกล่าวเคลื่อนตัวจากที่ลึกเข้าสู่แนวชายฝั่งของเกาะผ่านแนวความลาดชันที่มีการเปลี่ยนแปลงอย่างฉับพลัน (จากระดับความลึก 130-150 เมตร เป็น 90 เมตร อย่างรวดเร็ว) แนวคลื่นจะหันแนวลาดทวีปดังกล่าวและแตกตัวเป็นก้อนมวลน้ำไหลทะลักเข้าสู่ชายฝั่งด้านตะวันตกของแนวเกาะสมิลัน ในช่วงที่มีการเคลื่อนตัวของชุดคลื่นใต้น้ำขนาดใหญ่ผ่านเข้ามาที่ความลึกของห้องทะเลประมาณ 150 เมตร ทำให้เกิดการฟุ้งกระจายของตะกอนดินที่พื้นห้องทะเล



รูปที่ 3.2 ภาพบนแสดงค่าปริมาณความหนาแน่นตะกอนแขวนลอยในชั้นน้ำที่ตรวจวัดได้ โดยพบว่าบริเวณที่มีการเคลื่อนตัวของชุดคลื่นใต้น้ำขนาดใหญ่ผ่านจะมีการฟุ้งกระจายของตะกอนจากพื้นห้องน้ำจำนวนมากขึ้นสูงมวลน้ำชั้นบน (ภาพล่างแสดงการเคลื่อนตัวของคลื่นใต้น้ำ)

ขึ้นสู่ชั้นมวลน้ำ (รูปที่ 3.2) ซึ่งเป็นสาเหตุหนึ่งที่ทำให้บ่ออยครั้งที่พับมวลน้ำเย็นออกชายฝั่งปรากฏพร้อมกับมีตะกอนแขวนลอยที่มีจำนวนมาก

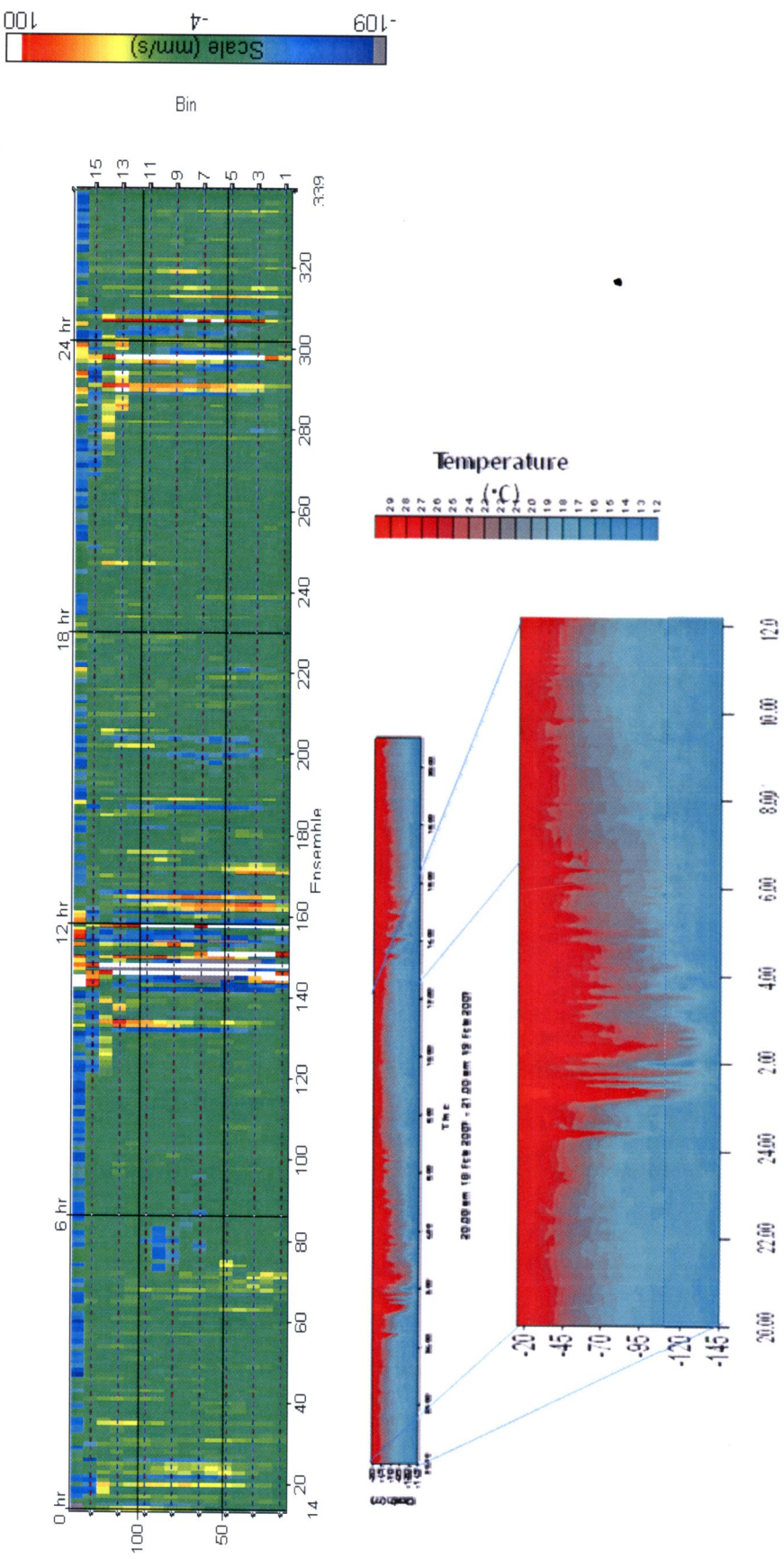
จากการศึกษาทางทฤษฎีของ Osborne and Burch (1980) พบว่าความเร็วของกระแสน้ำเนื่องจากคลื่นใต้น้ำแนวราบในทิศทางตะวันออก-ตะวันตกของน้ำชั้นบน

$$U_1 = \frac{c_0 \eta_0}{h_1} \sec h^2 \left[\frac{(x - ct)}{L} \right] \quad (1)$$

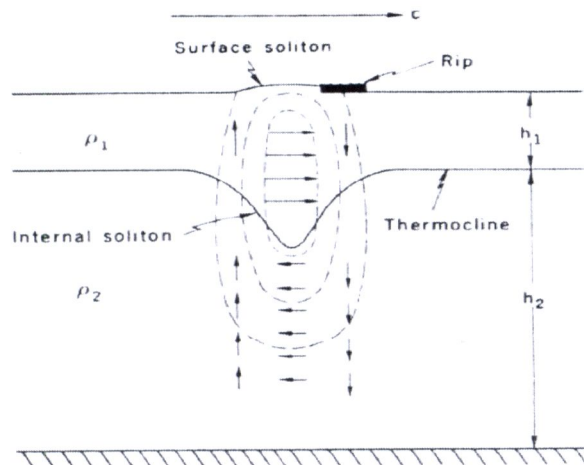
และชั้นล่าง

$$U_2 = -\frac{c_0 \eta_0}{h_2} \sec h^2 \left[\frac{(x - ct)}{L} \right] \quad (2)$$

จากสมการจะเห็นว่ากระแสน้ำเนื่องจากคลื่นได้น้ำของน้ำชั้นบนและล่างมีขนาดเท่ากัน แต่ทิศทางตรงกันข้าม โดยมีค่าคงที่ไม่ลดตอนตามความลึกแสดงดังรูปที่ 3.4



รูปที่ 3.3 ภาพบนแสดงการเคลื่อนตัวของมวลน้ำในแนวตั้งที่ได้จากเครื่องวัดกราฟและแทนในแบบ ACDP ที่ความถี่ $\frac{1}{2}$ เมตร ในรอบ 24 ชั่วโมง ของวันที่ 18-19 กุมภาพันธ์ 2550 โดยค่าที่เป็นลบแสดงการเคลื่อนที่ลงและค่าบวกแสดงการเคลื่อนที่ขึ้นของมวลน้ำ โดยใน 1 รอบของมวลน้ำในช่วงเวลาที่ 1 ให้มีชุดคลื่นใหม่ เดินทางมาในช่วงเวลาต่อๆ ไป ซึ่งแสดงถึงการเคลื่อนที่ของมวลน้ำที่จราจรส่วนที่วัดอยุณหภูมิ (ภาพล่าง)



รูปที่ 3.4 กระแสน้ำเนื่องจากคลื่นเดี่ยวใต้น้ำ (Osborne and Burch, 1980)

จากการวิเคราะห์ข้อมูลจากการสำรวจภาคสนาม พบร่องคลื่นใต้น้ำมีความ 5-15 นาที และเคลื่อนตัวเข้าสู่ชายฝั่งเป็นกลุ่ม และคาดว่ามาจากการแยล์แหล่งกำเนิดคลื่น แสดงดังตารางที่ 1 โดยความสูงของคลื่นใต้น้ำในวันที่ 19 และ 20 ก.พ. 2550 แสดงดังรูปที่ 3.5 (เส้น isotherm ที่ 24 องศาเซลเซียส)

จากการศึกษาความสัมพันธ์ระหว่างความสูงของคลื่นกับกระแสน้ำชั้นล่างได้ผลสอดคล้องกับทฤษฎี ในขณะที่ความสัมพันธ์ระหว่างความสูงของคลื่นกับกระแสน้ำชั้นบนไม่สอดคล้องกับทฤษฎีท่าทีควรเนื่องจาก น้ำชั้นบนได้รับอิทธิพลจากการไหลเวียนของมวลน้ำเนื่องจากลมค่อนข้างแรง จึงทำให้ค่าเบี่ยงเบนไป ผลการศึกษาแสดงดังรูปที่ 3.6 และ 3.7

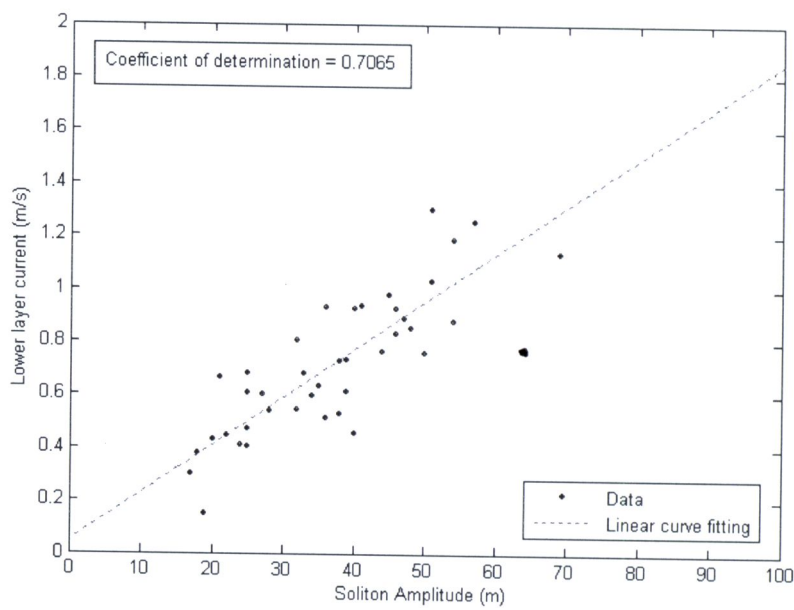
จากการวิเคราะห์การเกิดปรากฏการณ์ผุดเนื่องจากอันตราริยาระหว่างคลื่นใต้น้ำกับไอล์ฟวีป สันนิษฐานว่าเกิดจากการที่คลื่นใต้น้ำประทับกับไอล์ฟวีป ซึ่งผลการตรวจวัดก็พบว่าเกิดกระแสในแนวคิ่ง ซึ่งจากรูปที่ 3.8 จะเห็นว่าความน่าจะเป็นสูงมากที่จะเกิดปรากฏการณ์น้ำผุดเมื่อคลื่นใต้น้ำมีความสูง 30 เมตรขึ้นไป

ตารางที่ 3.1 การตรวจวัดการเกิดคลื่นใต้ดิน

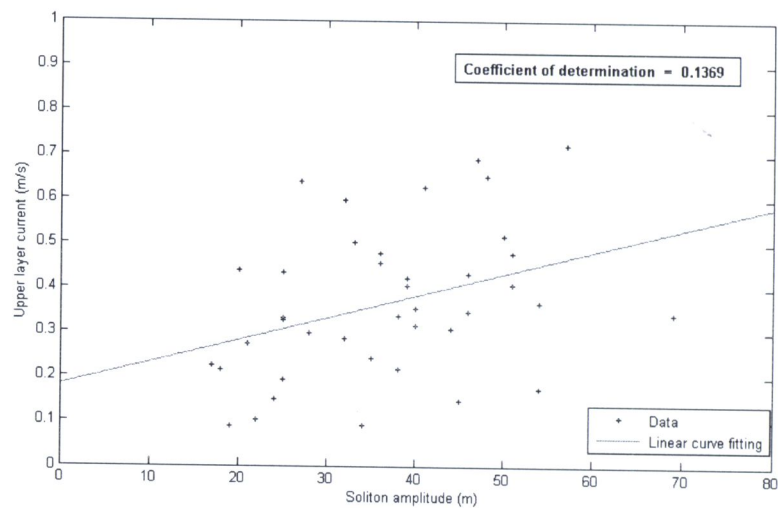
วัน-เดือน-ปี	เวลา	ค่า (นาที)	ความสูงของคลื่น (เมตร)
19-Feb-07	0:15-0:20	5	25
	1:05-1:20	15	51
	2:10-2:15	5	46
	13:20-13:25	5	22
	13:50-14:00	10	34
	14:40-14:50	10	24
20-Feb-07	01:45-01:50	10	45
	04:00-04:10	10	28
	14:05-14:10	10	38
	15:30-15:40	10	25
21-Feb-07	02:45-02:55	10	40
	03:30-03:45	15	46
	14:20-14:25	5	17
	14:40-14:50	10	18
	15:05-15:10	5	19
	15:40-15:50	10	35
	16:50-17:05	15	40
	17:30-17:40	10	39
22-Feb-07	18:10-18:15	5	20
	02:05-02:20	15	54
	03:30-03:40	10	69
	14:35-14:45	10	54
23-Feb-07	03:35-03:40	10	51
	05:00-05:05	5	44
	05:35-05:40	5	50
	06:10-06:20	10	25
	07:05-07:15	10	21
	16:55-17:10	15	57
	18:10-18:20	10	48
24-Feb-07	4:35-4:45	10	47
	5:45-5:55	10	36
	14:00-14:10	10	32
	15:05-15:15	10	25
	16:25-16:40	15	39
25-Feb-07	04:10-04:20	10	27
	05:05-05:15	10	41
	14:25-14:30	5	36
	16:05-16:15	10	32
	17:15-17:25	10	33
	18:30-18:40	10	38



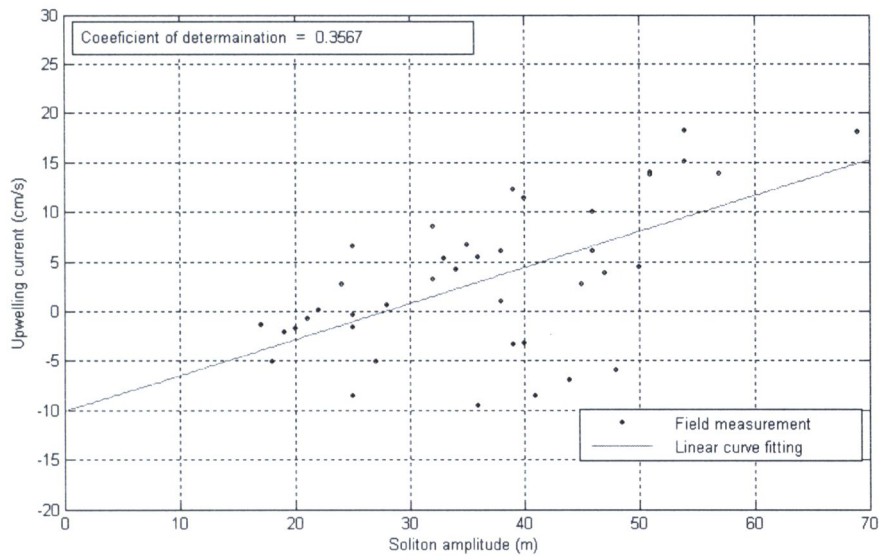
รูปที่ 3.5 ความสูงของคลื่นไฟฟ้า (สัญญาณ isotherm ที่ 24 องศาเซลเซียส) ในวันที่ 18 ก.พ. 2550 เวลา 20.00 น. ถึง 20 ก.พ. 2550 เวลา 22.00 น.



รูปที่ 3.6 ความสัมพันธ์ระหว่างความสูงของคลื่นกับกระแสน้ำชั้นล่าง



รูปที่ 3.7 ความสัมพันธ์ระหว่างความสูงของคลื่นกับกระแสน้ำชั้นบน



รูปที่ 3.8 ความสัมพันธ์ระหว่างความสูงของคลื่นกับกระแสนา้มในแนวคิ่งเนื่องจากการเกิดน้ำผุด

การคำนวณโอกาสการเกิดคลื่นใต้น้ำแสดงดังตารางที่ 3.2 แสดงให้เห็นถึงโอกาสการเกิดคลื่นใต้น้ำแพร่ผันตามเรجنั่นน้ำ ซึ่งเรjnั่นน้ำที่นำมาวิเคราะห์นำมายจากข้อมูลระดับน้ำทำนายของสถานีอ่าวทับสะมุ จังหวัดพังงา จากกรมอุทกศาสตร์ที่พิกัด ละติจูด 8 องศา 34 ลิปดา 26 พิลิตาหนึ่อ ลองจิจูด 98 องศา 13 ลิปดา 29 พิลิตาตะวันออก ซึ่งเป็นจุดที่อยู่ใกล้จุดที่ติดตั้งเครื่องมือมากที่สุด

ตารางที่ 3.2 โอกาสการเกิดคลื่นใต้น้ำที่ได้จากการศึกษา

เรjnั่นน้ำ (เมตร)	จำนวนวัฏจักรน้ำขึ้นน้ำลงที่ปรากฏ (ครั้ง)	จำนวนคลื่นใต้น้ำที่ปรากฏ (ครั้ง)	โอกาสที่จะปรากฏคลื่นใต้น้ำ (%)
< 0.8	3	0	0.00
0.8-1.2	4	2	50.00
1.2-1.6	3	2	66.67
1.6-2.0	2	2	100.00
2.0-2.4	3	3	100.00
2.4-2.8	5	5	100.00
>2.8	21	14	66.67

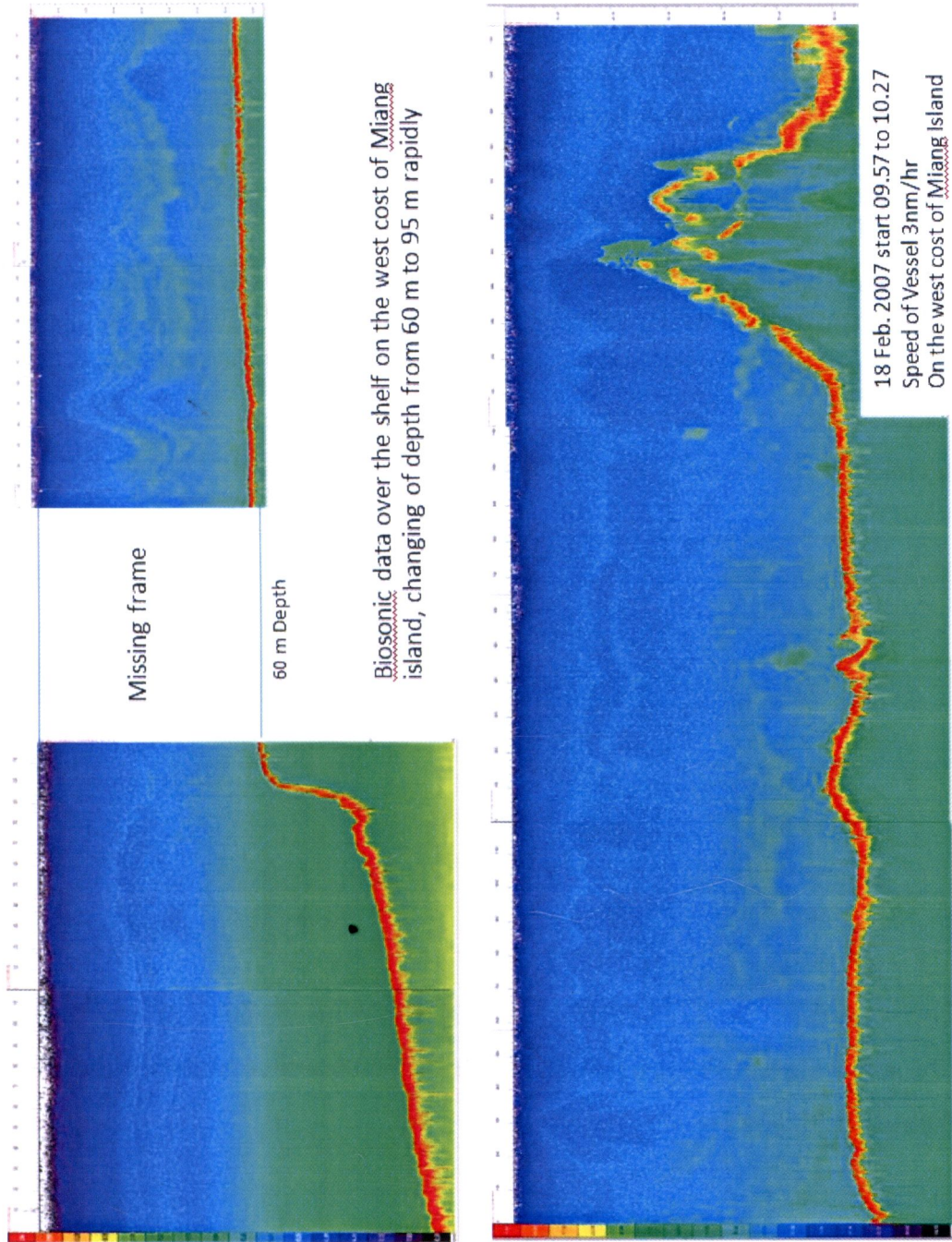
โดยข้อมูลที่ได้จากการวิเคราะห์ดังกล่าวมาแล้วในข้างต้นนั้น เป็นข้อมูลที่ได้จากการสำรวจครั้งที่ 1 ในช่วงเดือนกุมภาพันธ์ – มีนาคม 2550 ซึ่งเป็นข้อมูลในช่วงฤดูแล้ง (ลมมรสุมตะวันออกเฉียงเหนือ) สำหรับข้อมูลที่ออกสำรวจในช่วงเดือนตุลาคม 2550 นั้น ข้อมูลจากเครื่องวัดกระแสน้ำ (ACDP) และเครื่องบันทึกข้อมูลอุณหภูมน้ำแบบอัตโนมัติที่ติดตั้งไว้บนอุโมงค์ด้านตะวันตกของหมู่เกาะสินิลันนั้นยังไม่ได้ทำการถูกซึ่งคาดว่าจะทำการถูกทุนดังกล่าวได้ในประมาณกลางเดือนมีนาคม 2551

การสำรวจชั้นน้ำด้วยเครื่อง Biosonic

จากการสำรวจชั้นน้ำด้วยเครื่อง Biosonic ในบริเวณแนวชายฝั่งด้านตะวันตกของเกาะเมียงผ่านแนวลาดทวีปโกลล์แนวเกาะสินิลันที่มีการเปลี่ยนแปลงของความลึกจาก 60-70 เมตร เป็น 90-100 เมตร ในช่วงน้ำเป็น ซึ่งเป็นช่วงที่มีรายงานการพนการเคลื่อนตัวของมวลน้ำชั้นล่างเข้าชายฝั่งที่มาก เมื่อเปรียบเทียบกับช่วงน้ำตาย

จากข้อมูลที่ได้จากการสำรวจ Biosonic แสดงให้เห็นชั้นน้ำที่มีลักษณะการเคลื่อนตัวคล้ายคลื่นที่ระดับความลึกประมาณ 30-40 เมตร (ความสูงของคลื่นค่อนข้างน้อย ซึ่งอาจไปช่วงที่คลื่นได้น้ำได้ผ่านพื้นไปแล้ว และอยู่ในช่วงที่คลื่นลูกใหม่ที่จะเข้ามา) และเมื่อผ่านไหหลวงทวีปพบว่ามีการแตกตัวของชั้นน้ำ (รูปที่ 3.9: ภาพบน) เป็นก้อนมวลน้ำที่มีขนาดเล็กลง และเมื่อมวลน้ำคลื่นตัวไหหลวงแนวเกาะที่ความลึกประมาณ 40 เมตรพบมีการแตกตัวของมวลน้ำเป็นก้อนมวลน้ำจำนวนมาก (รูปที่ 3.9: ภาพล่าง) จากข้อมูลดังกล่าวแสดงให้เห็นว่าการเคลื่อนตัวของชั้นมวลน้ำที่ชั้นน้ำ pycnocline ที่ระดับความลึกของชั้นน้ำที่อยู่ใกล้พิวน้ำ (ความลึก 30-40 เมตร) สามารถทำให้การเคลื่อนตัวของมวลน้ำ หรือคลื่นได้น้ำจากนอกชายฝั่งนั้นสามารถคลื่นตัวเข้าไหหลาชัยฝั่งได้มากและเมื่อเกิดการแตกตัวจะทำให้เกิดการแพร่กระจายของก้อนมวลน้ำทะลักขึ้นสู่พิวน้ำ และแนวชายฝั่งได้มาก

ซึ่งจากการวิเคราะห์ข้อมูล ACDP พบว่าหากมีชุดคลื่นใต้น้ำเคลื่อนตัวเข้ามานั้นจะก่อตัวเป็นคลื่นขนาดใหญ่ขนาดใหญ่ โดยขนาดของคลื่นจะมีความสูงมากกว่า 60 เมตร ซึ่งหากคลื่นที่มีขนาดใหญ่นี้เคลื่อนที่เข้าชายฝั่งน้ำดีนของแนวเกาะจะสามารถทำให้เกิดการแพร่กระจายของมวลน้ำลึกเข้าสู่ชายฝั่งได้จำนวนมหาศาล โดยเฉพาะความแรงของกระแสน้ำที่จะมีมากด้วยเช่นกัน ซึ่งสามารถสังเกตุได้ในขณะดำเนินการติดตั้งอุปกรณ์ โดยจะสังเกตุเห็นก้อนมวลน้ำที่มีความเข้มข้นของความหนาแน่นของมวลน้ำมากกว่าบริเวณรอบๆ และมีอุณหภูมน้ำที่ต่ำกว่าคลื่นตัวเข้าสู่ชายฝั่ง โดยมีความแรงของการเคลื่อนตัวของก้อนมวลน้ำที่เร็วมาก

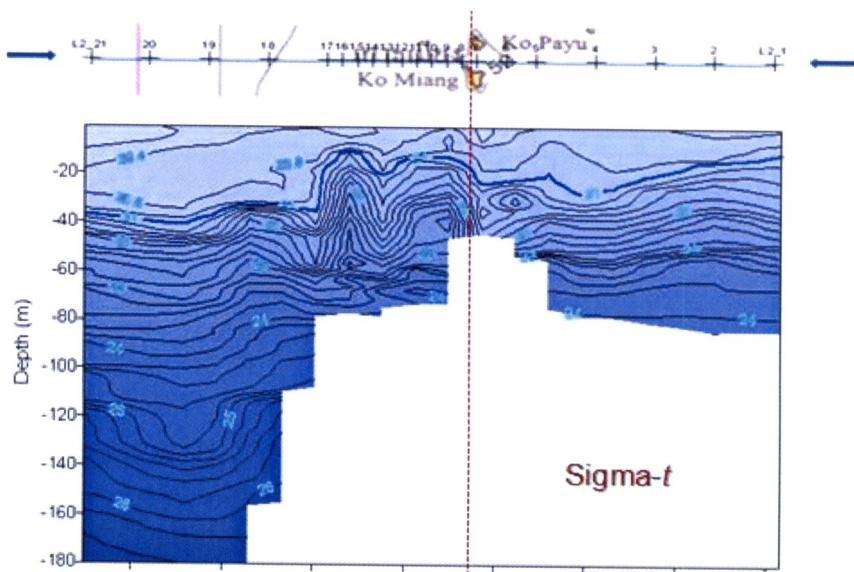


รูปที่ 3.9 กopathี่ได้จากการสแกนชั้นมหาดนา
โดยใช้เครื่อง Bioscan เพื่อดูลักษณะของมหาดนาที่
เกิดขึ้นในชั้นน้ำความลึกต่างๆ (ลักษณะสีที่
เป็นที่แตกต่างกันแสดงให้เห็นถึงความแตกต่าง
ของความหนาแน่นของมหาดนาต่างกัน)
ในช่วงน้ำขึ้น (spring tide) ทางด้านซ้าย
ตะวันตกของมหาดนา (หน้ากากะสะมิลัน) กារ
บัน: เป็นบริเวณอุกกาษแห่งน้ำริเวอร์แม่น้ำต
หัวผู้คนในใกล้สีจะตะวันตกของมหาดนาเมือง
ภูว่า: บริเวณที่ตั้งตะวันตกของมหาดนาเมือง พูน
มีความลึกประมาณ 60 มตร

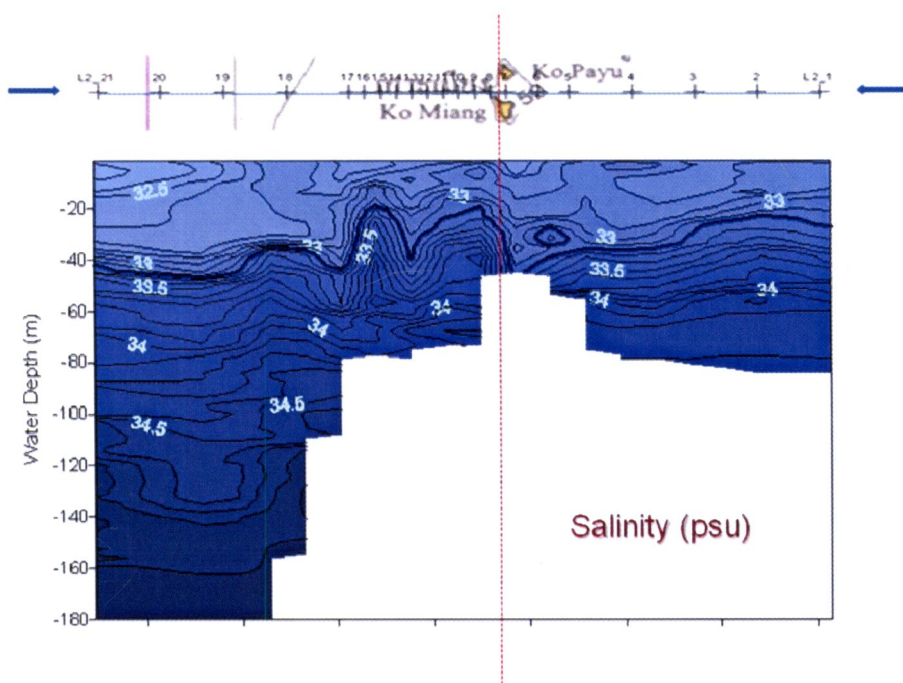
3.1.2 การเคลื่อนตัวของมวลน้ำ

ช่วงลมมรสุมตะวันออกเฉียงเหนือ

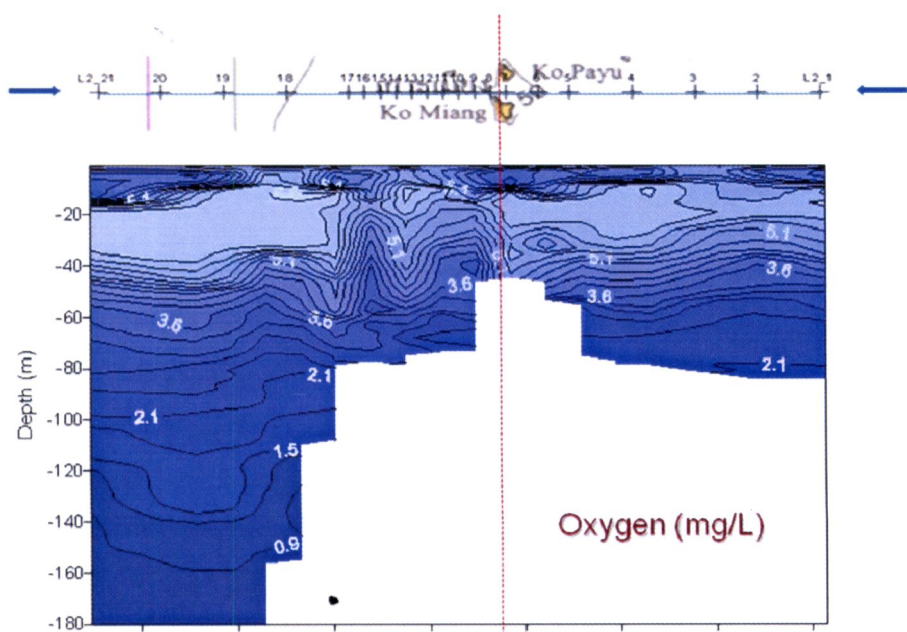
จากข้อมูลที่ได้จากการตรวจวัดคุณสมบัติบางประการของน้ำทะเลที่ระดับความลึกต่างๆ โดยเครื่องตรวจวัด CTD (Conductivity, Temperature, and Depth) และระดับปริมาณสารอาหารพบว่าในช่วงลมมรสุมตะวันออกเฉียงเหนือ (สำรวจนี้เดือนกุมภาพันธ์ – มีนาคม 2550) จากค่าความหนาแน่นของชั้นมวลน้ำจะพบว่า มีการกระจายตัวของมวลน้ำชั้นล่างมีความหนาแน่นมากและน้อยลงในชั้นน้ำชั้นบน เช่นเดียวกันที่พบที่ผ่านมา ชั้นบนบริเวณที่ใกล้แนวเกาะที่ความลึกของน้ำน้อยกว่า 80 เมตร (รูปที่ 3.10 – 3.11) โดยจะพบชั้น Thermocline ที่ระดับความลึกประมาณ 40 เมตร ที่บริเวณนอกชายฝั่งน้ำลึก ก่อนที่จะพบการกระจายของชั้นน้ำเมื่อเข้าใกล้แนวเกาะที่มีความลึกน้อยกว่า 80-90 เมตร และพบว่าปริมาณคลอรอฟิลล์ (จากค่าการตรวจวัดระดับค่า Fluorescence) ที่พบมีปริมาณมากที่ระดับความลึก 40-55 เมตรนอกชายฝั่ง และพบว่าความหนาของชั้นน้ำที่มีระดับคลอรอฟิลล์สูงมากนั้นเพิ่มมากขึ้นเมื่อเข้าใกล้แนวเกาะ โดยพบตั้งแต่ที่บริเวณใกล้ผิวน้ำลงไปตลอดความลึกถึงพื้นท้องน้ำ (รูปที่ 3.13) และจากค่าการแพร่กระจายของสารอาหาร (รูปที่ 3.14 และ 3.15) แสดงให้เห็นมีการแพร่กระจายของสารอาหารจากชั้นน้ำที่อยู่ลึกลงไปขึ้นมาสู่ชั้นใกล้ผิวน้ำที่บริเวณใกล้แนวเกาะ จากลักษณะข้อมูลที่พบดังกล่าวแสดงให้เห็นว่ามีปรากฏการณ์น้ำผุดเกิดขึ้นที่บริเวณใกล้แนวเกาะ ซึ่งเป็นการนำสารอาหารที่มีปริมาณมากในน้ำชั้นล่างขึ้นสู่ผิวน้ำทำให้เกิดการเจริญเติบโตอย่างรวดเร็วของแพลงก์ตอนพืช ซึ่งเป็นการเพิ่มความอุดมสมบูรณ์ขึ้นที่บริเวณแนวชายฝั่งของเกาะ



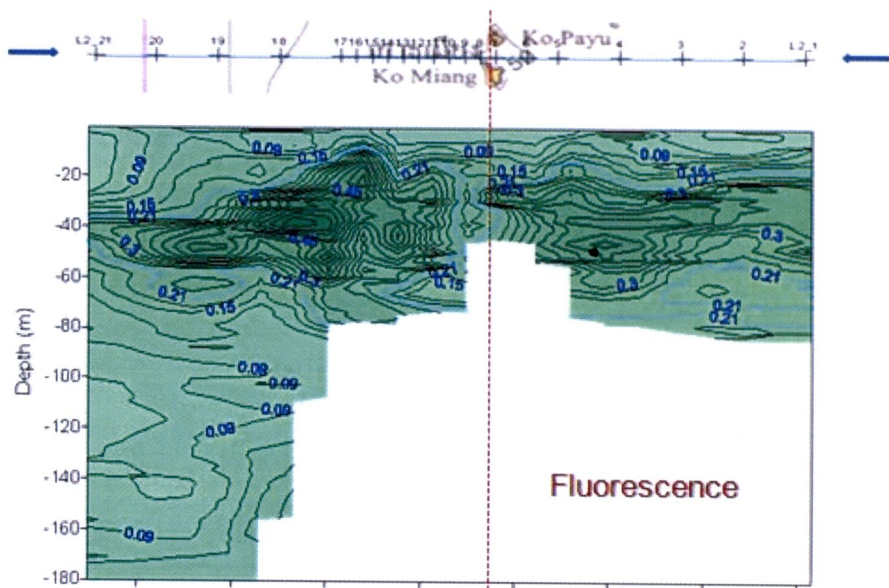
รูปที่ 3.10 แสดงค่า sigma-t ในแนวเส้นทางสำรวจจากฝั่งตะวันออกของเกาะเหมียงผ่านแนวเกาะไปยังฝั่งตะวันตกที่ความลึกประมาณ 200 เมตร



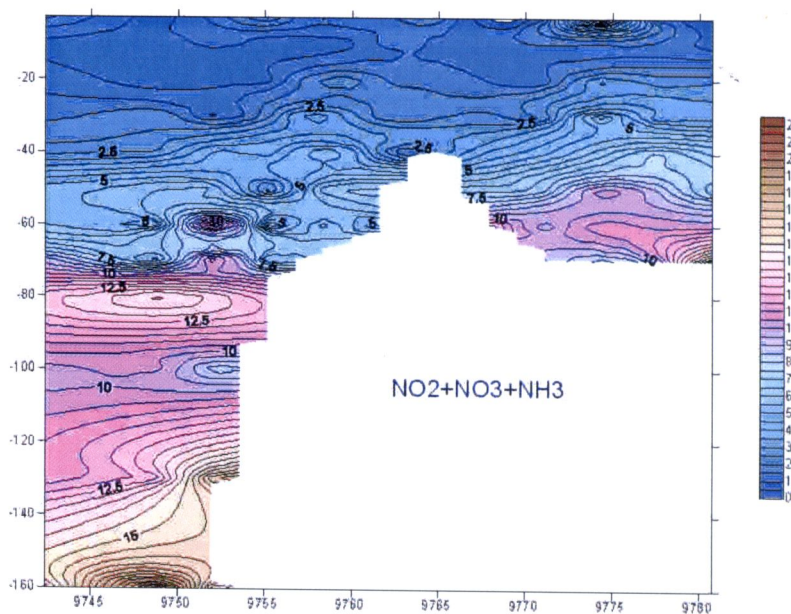
รูปที่ 3.11 แสดงค่าการกระจายค่าความเค็มในแนวเส้นทางสำรวจจากฝั่งตะวันออกของเกาะเหมียงผ่านแนวเกาะไปยังฝั่งตะวันตกที่ความลึกประมาณ 200 เมตร



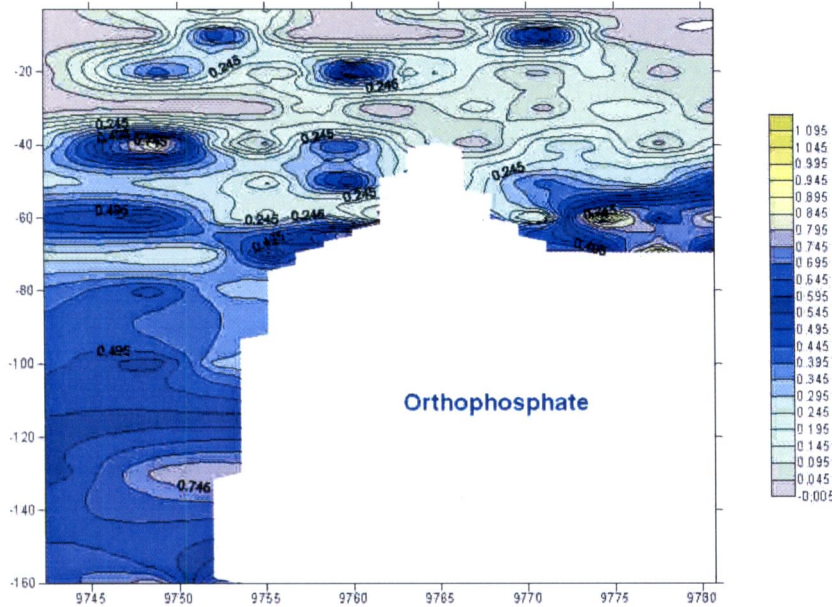
รูปที่ 3.12 แสดงค่าการกระจายออกซิเจนในชั้นน้ำตามแนวเส้นทางสำรวจจากฝั่งตะวันออกของเกาะเหมียงผ่านแนวเกาะไปยังฝั่งตะวันตกที่ความลึกประมาณ 200 เมตร



รูปที่ 3.13 แสดงค่าระดับการตรวจวัด Fluorescence ที่ระดับความลึกต่างๆ ซึ่งเป็นการสะท้อนให้เห็นระดับความหนาแน่นของแพลงก์ตอนพืชที่มีสารคลอโรฟิลล์ที่ใช้ในการสังเคราะห์แสงเป็นองค์ประกอบ



รูปที่ 3.14 การแพร่กระจายของสารอาหารประเภทไนโตรเจน (ไนโตรที, ไนเตรท, และแอมโมเนียม) โดยมีหน่วยการวัดเป็น μM ที่ระดับความลึกต่างๆ ในแนวการสำรวจจากฝั่งตะวันออกของเกาะเมียงໄปยังฝั่งตะวันตก



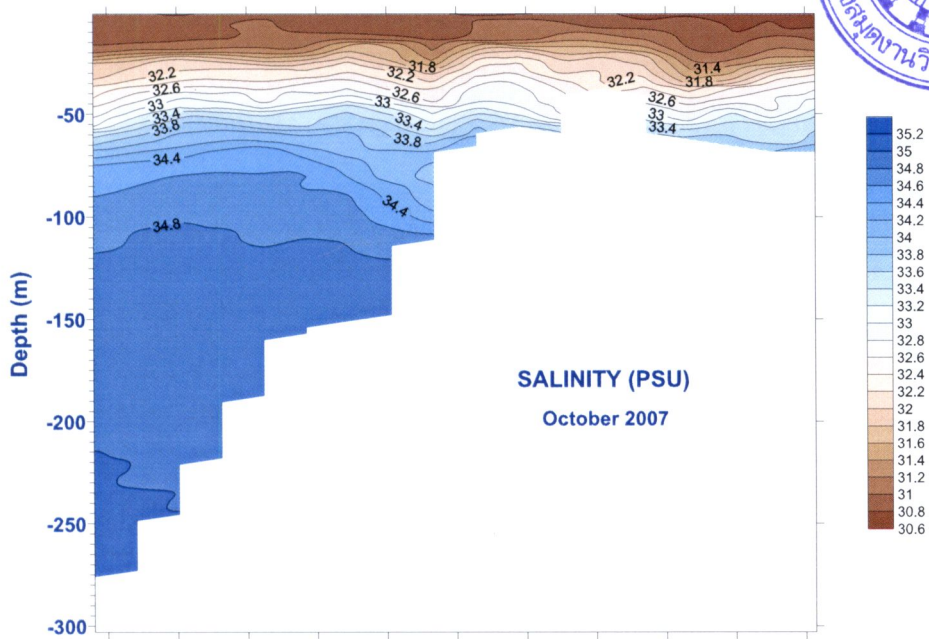
รูปที่ 3.15 การแพร่กระจายของสารอาหารประภากอร์โธฟอสเฟต (μM) ที่ระดับความลึกต่างๆ ในแนวการสำรวจจากผิวดินออกของ gelemeing ไปยังผิวดินตก

ช่วงลดลงระดับวันตกเฉียบ戾

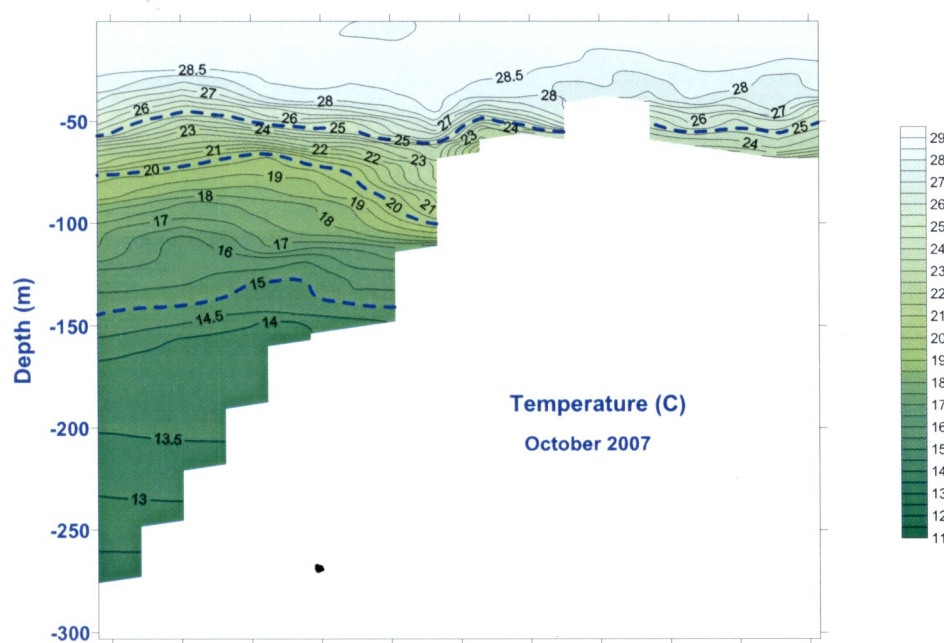
จากการสำรวจในช่วงปลายฤดูฝน (มรสุมตะวันตกเฉียบ戾) โดยใช้เครื่องตรวจวัด CTD ตลอดแนวสถานีสำรวจ ในฤดูฝนนี้ได้ทำการสำรวจออกไปถึงแนวความลึกของน้ำทะเลประมาณ 300 เมตร พบร่องรอยแบบชั้นน้ำเป็นลักษณะ 2 ชั้น คือชั้นบนที่มีความเค็มประมาณ 30 - 31 PSU และอุณหภูมิอยู่ในช่วง 28-29 องศาเซลเซียส โดยระดับความลึกที่มีการแบ่งชั้นน้ำอยู่ที่ประมาณ 50 เมตร และช่วงชั้นน้ำที่มีการเปลี่ยนแปลงค่าอุณหภูมิที่รวดเร็วอยู่ที่ประมาณ 40-60 เมตร (รูปที่ 3.16 – 3.17) และพบว่าระดับค่าออกซิเจนละลายน้ำที่ระดับความลึก 70 เมตรและ 120 เมตรลงไปมีการลดลงอย่างรวดเร็วถึงระดับน้อยกว่า 2 และ 1 มิลลิกรัมต่อลิตรตามลำดับ โดยพบว่าระดับปริมาณคลอโรฟิลล์นั้นมีค่าสูงสุดอยู่ที่ระดับความลึกไม่เกิน 50 เมตร และพบค่าระดับคลอโรฟิลล์นี้ค่าที่สูงขึ้นถึงระดับผิวน้ำหรือใกล้ผิวน้ำที่บริเวณโกลด์ๆ แนวเกาะ จำกลักษณะดังกล่าวแสดงให้เห็นว่าบริเวณผิวน้ำนั้นได้รับอิทธิพลจากน้ำจืดในช่วงฤดูฝนทำให้มีระดับความเค็มน้ำที่ค่อนข้างต่ำ ซึ่งมีความหนาแน่นน้ำน้อยกว่าจึงลอยตัวอยู่ที่ผิว ในขณะเดียวกันอิทธิพลจากน้ำจืดที่ไหลมาจากแม่น้ำได้น้ำสารอาหารลงสู่ทะเล ซึ่งไปช่วยสนับสนุนการเจริญเติบโตของแพลงก์ตอนพืช ทำให้น้ำที่อยู่เหนือระดับ 50 เมตร เป็นบริเวณที่มีการสะสมของสารอาหารมาก (เหนือระดับชั้นน้ำ Thermocline) และมักพบปริมาณคลอโรฟิลล์สูงสุด (รูปที่ 3.18)

อิทธิพลของน้ำจืดน้ำจะมีอิทธิพลบริเวณพื้นที่ชายฝั่งซึ่งมีแม่น้ำไหลลงสู่ชายฝั่งจำนวนมาก ชั้นน้ำความเค็มต่ำที่ผิวน้ำอาจจะมีอิทธิพลไม่ถึงน้ำชั้นผิวนอกชายฝั่ง ดังนั้นชั้นน้ำ Thermocline นอกชายฝั่งในทะเลลึกซึ่งเป็นแหล่งก่อตัวของคลื่นใต้น้ำ (บริเวณด้านตะวันออก และซ่องระหว่างแนวหน้าภูเขาโนโภบาร์ และอันดามัน) ซึ่งอาจจะอยู่ในระดับที่ลึกกว่าที่พบการแบ่งชั้นน้ำในชายฝั่งทะเลอันดามันของประเทศไทยที่ได้รับอิทธิพลจากน้ำจืด ดังนั้นคลื่นใต้น้ำที่เกิดในชั้นน้ำที่ลึกจะมีการแตกตัวที่แนวลาดทวีปนอกชายฝั่งทะเลลึก ทำให้อิทธิพลของมวลน้ำที่เกิดการแตกตัวมีการฟุ้งกระจายมาไม่ถึงบริเวณชายฝั่งน้ำดื่มน้ำ

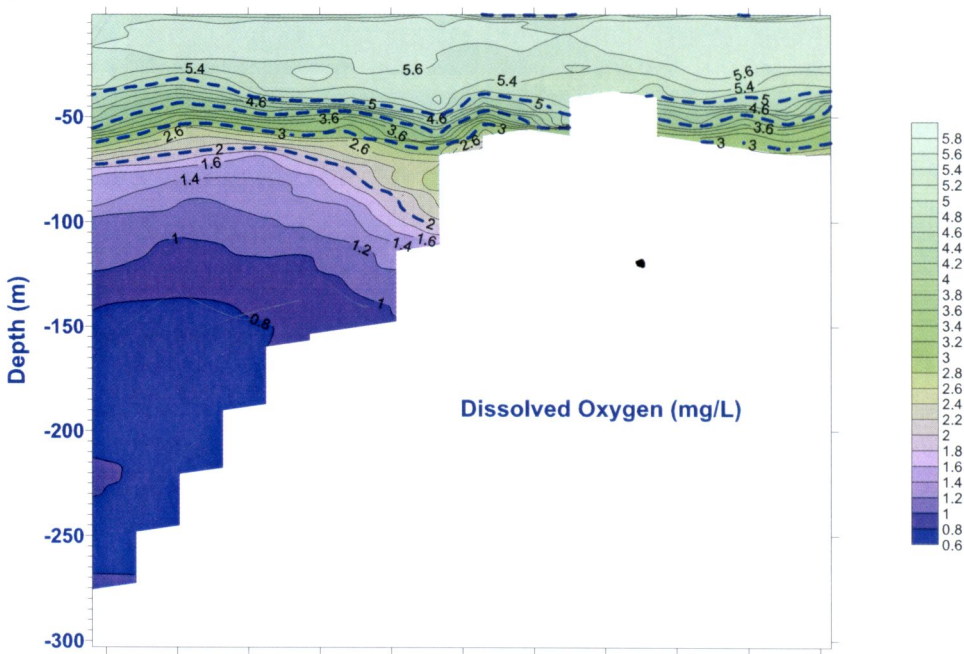
ข้อมูลออกซิเจนละลายน้ำในทฤษฎีพนนี้พบว่าชั้นน้ำที่มีการลดลงของออกซิเจนละลายน้ำต่ำกว่า 2 มิลลิกรัมต่อลิตรนั้นพบว่าอยู่ใกล้ผิวน้ำ คือ ที่ระดับความลึกประมาณ 70 เมตร ซึ่งต่างจากในทฤษฎีเดิมที่ค่าออกซิเจนละลายน้ำที่ต่ำกว่า 2 มิลลิกรัมต่อลิตร ที่ระดับความลึกของน้ำมากกว่า 100 เมตร พบริชัยฝั่งมีค่าออกซิเจนละลายน้ำต่ำกว่า 2 มิลลิกรัมต่อลิตรนั้นเกิดจากอิทธิพลจากการแตกตัวของคลื่นใต้น้ำและเกิดการฟุ้งกระจายของน้ำจากการระดับความลึกมากกว่า 100 เมตร ขึ้นสู่ผิวน้ำและเคลื่อนตัวเข้าสู่ชายฝั่งด้านตะวันตกของเกาะเมียง ซึ่งนับว่าน่าสนใจที่ชั้นน้ำที่มีออกซิเจนต่ำมากเคลื่อนตัวอยู่ที่ระดับความลึกประมาณ 70 เมตรนอกชายฝั่งในทฤษฎี ความเป็นไปได้อาจเกิดจากการแตกตัวของคลื่นใต้น้ำในช่วงทฤษฎีนี้เกิดขึ้นที่ชั้นน้ำระดับที่ลึกของลาดทวีปนอกชายฝั่งทะเลลึกดังที่กล่าวมานแล้ว การแตกตัวนั้นอาจทำให้ชั้นน้ำที่มีระดับออกซิเจนละลายน้ำต่ำมากๆ ฟุ้งกระจายขึ้นสู่ชั้นน้ำด้านบนและเคลื่อนตัวเข้าสู่ชายฝั่ง ด้วยพลังการแตกตัวนอกชายฝั่งทะเลลึกอาจมีพลังไม่นักพอที่จะเคลื่อนขึ้นสู่ผิวน้ำ จึงทำให้เกิดการพบรชั้นน้ำออกซิเจนระดับต่ำที่ระดับความลึกดังกล่าว มากแล้ว



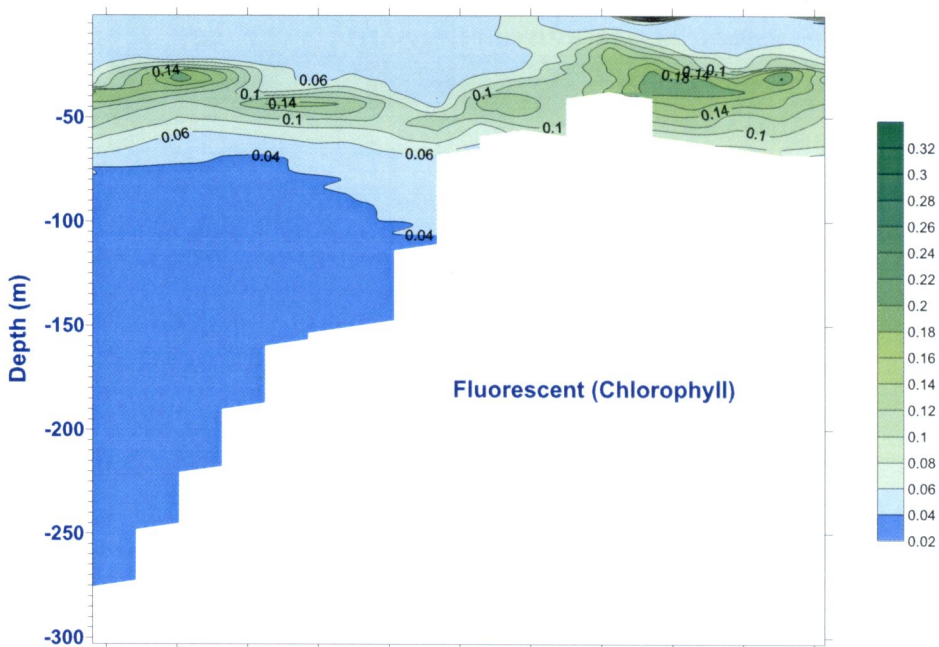
รูปที่ 3.16 การกระจายของค่าความเค็มตลอดแนวสำรวจจากฝั่งตะวันตกของเกาะ โดยการสำรวจในช่วงฤดูฝน (มรสุมตะวันตกเฉียงใต้)



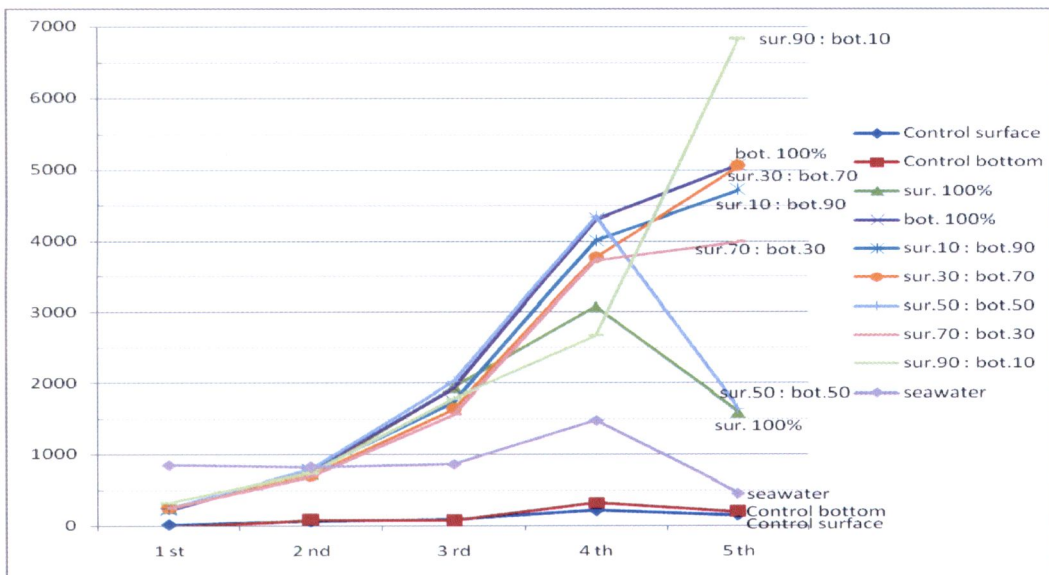
รูปที่ 3.17 การกระจายของค่าอุณหภูมิตตลอดแนวสำรวจจากฝั่งตะวันตกของเกาะ โดยการสำรวจในช่วงฤดูฝน (มรสุมตะวันตกเฉียงใต้)



รูปที่ 3.18 การกระจายของค่าออกซิเจนและลายน้ำตลอดแนวสำรวจจากฝั่งตะวันออกของเกาะเมืองไปยังฝั่งตะวันตกของเกาะ โดยการสำรวจในช่วงฤดูฝน (มรสุมตะวันตกเฉียงใต้)



รูปที่ 3.19 การกระจายของค่าฟลูออเรสเซน (คลอร์ฟิลล์) ตลอดแนวสำรวจจากฝั่งตะวันตกของเกาะเมืองไปยังฝั่งตะวันตกของเกาะ โดยการสำรวจในช่วงฤดูฝน (มรสุมตะวันตกเฉียงใต้)



รูปที่ 3.20 ผลการทดลองเบื้องต้นเพื่อศึกษาอิทธิพลของมวลน้ำชั้นลึกต่อการเพิ่มผลผลิตของแพลงก์ตอนพืช โดยการนำน้ำทะเลจากที่ความลึกมาผสมกับน้ำที่ระดับผิวน้ำในอัตราส่วนระหว่างน้ำที่ผิวน้ำ (sur) และที่ระดับความลึก 250 เมตร(bot) ที่ 100:0, 90:10, 73:30, 30:70, 10:90, และ 0:100 ทำการใส่ตัวอย่างแพลงก์ตอนพืชลงไปตัวอย่างละ 1 มิลลิลิตร และมีตัวอย่างน้ำจากการดับผิวน้ำที่ชายฝั่งทะเล (seawater) ทดลองเปรียบเทียบโดยมีตัวอย่างที่เป็น Control สำหรับตัวอย่างน้ำที่ผิว (control surface) และที่ระดับลึก 250 เมตร (control bottom) (ไม่มีการเติมแพลงก์ตอนพืชลงไป)

3.1.3 การศึกษาอิทธิพลของมวลน้ำทะเลลึกต่อแพลงก์ตอนพืช

ผลจากการทดลองเบื้องต้นในห้องปฏิบัติการ โดยการนำตัวอย่างน้ำจากทะเลที่ลึก 250 เมตร ทำการผสมผสานกับมวลน้ำที่ผิวในสัดส่วนต่างๆ (ผิวน้ำ:น้ำลึก = 100:0, 90:10, 70:30, 50:50, 30:70, 10:90, และ 0:100) และใส่ตัวอย่างแพลงก์ตอนพืชลงไปในปริมาณเท่าๆ กัน (นอกจากนี้ได้นำน้ำที่ผิวน้ำที่ชายฝั่งมาทำการทดลองเปรียบเทียบด้วย) แล้วนำตัวอย่างดังกล่าวไปเลี้ยงเพื่อสังเกตุการณ์การการเพิ่มขึ้นของปริมาณแพลงก์ตอนพืชโดยการตรวจด้วยเครื่อง Spectrofluorometer ทุกวันต่อเนื่องเป็นเวลา 5 วัน พบว่าในตัวอย่างน้ำจากที่ผิวน้ำและที่ความลึก 250 เมตร (control ที่ผิวน้ำ และของมวลน้ำลึก) นั้นหลังการเลี้ยงตลอด 5 วัน มีปริมาณการเพิ่มเล็กน้อยในวันที่ 4 แล้วลดลงในวันที่ 5 และในตัวอย่างน้ำทะเลที่เก็บจากบริเวณผิวน้ำชายฝั่งก็พบลักษณะเดียวกัน แต่มีการเพิ่มของปริมาณแพลงก์ตอนที่มากกว่าตัวอย่างน้ำจากชายฝั่ง (รูปที่ 3.20) ทั้งนี้อาจเกี่ยวกับคุณสมบัติของน้ำทะเลทั้งสองแหล่งอาจแตกต่างกัน

ส่วนในตัวอย่างที่มีการทดสอบน้ำจากที่ผิวน้ำและที่ความลึก 250 เมตร ในสัดส่วนต่างๆ กันนั้น มีการเพิ่มขึ้นของแพลงค์ตอนพืชอย่างรวดเร็วในวันที่ 2 ถึงวันที่ 4 ของการทดลอง โดยในตัวอย่างที่มีการทดสอบของน้ำทะเลลึกมากจะมีอัตราการเพิ่มของแพลงค์ตอนพืชมากกว่า และในวันที่ 5 ซึ่งเป็นวันสุดท้ายของการทดลองพบว่าอัตราการเพิ่มขึ้นของแพลงค์ตอนพืชจะน้อยลง และในตัวอย่างที่มีส่วนผสมของน้ำที่ผิวดอน้ำที่ระดับลึกในสัดส่วน 50:50 และ 100:0 นั้นพบว่ามีระดับการเพิ่มของแพลงค์ตอนพืชในวันที่ 5 มีค่าเป็นลบ คือมีปริมาณแพลงค์ตอนพืชลดลงมาก ซึ่งอาจเกิดจากการลดลงของสารอาหารที่มีอยู่ในตัวอย่างนั้น มีอยู่กว่าตัวอย่างอื่นๆ จึงถูกใช้ไปและลดลงในวันที่ 5 ยกเว้นในตัวอย่างที่มีอัตราการทดสอบของน้ำทะเลที่ผิวดอน้ำที่ระดับลึก 90 ต่อ 10 ซึ่งคาดว่าจะมีค่าเป็นลบมากที่สุดเมื่อเปรียบเทียบกับการทดสอบที่อัตราส่วนอื่นๆ แต่กลับพบว่ามีค่าที่พนในวันที่ 5 กระโดดสูงขึ้นผิดปกติ ทั้งนี้น่าจะเกิดจากความผิดพลาดในการเตรียมตัวอย่างในการวัด

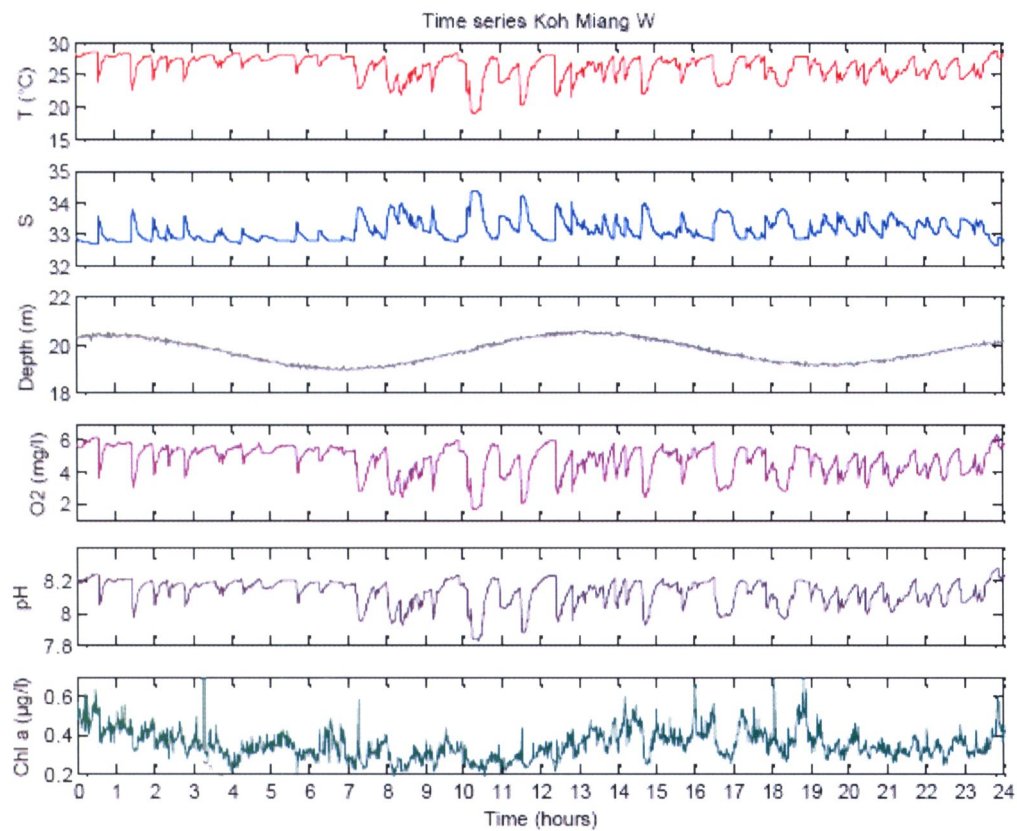
จากการทดลองดังกล่าวแสดงให้เห็นว่าปริมาณสารอาหารที่มีอยู่ในน้ำทะเลที่อยู่ในระดับลึกนั้น หากถูกนำขึ้นสู่ผิวน้ำโดยกระบวนการแตกตัวของคลื่นได้น้ำที่บริเวณลาดทวีป (Continental Shelf) ใกล้ชายฝั่งทะเลสามารถเพิ่มปริมาณผลผลิตในพื้นที่บริเวณใกล้ผิวน้ำ และชายฝั่งทะเลที่ได้รับอิทธิพลดังกล่าวได้มาก

3.1.4 การเปลี่ยนแปลงของชั้นมวลน้ำใกล้แนวเกาะเมือง (หมู่เกาะสิมิลัน)

จากการติดตามตรวจคุณสมบัติของชั้นมวลน้ำทางด้านฝั่งตะวันตกของเกาะเมืองต่อเนื่องพบว่ามีมวลน้ำจากระดับลึกลงไปมากกว่า 45 เมตร มีการเคลื่อนตัวขึ้นมาสู่ใกล้ผิวน้ำ (ที่ระดับความลึก 15 เมตร) เป็นช่วงๆ ซึ่งน่าจะเกี่ยวกับการที่น้ำจากทะเลข้างนอกดันน้ำทะเลลึกขึ้นมาจากการวนการแตกตัวของคลื่นใต้น้ำที่ประเทศไทยตอนล่างทวีป โดยน้ำดังกล่าวทำให้น้ำที่บริเวณชั้นใกล้ผิวน้ำมีความเค็มสูงขึ้น อุณหภูมน้ำทะเลลดลง รวมถึงออกซิเจนลดลงด้วย (รูปที่ 3.27) และจากข้อมูลที่ทำการตรวจวัดข้อมูลบนแนวปะการังพนการเปลี่ยนแปลงของปะการังต่างๆ ในรอบวัน เช่นกัน โดยการเปลี่ยนแปลงดังกล่าวแสดงให้เห็นว่าเกิดจากการที่มีมวลน้ำเย็นจากมวลน้ำทะเลลึกไหลทะลักเข้าหนีอ่อนไหวประการังเป็นช่วงๆ ดังปรากฏในรูปที่ 3.21 โดยพบว่ามีหลายครั้งจะมีมวลน้ำที่มีอุณหภูมิต่ำ (25 ถึง ต่ำกว่า 20 องศาเซลเซียส) ความเค็มสูง ออกซิเจนและ ความเป็นกรดค่าต่ำ ให้เข้าสู่เหนือแนวปะการัง ซึ่งคุณสมบัติของน้ำดังกล่าวสามารถก่อผลกระทบต่อแนวปะการังและระบบนิเวศแนวปะการังได้

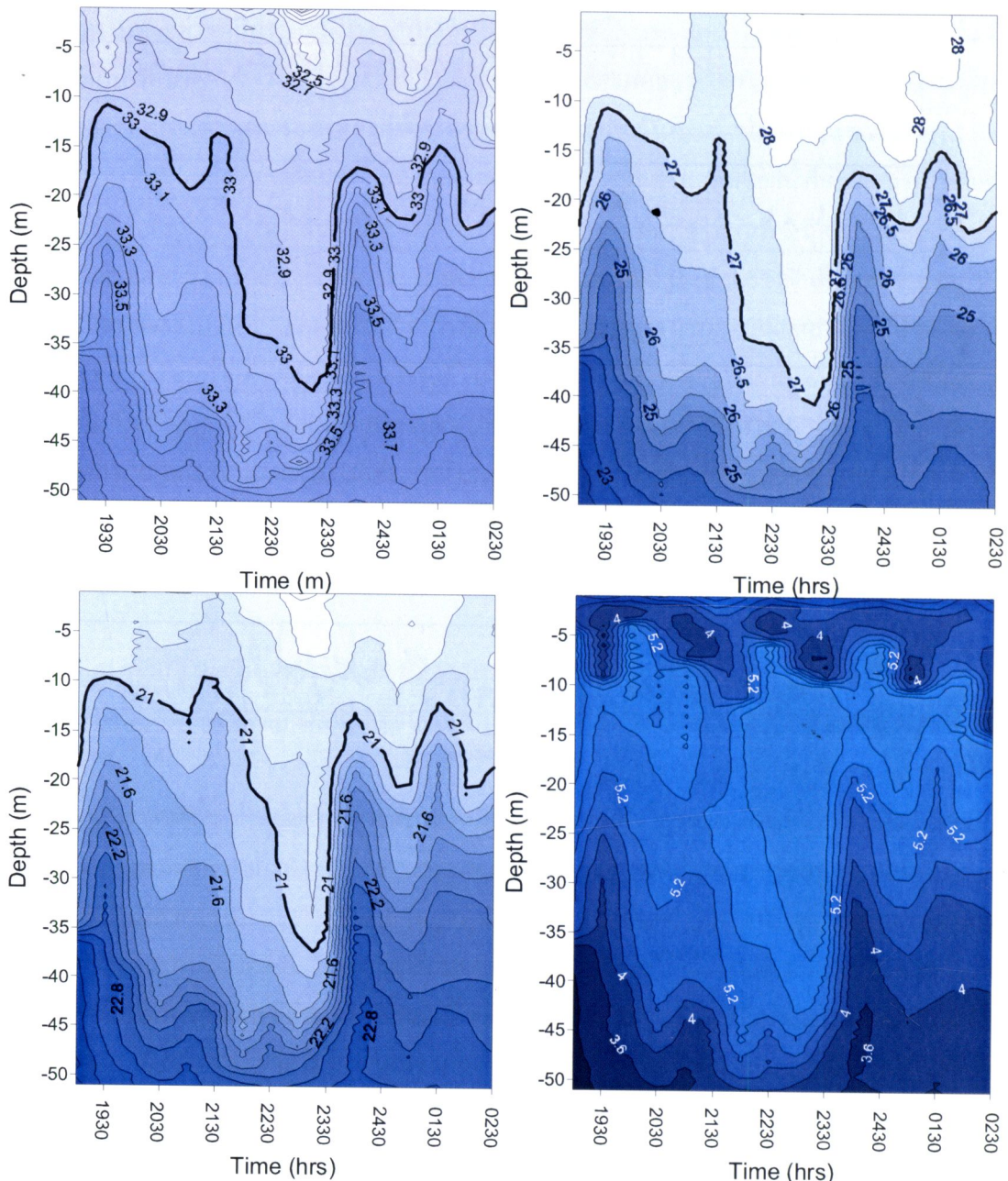
3.1.5 การศึกษาปัจจัยทางเคมี ชีว และชีวเคมี

นอกเหนือจากข้อมูลที่ได้นำเสนอไปแล้วนั้น ยังมีตัวอย่างและข้อมูลอีกจำนวนมากที่อยู่ในขั้นตอนของการวิเคราะห์ทั้งในประเทศไทย และที่ประเทศเยอรมนี เช่นตัวอย่าง Isotope ในตะกอนแนวลอย ตัวอย่าง



รูปที่ 3.21 ข้อมูลตรวจวัดปัจจัยคุณภาพน้ำแบบต่อเนื่องหนึ่งแนวการรังท่างด้านฝั่งตะวันตกของเกาะเมียง ซึ่งประกอบด้วยค่า อุณหภูมิ (T) ความเค็ม (S) ความลึกของระดับน้ำ (Tide; Depth) อัออกซเจนละลายน้ำ (O_2) ความเป็นกรดค้าง (pH) และคลอโรฟิลล์ (Chl a)

แหล่งที่ต้นพืช สัตว์ และค่าผลิตขั้นพื้นฐานในมวลน้ำ ฯลฯ ซึ่งผลที่ได้จากการวิเคราะห์ดังกล่าวได้มีการตีพิมพ์ในเอกสารเผยแพร่ของ Roder et al. (2010) (see Annex)



รูปที่ 3.22 ค่าที่ได้จากการตรวจวัดปัจจัยคุณภาพน้ำที่บริเวณด้านฝั่งตะวันตกของเกาะเมียง แบบต่อเนื่องด้วยเครื่อง CTD เพื่อตรวจดูการเคลื่อนตัวของมวลน้ำเมื่อเวลาเปลี่ยนไป โดยมีค่าความเค็ม (PSU: บันช้าย) อุณหภูมิ ($^{\circ}\text{C}$: บันขาว) ความหนาแน่น (σ_t ; ล่างช้าย) และค่าอุกซิเจนละลายน้ำ (mg/L : ล่างขวา)

3.2 ผลดำเนินการวิจัยปีที่ 2

ผลการศึกษาวิจัยในช่วงแรกเป็นรายงานผลที่ได้จากการดำเนินการต่อเนื่องจากปีที่ 1 ในช่วง 4เดือนแรก ของการดำเนินการ โดยในช่วง 4 เดือนแรกของปีที่ 2 (ตุลาคม-มกราคม) นั้น ได้มีการออกภาคสนามทำการสำรวจข้อมูลทางด้านสมุทรศาสตร์ และงานศึกษาทดลองในภาคสนามที่บันเกะเมียง (เกาะ 4 ของหมู่เกาะสิมิลัน) รวมทั้งมีการติดตั้ง sub-surface buoy ซึ่งประกอบด้วยเครื่องวัดกระแสน้ำแบบ ADCP (รวมถึงการวัดระดับน้ำ) และ เครื่องวัดอุณหภูมิแบบมีหน่วยความจำในตัวตามแนวระดับความลึกต่างๆ เพื่อติดตามคลื่นใต้น้ำที่เคลื่อนตัวเข้ามาในแนวชายฝั่งเพื่อที่จะได้ใช้ในการศึกษาพฤติกรรมของคลื่น นอกจากนี้ยังได้ทำการสำรวจทำแผนที่ลักษณะความลึกของพื้นท้องทะเลบริเวณรอบๆ เกาะเหมียงเพื่อเป็นข้อมูลพื้นฐานที่จะใช้ประกอบในการศึกษารักษาและทางสมุทรศาสตร์ของมวลน้ำและการเคลื่อนตัวของมวลน้ำในพื้นที่ที่ทำการศึกษา ผลจากการสำรวจทางเรือในเดือนตุลาคม 2550 (ช่วงปลายมรสุมตะวันตกเฉียงใต้) นั้น ได้มีการดำเนินการวิเคราะห์ตัวอย่าง และข้อมูลในบางส่วนเสร็จสิ้น พบร่วมกับการสำรวจลักษณะทางสมุทรศาสตร์บริเวณชายฝั่งนั้นชั้นน้ำในระดับผิวน้ำได้รับอิทธิพลจากน้ำจืดที่ไหลมาจากบริเวณชายฝั่งมีการแบ่งชั้นน้ำอย่างชัดเจน แต่ไม่พบมีการเคลื่อนตัวของคลื่นใต้น้ำเข้ามาในบริเวณชายฝั่งเหมือนช่วงเดือนมีนาคม 2550 (ช่วงมรสุมตะวันออกเฉียงเหนือ) ซึ่งการปรากฏของคลื่นใต้น้ำเข้ามาในพื้นที่ชายฝั่งที่ต่างกันในสองฤดูนั้นจะเกี่ยวข้องกับความลึกของชั้นความลึกของ pycnocline เนื่องด้วยลักษณะของทิศทางการเคลื่อนตัวของกระแสลมและน้ำเปลี่ยนไป

ต่อมาการศึกษาในช่วงที่ 2 ของปีที่ 2 นี้ ได้มีการดำเนินการทั้งทางเรือเพื่อออกทำการเก็บกุ้กุ่นใต้น้ำที่ติดตั้งเครื่องตรวจวัดกระแสน้ำและอุณหภูมิในระดับความลึกต่างๆ ที่ทำการติดตั้งไว้ตั้งแต่เดือนตุลาคมของต้นปี ของ การศึกษาในปีที่ ส่องรวมทั้งเก็บรวบรวมข้อมูลทางด้านสมุทรศาสตร์ ในขณะเดียวกัน ได้มีทีมสำรวจและศึกษาทดลองเกี่ยวกับผลกระทบของมวลน้ำเย็นอันเกิดจากอิทธิพลของคลื่นใต้น้ำต่อปะการังและสิ่งมีชีวิตหน้าดินและในแนวปะการัง ได้ทำการศึกษาอยู่ในบริเวณแนวหมู่เกาะสิมิลัน โดยใช้ฐานการศึกษาอยู่ที่บันเกะเมียง เพื่อติดตามผลการทดลองที่ได้ดำเนินการไว้ในแนวปะการังของหมู่เกาะ รวมทั้งการศึกษารักษาและทางสมุทรศาสตร์บนแนวปะการังเพื่อเชื่อมโยงกับผลกระทบของมวลน้ำลึกน้อยจาก Center for Tropical Marine Ecology (Bremen University) ที่ร่วมในโครงการได้จับการศึกษาทั้งหมด 2 ท่าน ผลการศึกษาได้รวมรวมไว้ในภาคผนวก ก

และการศึกษาช่วงสุดท้ายของปีที่ 2 ได้มีการดำเนินการสำรวจทางทะเลและการศึกษาทดลองดูผลกระทบของมวลน้ำลึกน้อยกับชายฝั่งต่อปะการังที่บันเกะราชา ซึ่งถือว่าเป็นบริเวณที่มีปะการังที่อุดมสมบูรณ์และสวยงามแหล่งหนึ่งในทะเลอันดามัน และเพื่อเป็นการคุ้มครองในมุ่งที่กว้างขึ้นจากที่ดำเนินการ

ในหมู่เกาะสิมิลัน เนื่องด้วยพื้นที่เกาะราชาเป็นพื้นที่หนึ่งที่ได้รับผลกระทบจากปรากฏการณ์มวลน้ำเย็นในทะเลอันดามัน

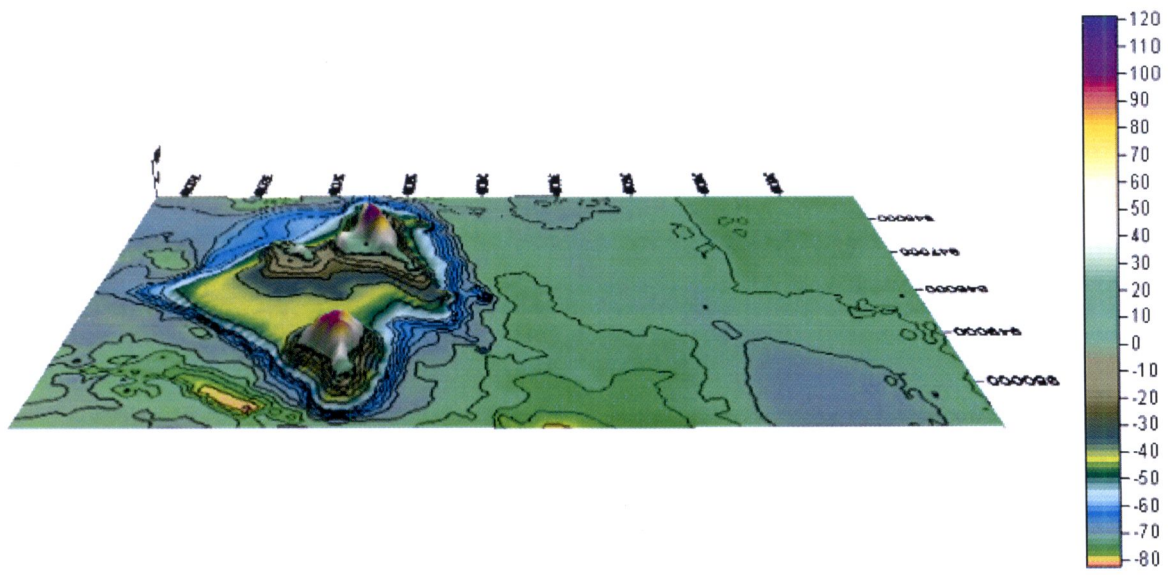
3.2.1 การสำรวจจัดทำแผนที่ความลึกพื้นท้องทะเลบริเวณเกาะเมียง (หมู่เกาะสิมิลัน)

ผลการสำรวจ

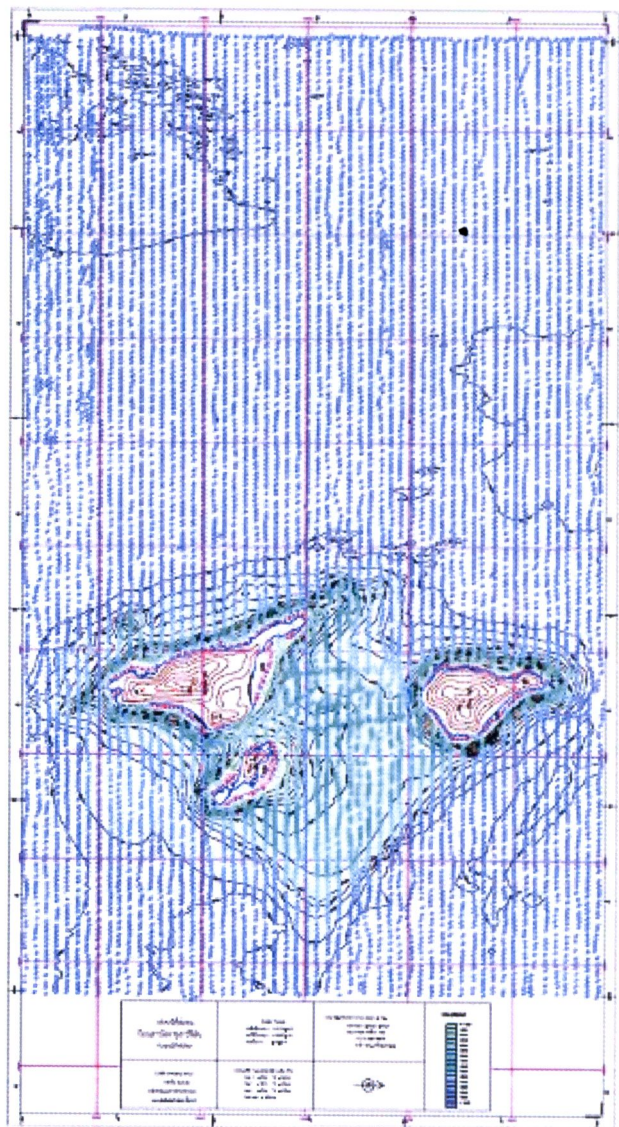
นำข้อมูลที่บันทึกในคอมพิวเตอร์มาตรวจสอบหักกลบค่าระดับน้ำจากสถานีวัดระดับน้ำ และจัดทำเส้นขั้นความลึกน้ำทุก ๆ 5 เมตร โดยแบ่งแยกออกเป็นสีต่าง ๆ เพื่อสะดวกในการใช้งาน ระดับความลึกแบ่งออกเป็นดังนี้

พื้นที่ด้านตะวันออกของเกาะเมียง มีระดับความลึกตั้งแต่ชายฝั่งทะเลจนถึงความลึกมากที่สุดที่ระดับ 70 เมตร ระยะทางจากชายฝั่งจนระยะห่างจากฝั่งประมาณ 500 เมตร มีการเปลี่ยนแปลงระดับความลึกตั้งแต่ 5 – 50 เมตร ระยะห่างจากชายฝั่งมากกว่า 500 เมตร จนสุดขอบเขตสำรวจ มีการเปลี่ยนแปลงระดับความลึกตั้งแต่ 50 – 70 เมตร พื้นท้องทะเลบริเวณนี้ค่อนข้างราบรื่น ไม่มีความลาดชันพื้นที่ด้านตะวันตกของเกาะเมียง มีระดับความลึกตั้งแต่ชายฝั่งทะเลจนถึงความลึกมากที่สุดที่ระดับ 75 เมตร บริเวณชายฝั่งมีความลาดชันมาก ระยะทางจากชายฝั่งจนระยะห่างจากฝั่งประมาณ 200 เมตร มีการเปลี่ยนแปลงระดับความลึกตั้งแต่ 5 – 50 เมตร ระยะห่างจากชายฝั่งมากกว่า 200 เมตร จนสุดขอบเขตสำรวจ มีการเปลี่ยนแปลงระดับความลึกตั้งแต่ 50 – 75 เมตร พื้นท้องทะเลบริเวณนี้ค่อนข้างราบรื่น ไม่มีความลาดชัน

ผลจากการสำรวจได้จัดทำเป็นแผนที่แสดงระดับความลึกพื้นท้องทะเลมาตราส่วน 1: 10,000



รูปที่ 3.23 แสดงลักษณะความลึกของพื้นท้องทะเลพร้อมแสดงเส้นระดับความลึก และความสูงของเกาะเมือง (หมู่เกาะสิมิลัน) ที่ได้จากการสำรวจในครั้งนี้



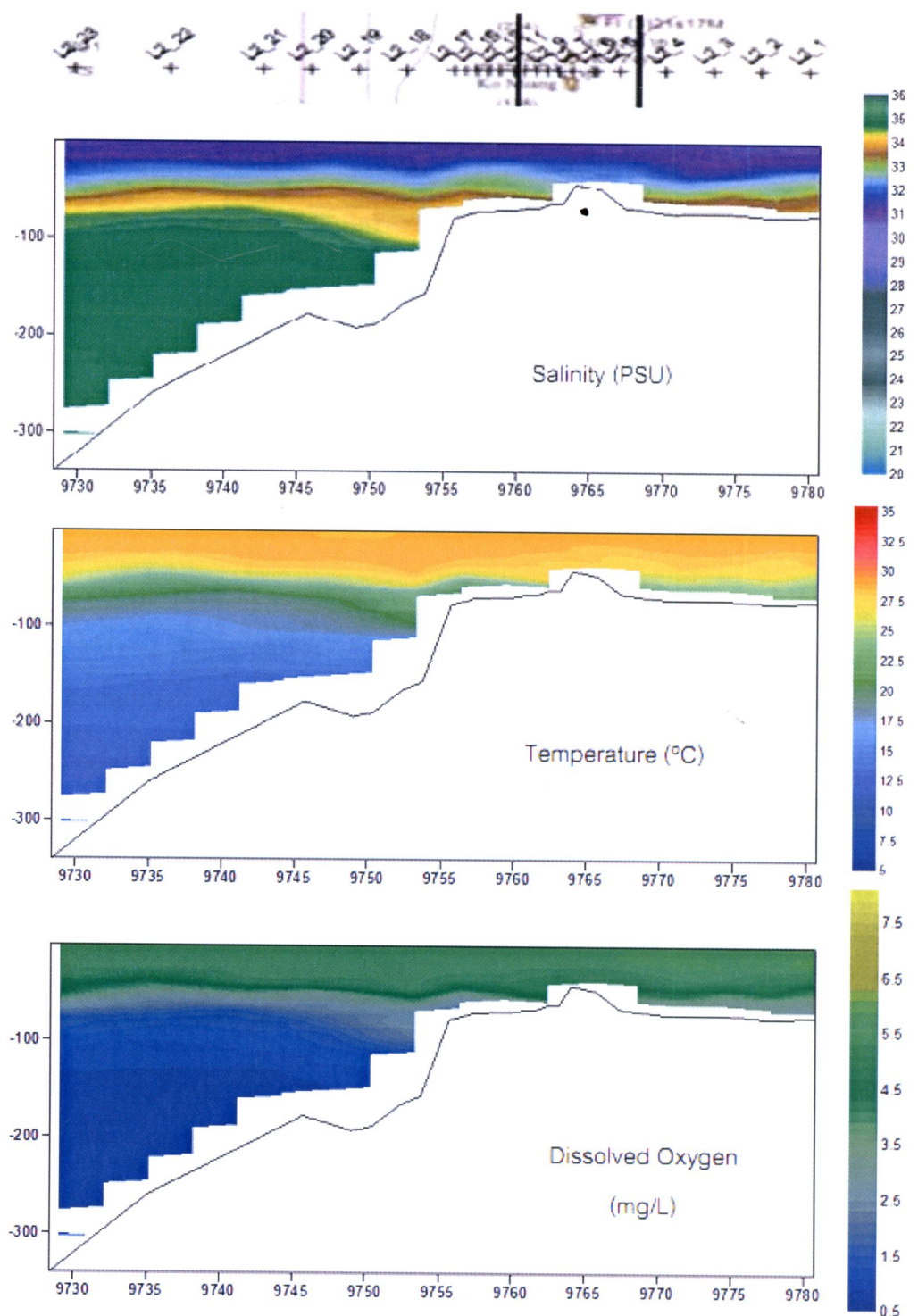
รูปที่ 3.24 แผนที่ลักษณะพื้นที่องทະเลขบริเวณเกษตรเมือง (หมู่เกษตรสินมีลัน) พร้อมตัวเลขของระดับความลึกที่ได้จากการสำรวจครั้งนี้

3.2.2 การสำรวจและศึกษาลักษณะทางสมุทรศาสตร์ โดยเรือสำรวจจักรกองทองใหญ่บริเวณเกาะเมียง (หมู่เกาะสิมิลัน)

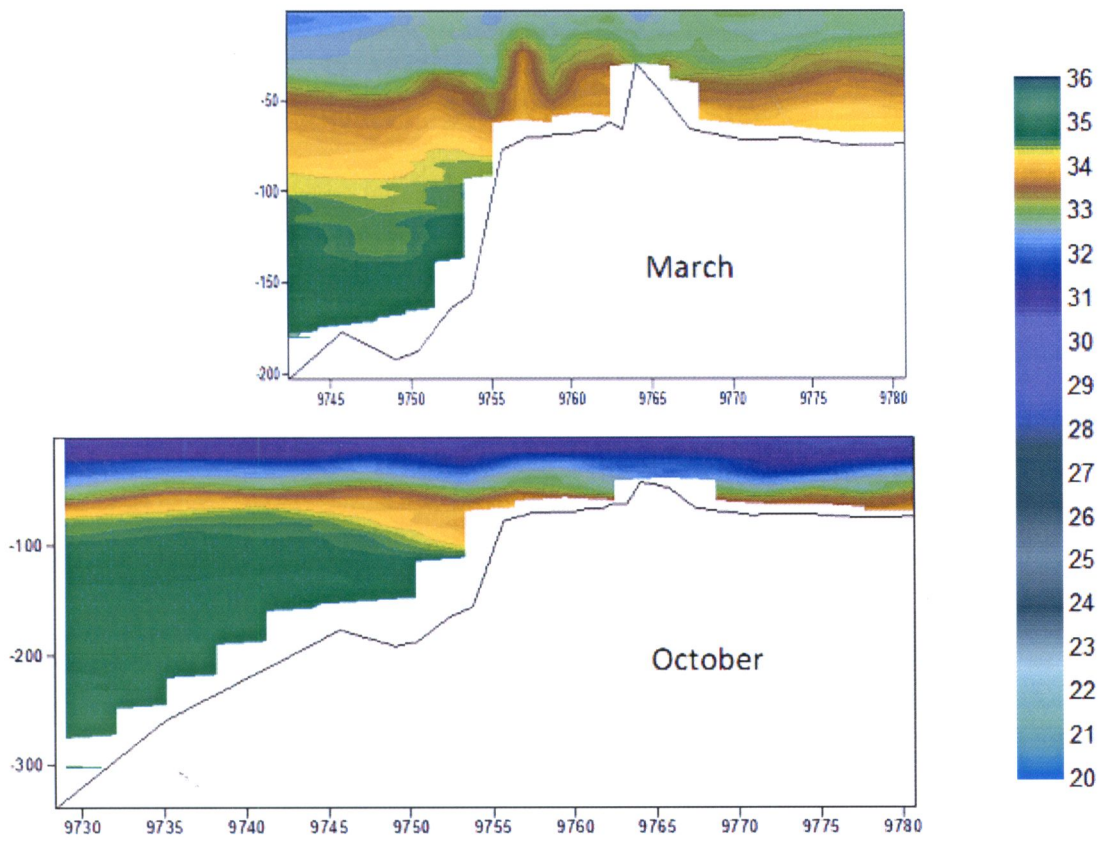
ผลจากการสำรวจของข้อมูล CTD พบว่าค่าความเค็มและอุณหภูมิแสดงให้เห็นว่ามีการแบ่งชั้นน้ำอย่างชัดเจน โดยความเค็มที่บริเวณผิวน้ำ (ลึกประมาณ 30 เมตร จากผิวน้ำ) มีค่าที่ค่อนข้างต่ำ คือ ประมาณ 30-31 (PSU) และเพิ่มสูงมากกว่า 32 ที่ความลึกมากกว่า 30-40 เมตร เช่นเดียวกับที่พบว่าอุณหภูมน้ำมีค่าที่สูงที่สุดที่บริเวณน้ำชั้นผิว (ความลึกจากผิวน้ำถึงความลึก 40-50 เมตร) (ภาพที่ 7) โดยความเค็มที่ค่อนข้างต่ำในพื้นที่นักท่องเที่ยวฝั่ง เนื่องจากได้รับอิทธิพลจากน้ำจืดที่ไหลลงสู่ชายฝั่งจากแม่น้ำบริเวณตอนบนของทะเลอันดามัน

จากลักษณะมีการแบ่งชั้นน้ำอย่างชัดเจน แต่ไม่มีการพบการยกตัวของมวลน้ำชั้นลึกอันเนื่องจากคลื่นเดียวใต้น้ำ เช่นที่พบในช่วงต้นปี 2550 ทั้งนี้อาจเกิดจากคลื่นเดียวได้น้ำหนึ่งมีแหล่งที่เกิดจากบริเวณแนวหนึ่งทางอันดามัน และนิโโภาร์ ที่บริเวณความลึกที่เกิดการแบ่งชั้นน้ำ (pycnocline) เคลื่อนตัวจากอ่าวเบงกอลผ่านสันพื้นท้องน้ำที่แบ่งแยกทะเลอันดามันจากอ่าวเบงกอลทำให้เกิดการกดตัวที่บริเวณชั้นน้ำ pycnocline ที่ไหลผ่านหลังสันใต้น้ำมายังชายฝั่งทะเลอันดามันเกิดเป็นคลื่นเดียวใต้น้ำ แต่ชั้นน้ำที่พบในเดือนตุลาคมในบริเวณหมู่เกาะสิมิลัน เป็นชั้นน้ำที่อาจเกิดขึ้นที่เฉพาะใกล้ชายฝั่งอันเนื่องจากอิทธิพลของน้ำจืดที่ไหลลงสู่ชายฝั่ง ซึ่งบริเวณชายฝั่งนี้ไม่ใช่แหล่งกำเนิดคลื่นเดียวใต้น้ำ ประกอบกับชั้นน้ำ pycnocline ที่เกิดคลื่นเดียวใต้น้ำเมื่อที่เคลื่อนตัวเข้าใกล้ชายฝั่งอาจเคลื่อนตัวลงในระดับลึกกว่าที่พบในช่วงต้นเดือนมีนาคม 2550 ดังนั้นคลื่นเดียวใต้น้ำในช่วงเดือนตุลาคมจึงอาจเกิดการประทับของคลื่นกับแนวไฟฟ้าในระดับที่ลึกนอกชายฝั่งที่ห่างไกลออกไปทำให้อิทธิพลของมวลน้ำเย็นไม่สามารถเคลื่อนตัวเข้าลึกลงบริเวณชายฝั่ง

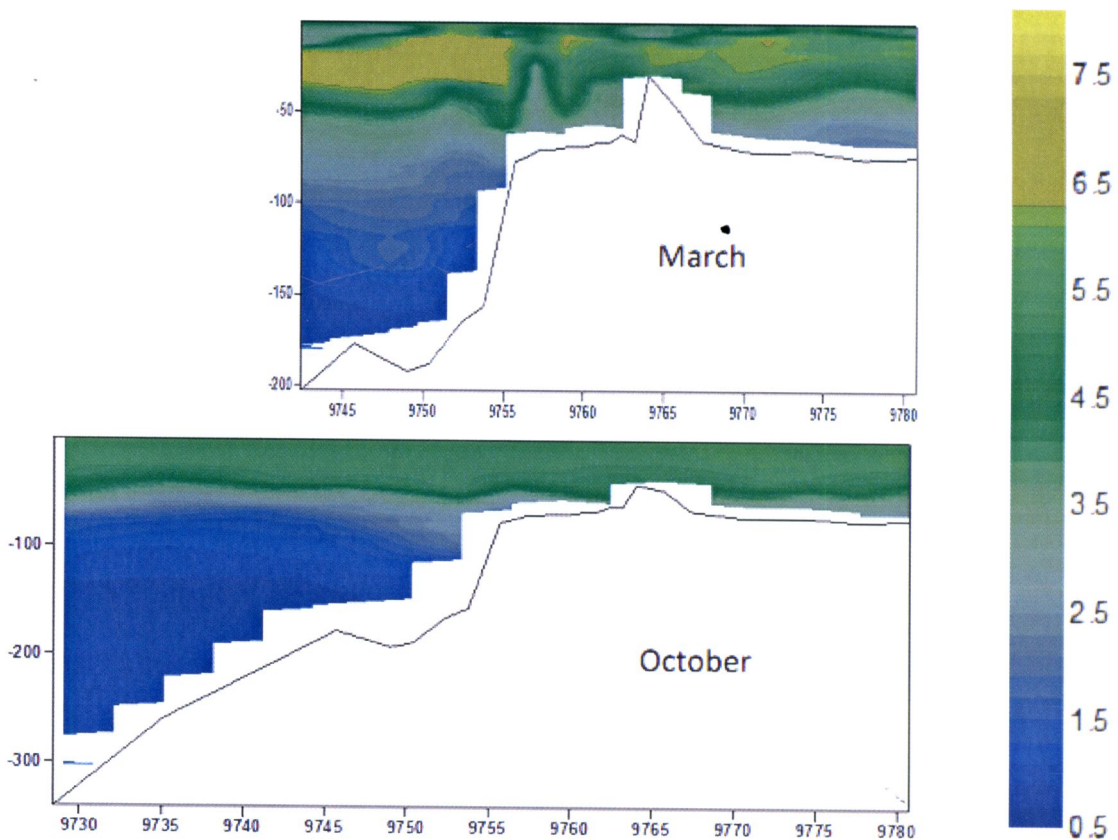




รูปที่ 3.25 แสดงการแพร่กระจายของค่าความเค็ม อุณหภูมิ และอัตราซิเจนละลายน้ำตามแนวตัดขวางทิศตะวันออก และตะวันตกของเกาะเมียง จากข้อมูลที่เก็บด้วยเครื่อง CTD ในเดือน ตุลาคม

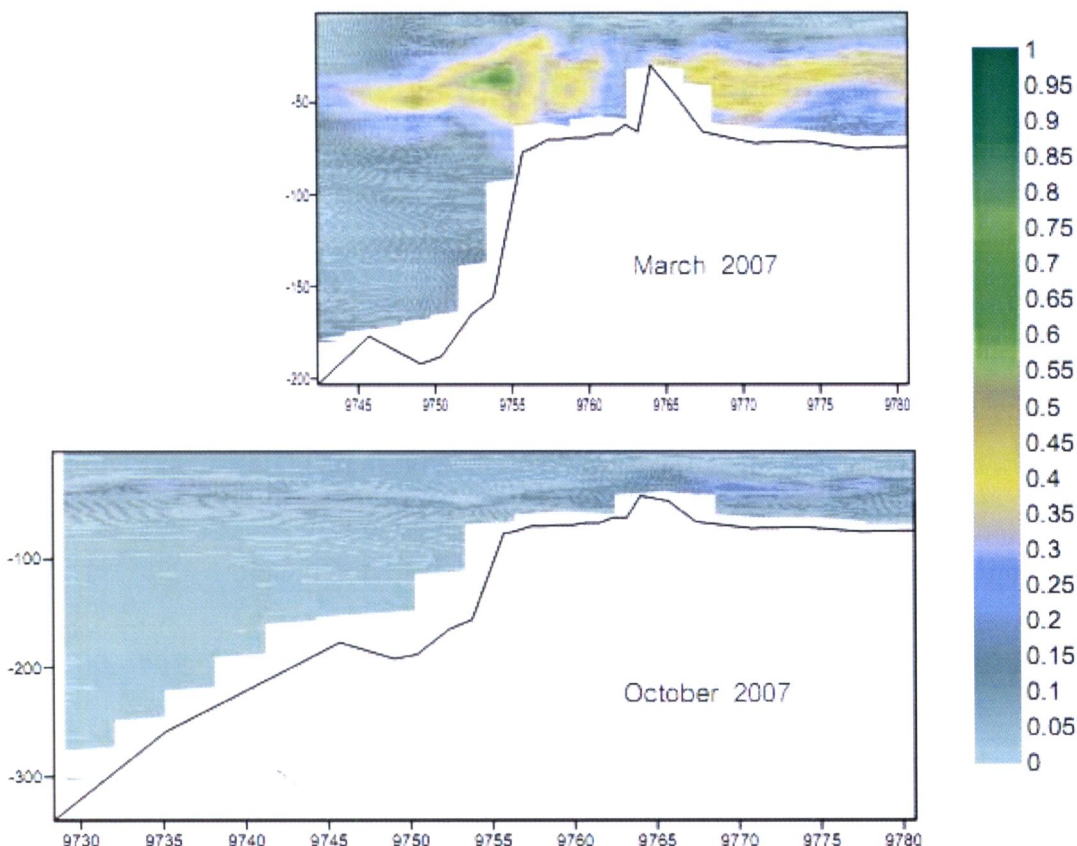


รูปที่ 3.26 เปรียบเทียบค่าความเค็ม (PSU) ที่พนในบริเวณแนววันออกและตะวันตกของเกาะเมืองในช่วงเดือน มีนาคม (พนการเคลื่อนตัวของคลื่นเดี่ยวได้น้ำเข้ามาในบริเวณชายฝั่ง) และเดือนตุลาคม



รูปที่ 3.27 เปรียบเทียบค่าอํอกซิเจนละลายน้ำ (มิลลิกรัมต่อลิตร) ที่พบในบริเวณแนววันออกและตะวันตกของเกาะเมืองในช่วงเดือนมีนาคม และเดือนตุลาคม

จากรูปที่ 3.26 จะได้ข้อว่าในเดือนมีนาคม 2550 ซึ่งเกิดปรากฏการณ์การเคลื่อนตัวของคลื่นเดียวให้น้ำเข้ามาใกล้ชัยฝั่ง มีการเคลื่อนตัวของชั้นน้ำในแนวคั่งทางฝั่งตะวันตกของเกาะเมืองอย่างชัดเจน ในขณะที่ในเดือนตุลาคมนั้นไม่พบปรากฏการณ์ดังกล่าว จากการเคลื่อนตัวขึ้นในแนวคั่งจากการประทะของคลื่นกับพื้นห้องทะเล (ไหหลีทีป) ทำให้น้ำชั้นล่างฟุ้งกระจายขึ้นมา จึงมีผลทำให้คุณสมบัติของน้ำในบริเวณชายฝั่งของเกาะเมืองที่ถูกมวลน้ำชั้นล่างไหหลีขึ้นมาปกคลุม โดยมวลน้ำชั้นล่างมีคุณสมบัติค่าอํอกซิเจนละลายน้ำและค่าอุณหภูมิมีค่าต่ำ ขณะที่ค่าสารอาหาร และความเค็มมีค่าสูง การเปลี่ยนแปลงคุณสมบัติดังกล่าวมีผลต่อทรัพยากรสัตว์น้ำชีวิตโดยตรง โดยเฉพาะค่าออกซิเจนละลายน้ำที่มีค่าต่ำกว่า 4 มิลลิกรัมต่อลิตร ซึ่งพบในหลายพื้นที่ในบริเวณชายฝั่งทะเลอันดามันในต้นปี 2550 (รูปที่ 3.27)



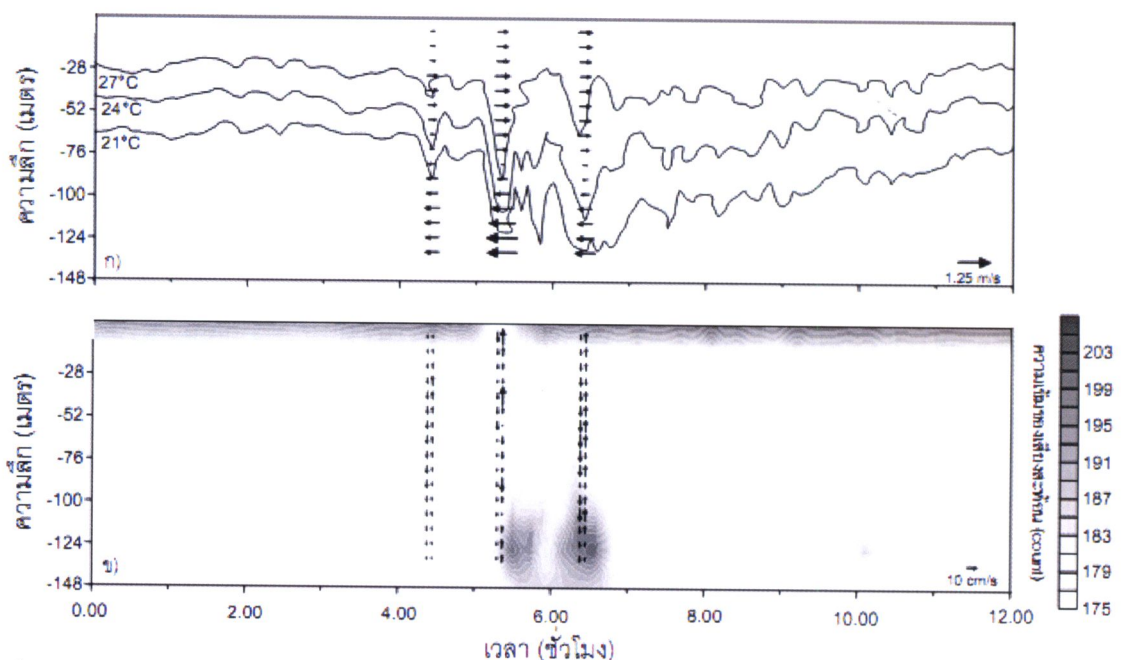
รูปที่ 3.28 แสดงการแพร่กระจายของค่าคลอโรฟิลล์ (Fluorescent) ตามแนวตัดขวางทิศตะวันออก และตะวันตก ของกาเมียง (จากข้อมูลที่เก็บด้วยเครื่อง CTD)

เนื่องจากน้ำชั้นล่างที่มีสารอาหารปริมาณมากดังกล่าวมาแล้วในข้างต้น การที่คลื่นเดี่ยวใต้น้ำเคลื่อนตัวเข้าใกล้ชายฝั่งและเกิดการยกตัวและฟุ้งกระจายของมวลน้ำชั้นล่างดังกล่าวทำให้สารอาหารจากน้ำชั้นล่างฟุ้งกระจายขึ้นสู่น้ำชั้นบนที่มีสภาพแวดล้อม เช่น แสง และอุณหภูมิที่เพิ่มสูงขึ้นเหมาะสมต่อการเจริญเติบโตของแพลงก์ตอนพืช จึงทำให้เกิดการสร้างของแพลงก์ตอนพืชในชั้นน้ำใกล้ผิวน้ำในปริมาณมาก ดังที่พบปรากฏในช่วงต้นปี 2550 ที่มีการเคลื่อนตัวของคลื่นเดี่ยวใต้น้ำเข้ามาใกล้ชายฝั่ง (รูปที่ 3.28) และในช่วงต้นปีเดียวกันพบคลอดบริเวณนอกแนวชายฝั่งทะเลอันดามันของประเทศไทย มีการสร้างของแพลงก์ตอนพืชที่ค่อนข้างมากกว่าปีก่อนๆ

3.2.3 การศึกษาพฤติกรรมคลื่นเดี่ยวใต้น้ำ

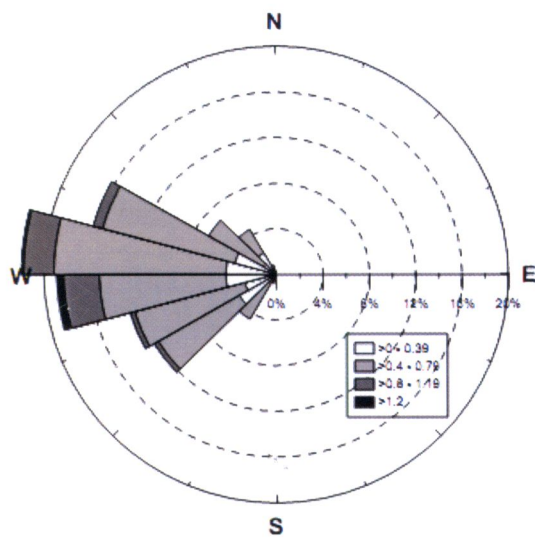
จากข้อมูลกระแสน้ำในแนวระนาบและอุณหภูมิที่ได้จากทุนสำรวจสมุทรศาสตร์ที่สถานีที่ 1 แสดงให้เห็นการเคลื่อนตัวของคลื่นเดี่ยวใต้น้ำจากนอกชายฝั่งเข้าสู่แนวชายฝั่งของทะเลอันดามัน โดยบริเวณที่คลื่นเดี่ยว

ใต้น้ำเคลื่อนตัวเข้ามานั่นจะเห็นลักษณะกระแสในแนวระนาบ (ออก-ตก) มีทิศทางตรงข้ามกันในมวลน้ำชั้นบนและชั้นล่าง โดยในมวลน้ำชั้นบนกระแสจะมีทิศทางไปทางขวาฝั่ง ส่วนในมวลน้ำชั้นล่างกระแสจะมีทิศทางไปทางออกนอกชายฝั่ง (รูปที่ 3.29) ในแนวชั้นน้ำอุณหภูมิ 21-24°C (Isotherms) เป็นแนวชั้นน้ำที่แบ่งแยกมวลน้ำชั้นบนและล่าง ความเร็วของกระแสในแนวระนาบเพิ่มขึ้นกับระยะความลึกที่ห่างจากแนวแบ่งชั้นน้ำ โดยความเร็วที่พบมีค่าอยู่ในช่วง 0.20-1.33 เมตรต่อวินาที (ค่าเฉลี่ย 0.50 เมตรต่อวินาที) และพบว่าความเร็วกระแสในแนวดิ่งนั้นมีความเร็วที่ค่อนข้างต่ำมากและมีทิศทางขึ้นและลงสลับกันกับระยะเวลาที่ผ่านไป ซึ่งแสดงให้เห็นว่ามีการเคลื่อนตัวผ่านมาของคลื่นเดียวใต้น้ำ (รูปที่ 3.29) จากข้อมูลที่ได้จากการตรวจวัดของข้อมูลพบว่าโอกาสที่จะพบคลื่นเดียวใต้น้ำเคลื่อนที่เข้าใกล้ชายฝั่งนั้นมีมากในช่วงน้ำเป็น (spring tide) ซึ่งช่วงต่างของระดับน้ำขึ้น-ลงมาก (Tidal range) ระยะห่างของเวลาการปรากฏตัวของคลื่นเดียวใต้น้ำแต่ละช่วงนั้นห่างกัน 12.42 ชั่วโมง และในที่สุดจะทำให้เกิดการฟุ้งกระจายของตะกอนพื้นทะเลขึ้นสู่ชั้นน้ำ (รูปที่ 3.29: พบมีการสะท้อนของคลื่นเสียงมาก)

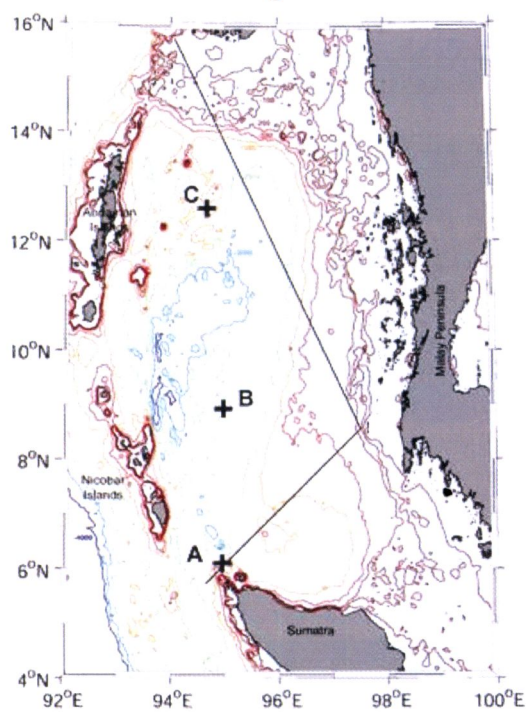


รูปที่ 3.29 แสดงลักษณะทิศทางกระแสในแนวระนาบ (a) และในแนวดิ่ง (b) และการแพร่กระจายของชั้นน้ำอุณหภูมิ 21, 24, 27 °C รวมทั้งค่าการสะท้อนของคลื่นเสียงที่ใช้ในการตรวจวัดกระแส (สะท้อนให้เห็นว่ามีตะกอนแนวลอยมากเมื่อมีการสะท้อนสูง) ในช่วงที่มีการเคลื่อนตัวของคลื่นเดียวใต้น้ำเข้าสู่ชายฝั่งทะเลอันดามันที่สถานีตรวจวัดที่ 1 ของวันที่ 18 กุมภาพันธ์ 2550 (เวลา 20.00 น.) ถึงวันที่ 19 กุมภาพันธ์ 2550 (เวลา 08.00 น.)

สำหรับข้อมูลที่ตรวจวัดได้ที่สถานีที่ 2 นั้น พบว่ามีการเคลื่อนตัวของชั้นน้ำแก่งตัวขึ้นลง (isotherm fluctuation continuously) โดยช่วงเวลาที่พบปรากฏการณ์ดังกล่าวจะพบอยู่ประมาณ 10-20 นาที ถึงแม้ที่สถานีตรวจวัดที่ 1 จะมีการปรากฏตัวของคลื่นเดี่ยวได้น้ำหรือไม่ก็ตาม ปรากฏการณ์ดังกล่าวอาจเป็นไปได้ที่จะเกิดจาก การที่คลื่นเดี่ยวได้น้ำมีการแตกตัวหลังกระบวนการแนวไฟลท์วีปในชัยฝั่ง (ความลึกที่ประมาณ 90 เมตร) ทำให้ส่วน ที่แตกตัวของคลื่นไฟลท์ผ่านแนวชายฝั่งที่ดีนั้น หรือเกิดจากการประทะของกระแสน้ำที่เกิดจากการขึ้นลงของน้ำ ประจำกับแนวไฟลท์วีปดังกล่าว



รูปที่ 3.30 ทิศทางการเคลื่อนตัวของคลื่น เดี่ยวได้น้ำเข้าสู่ชัยฝั่งของทะเลอันดามัน ที่ สถานีตรวจวัดที่ 1



รูปที่ 3.31 แหล่งที่เกิดการทำให้เกิดการ ก่อตัวขึ้นมาใหม่ของคลื่นเดี่ยวได้น้ำใน ทะเลอันดามัน
(จาก Alper et al. 1997)

จากข้อมูลที่พนจาก การศึกษาภาพถ่ายดาวเทียม โดย (Alper et al. 1997) พบว่าการเคลื่อนตัวของคลื่นเดี่ยวได้น้ำเข้าสู่ทะเลอันดามันนั้น มีสาเหตุมาหลายทิศทาง ทั้งนี้อาจเกิดจากการเกิดการก่อตัวเป็นแหล่งทำให้เกิดคลื่นเดี่ยวได้น้ำเข้ามามาใหม่ในหลายที่หลังจากการไหลผ่านของชั้นน้ำในบริเวณแนวหมู่เกาะนิโคบาร์และอันดามัน โดย Alper et al (1997) ระบุว่ามีแหล่งที่ก่อให้เกิดการก่อตัวของคลื่นเดี่ยวได้น้ำเข้ามามาใหม่ทั้งหมด 3 แห่งในทะเลอันดามัน (รูปที่ 3.31) จากข้อมูลที่ได้จากการตัววัดที่ สถานีที่ 1 เมื่อวันที่ 10 พฤษภาคม 2550 พบว่าเกิดการเคลื่อนตัวของคลื่นได้น้ำเข้าสู่ชายฝั่งแล้วพบว่าคลื่นเดี่ยวได้น้ำส่วนใหญ่เคลื่อนตัวมาจากทางทิศ 225° - 300° ซึ่งน่าจะเป็นคลื่นเดี่ยวได้น้ำที่เกิดมาจากจุด B (รูปที่ 3.31)

3.2.4 การศึกษาแพลงก์ตอน ผลผลิตเบื้องต้นในชั้นมหาสมุทรและสัตว์พื้นทะเล

ทำการเก็บตัวอย่างจำนวน 2 ครั้ง ในเดือนตุลาคม 2550 และ กุมภาพันธ์ 2551 ผลการเก็บตัวอย่างสรุปดังตารางที่ 1



ตารางที่ 3.3 ผลการเก็บตัวอย่างในปีงบประมาณ 2551 โดยสรุป

ชื่อสัญลักษณ์ หัวกากสืบสาน	เก็บตัวอย่าง		หมายเหตุ
	ตุลาคม 2550	มิถุนายน 2551	
มหาสมุทรพืช	เก็บตัวอย่างบนแนวสำราญ L2 จำนวน 11 สถานี รวม 88 ตัวอย่าง	เก็บตัวอย่างบนแนวสำราญ L2 จำนวน 11 สถานี รวม 88 ตัวอย่าง	ตัวอย่างเดือนตุลาคม วิเคราะห์โดยริบบันส์
คลอร์ฟิลล์ตัวต้น	ห้ากากษาเหลืองบนแนวสำราญ L2 จำนวน 5 สถานี รวม xx ตัวอย่าง	ห้ากากษาเหลืองบนแนว สำราญ L2 จำนวน 5 สถานี รวม 33 ตัวอย่าง	ข้อมูลขาดหาย ทดสอบริบบันส์อยู่ ระหว่างการดำเนินงาน
Fractionated Chlorophyll	เก็บตัวอย่างบนแนวสำราญ L2 จำนวน 10 สถานี รวม 80 ตัวอย่าง	เก็บตัวอย่างบนแนวสำราญ L2 จำนวน 11 สถานี รวม 33 ตัวอย่าง	วิเคราะห์โดยไม่นาน ผลริบบันส์อยู่ระหว่าง การดำเนินงาน
Stable Isotope	เก็บตัวอย่างบนแนวสำราญ L2 จำนวน 11 สถานี รวม 33 ตัวอย่าง	เก็บตัวอย่างบนแนวสำราญ L2 จำนวน 11 สถานี รวม 33 ตัวอย่าง	ตัวอย่างส่งไป วิเคราะห์ที่ประเทศไทย แล้วเสร็จ
Carbon/Nitrogen	เก็บตัวอย่างบนแนวสำราญ L2 จำนวน 11 สถานี รวม 33 ตัวอย่าง	เก็บตัวอย่างบนแนวสำราญ L2 จำนวน 11 สถานี รวม 33 ตัวอย่าง	ตัวอย่างส่งไป วิเคราะห์ที่ประเทศไทย แล้วเสร็จ

ผลผลิตภัณฑ์และ กระบวนการ	-	ห้ากการทดสอบบนแนว สำหรับ L2 จำนวน 6 สถานี รวม 186 ตัวอย่าง	
มาตรฐานพารามิเตอร์ และเกณฑ์คุณภาพ	-	เก็บตัวอย่างบนแนวสำหรับ L2 จำนวน 11 สถานี รวม 11 ตัวอย่าง	
รูปแบบวิธีซ้อม	-	เก็บตัวอย่างบนแนวสำหรับ L2 จำนวน 11 สถานี รวม 33 ตัวอย่าง	
สัตว์พิมพ์และ	-	เก็บตัวอย่างบนแนวสำหรับ L2 จำนวน 11 สถานี รวม 11 ตัวอย่าง	

ผลการวิเคราะห์ตัวอย่างเบื้องต้น

ข้อมูลลูกกลากวัยอ่อน กำลังดำเนินการวิเคราะห์ตัวอย่างเดือนตุลาคม 2550 และมีนาคม 2551 ส่วนตัวอย่างที่เก็บในช่วงปีที่ 1 (เดือนกุมภาพันธ์ 2550) วิเคราะห์เสร็จแล้วได้ผลโดยสรุปดังตาราง

เมื่อพิจารณาเบื้องต้นพบชนิดและปริมาณลูกกลากวัยอ่อนมากที่สุดที่สถานีไหล่ทวีป (L2_18) และพบปริมาณลูกกลาค่อนข้างน้อยในสถานีด้านหน้าเกาะเมียง (L2_9, L2_11 และ L2_15) โดยการวิเคราะห์ข้อมูลในลำดับต่อไปจะต้องทำการเปรียบเทียบความแตกต่างของชนิดที่พบในแต่ละสถานี

ตารางที่ 3.4 ผลการวิเคราะห์ลูกปลาวย้ออ่อนเบื้องต้น จากการเก็บตัวอย่างในเดือนกุมภาพันธ์ 2550

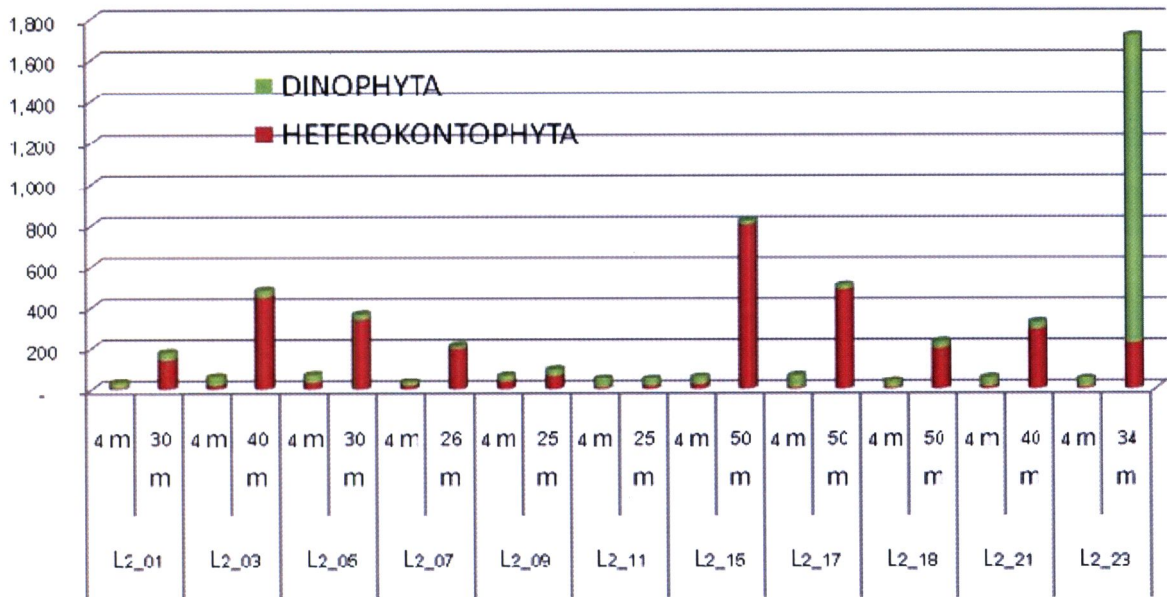
สถานี	จำนวนชิ้นตัวอย่าง	ปริมาณลูกปลาวย้ออ่อนทั้งหมด
1	26	530
3	22	334
5	23	193
9	15	87
11	17	78
15	20	111
18	26	775
19	25	303
21	26	420

ข้อมูลแพลงก์ตอนพืช

ผลการวิเคราะห์แพลงก์ตอนพืชบนแนวสำรวจ L2 จากการเก็บตัวอย่างในเดือนตุลาคม 2550 แสดงข้อมูลที่ 2 ระดับความลึก กึ่งที่ระดับ 4 เมตรได้ผิวน้ำและระดับความลึกที่มีค่าฟลูโอะเรสเซนซ์สูงสุด (fluorescence maximum layer) โดยพบแพลงก์ตอนพืชกลุ่มหลัก ๆ 3 กลุ่ม ดังตารางที่ 3 ส่วนรูปที่ 3.32 แสดงแนวโน้มปริมาณแพลงก์ตอนพืชกลุ่ม Heterokontophyta และ Dinophyta บนแนวสำรวจ

ตารางที่ 3.5 ความหนาแน่นของแพลงก์ตอนพืชบนแนวสำรวจ L2 เดือนตุลาคม 2551

Station	Depth (m)	Taxa			Total (cell/L)
		Cyanophyta	Heterokontophyta	Dinophyta	
L2_01	4 m	530	6	26	562
	30 m	21	145	34	200
L2_03	4 m	571	18	47	636
	40 m	51	448	32	531
L2_05	4 m	463	33	41	537
	30 m	77	342	24	443
L2_07	4 m	307	17	19	343
	26 m	86	199	11	296
L2_09	4 m	254	39	31	324
	26 m	35	70	29	134
L2_11	4 m	328	9	46	383
	26 m	24	16	37	77
L2_15	4 m	381	23	41	445
	50 m	12	804	18	834
L2_17	4 m	427	8	62	497
	50 m	59	484	25	568
L2_18	4 m	351	7	34	392
	50 m	149	199	31	379
L2_21	4 m	528	12	48	588
	40 m	28	296	33	357
L2_23	4 m	263	9	44	316
	34 m	12,560	224	1,496	14,279

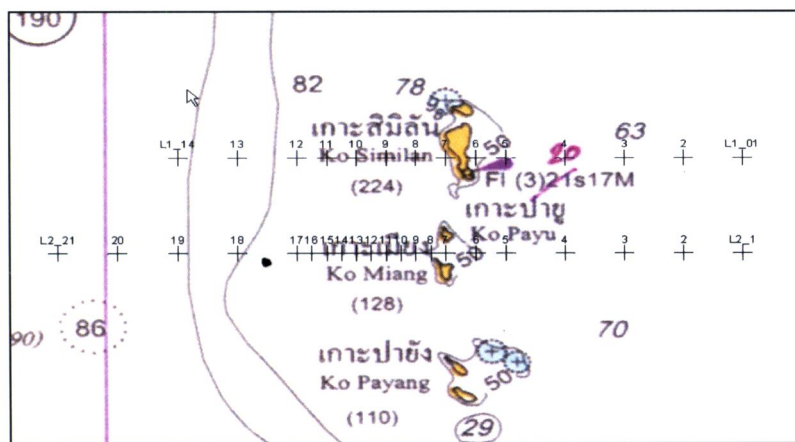


รูปที่ 3.32 แนวโน้มปริมาณแพลงก์ตอนพืชกลุ่ม Heterokontophyta และ Dinophyta บนแนวสำรวจ L2

ผลสรุปการศึกษาความหลากหลาย มวลชีวภาพและผลผลิตในชั้นมหาวน้ำในพื้นที่ชายฝั่งถึงบริเวณแนวน้ำลึกทางฝั่งตะวันตกของหมู่เกาะสิมิลัน

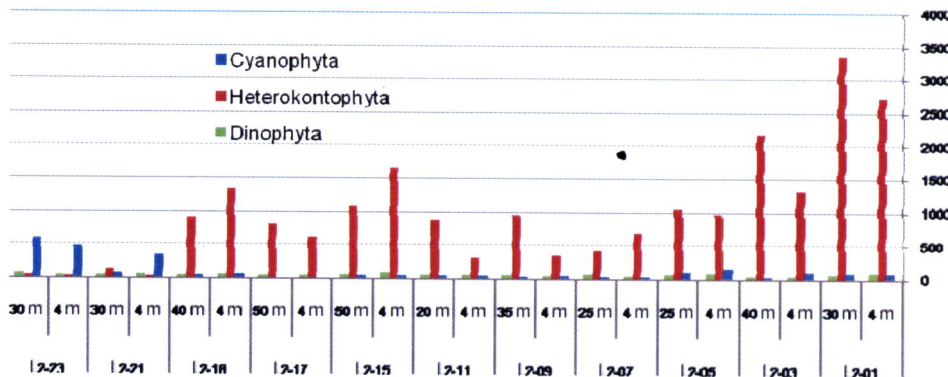
- แพลงก์ตอนพืช

ผลการวิเคราะห์ข้อมูลเที่ยงสำรวจเดือนกุมภาพันธ์ 2551 แล้วเสร็จ โดยสรุปดังตารางที่ 1 และ รูปที่ 3.34 โดยแสดงข้อมูลที่ 2 ระดับความลึกได้แก่ ผิวน้ำ (4 เมตร) และ ที่ระดับที่มีค่าฟลูออเรสเซนซ์สูงสุด (Fluorescence maximum: FM)



รูปที่ 3.33 ตำแหน่งของสถานีเก็บตัวอย่างบนแนวสำรวจ 2 (L2)

ความหนาแน่นแพลงก์ตอนพืช (เซลล์, สาต่อลิตร)



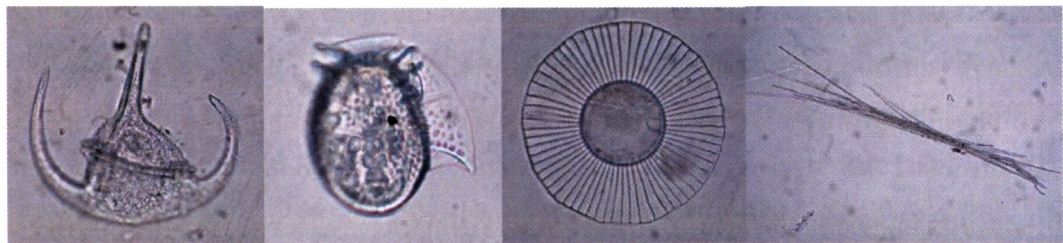
รูปที่ 3.34 ความหนาแน่นของแพลงก์ตอนพืชเดือนมีนาคม 2551 บนแนวสำรวจ L2 เปรียบเทียบ 3 Divisions.

ตารางที่ 3.6 ความหนาแน่น (เซลล์หรือสาต่อลิตร) / ของแพลงก์ตอนพืชบนแนวสำรวจ L2 เดือนกุมภาพันธ์ 2551

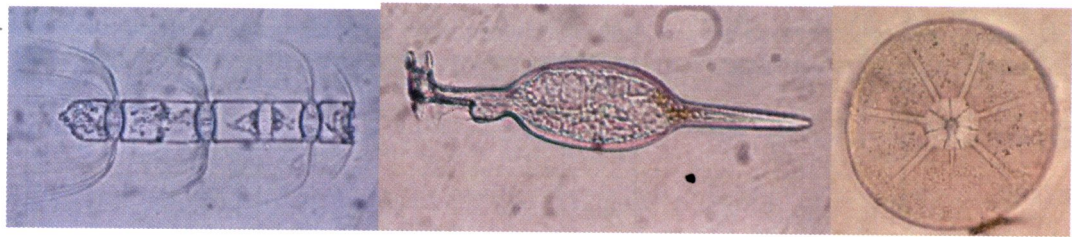
Station	Depth	Cyanophyta	Heterokontophyta	Dinophyta	Total density
L2-01	4 m	73	2,727	116	2,916
	30 m	88	3,354	79	3,521
L2-03	4 m	112	1,340	48	1,500
	40 m	21	2,176	42	2,239
L2-05	4 m	149	974	102	1,225
	25 m	102	1,060	72	1,234
L2-07	4 m	29	706	47	782
	25 m	27	438	70	535
L2-09	4 m	37	368	45	450
	35 m	22	962	60	1,044
L2-11	4 m	38	338	64	440
	20 m	43	885	57	985
L2-15	4 m	35	1,674	100	1,809
	50 m	33	1,096	55	1,184

Station	Depth	Cyanophyta	Heterokontophyta	Dinophyta	Total density
L2-17	4 m	8	634	36	678
	50 m	13	824	44	881
L2-18	4 m	47	1,353	60	1,460
	40 m	39	924	49	1,012
L2-21	4 m	349	28	57	434
	30 m	62	148	41	251
L2-23	4 m	474	23	49	546
	30 m	603	37	68	708

ความหลากหลายของแพลงก์ตอนพืช มีความแตกต่างกันในแต่ละ Division ดังนี้ คือ 1) Division Cyanophyta (สาหร่ายสีเขียวแกมน้ำเงิน) พบรอย่างน้อย 1 ชนิด จาก 1 สกุล คือ *Trichodesmium* spp (= *Oscillatoria* spp) เป็นชนิดที่เซลล์อยู่ต่อ กันเป็นสายและสายอยู่ร่วมกับเป็นแพหรือเป็นกระจุก 2) Division Heterokontophyta (ไดอะตوم) พบรอย่างน้อย 58 ชนิดจาก 41 สกุล ใน 19 วงศ์ 3) Division Dinophyta (ไดโนแฟลกเจลเลท) พบรอย่างน้อย 74 ชนิดจาก 28 สกุล ใน 18 วงศ์ ความหนาแน่นรวมของแพลงก์ตอนพืชใน Division Heterokontophyta มีปริมาณมากในบริเวณใกล้แพ่น้ำ แต่ใน Division Dinophyta ต่ำมากในสถานีนอกฝั่ง (สถานี 21 และ 23) เมื่อเปรียบเทียบตัวอย่างที่น้ำระดับผิวน้ำกับระดับ FM ไม่พบว่ามีความแตกต่างที่เด่นชัด ทั้งนี้อาจเนื่องจากระดับ FM จากการเก็บตัวอย่างในครั้งนี้เป็นการประมาณค่าจากการอ่านจากเครื่อง CTD ก่อนการเก็บตัวอย่างจริง และทั้ง 2 ระดับก็ยังจัดเป็นมวลน้ำที่อยู่ชั้นผิวน้ำที่มีการผสมผสานของมวลน้ำดี อีกประการหนึ่งการวิเคราะห์รูปแบบของการแพร่กระจายและความหนาแน่นหากแยกพิจารณาที่ระดับชนิดหรือสกุลอาจมีความซับซ้อนมากขึ้น



Ceratium breve, Dinophysis recurva, Planktoniella sol, Oscillatoria erythraea



*Bacteriastrum comosum,
roperianus*

Amphisolenia inflata,

Asteromlampra

รูปที่ 3.35 ตัวออย่างภาพแพลงก์ตอนพืชที่พบในการเก็บตัวออย่างบนแนวสำรวจ 2 (L2)

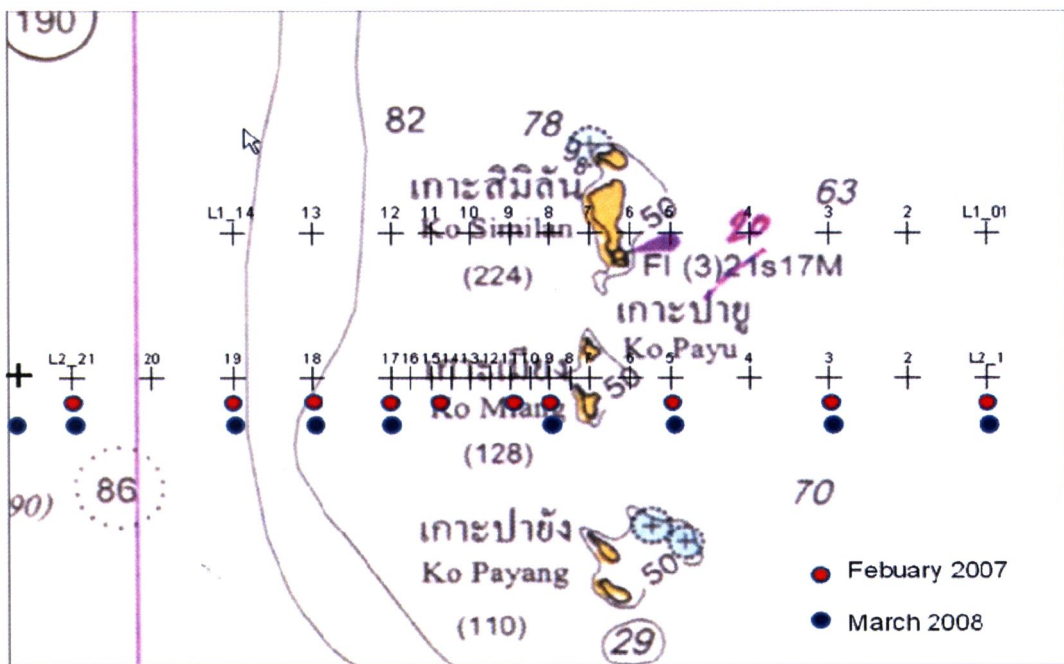
- ลูกปลาวยอ่อน

การจำแนกตัวออย่างปลาวยอ่อนสามารถจำแนกได้เพียงระดับวงศ์ (Family level) โดยใช้องค์ความรู้จาก การศึกษาของ Ahlstrom (1984), Ozawa (1986), Nishikawa and Rimmer (1987), Okiyama (1988), Neira *et al.* (1998), Leis and Carson (2000) และ Miller and Tsukamoto (2004) สำหรับวิเคราะห์เชิงพัฒนาณภาพนอก ซึ่งประกอบด้วย รูปร่างของลำตัว (Morphometric characters) ตำแหน่งและที่ตั้งของโครงสร้างส่วนต่างๆ ที่ปรากฏบนลำตัว นับจำนวนก้านครีบ มัดกล้ามเนื้อ การเกิดจุดสี (Meristic characters) และนำข้อมูลที่ได้จากการ วิเคราะห์ความแตกต่างของลักษณะในระดับวงศ์ทั้งหมดมาพิจารณา ร่วมกับองค์ประกอบชนิดของปลาขนาด ในลูกรุ่นหรือตัวเต็มวัยที่รายงานในทะเบียน datum และพืนที่ใกล้เคียงงานการศึกษาของ Carpenter (1991), Chantawong (1996), Satapoomin and Poovachiranon, (1997), Nootmorn *et al.* (2002), Matsuura and Kimura (2005), กรมทรัพยากรทางทะเลและชายฝั่ง (2549), อุகุฤต (2550) สำหรับชนิดที่อยู่ในกลุ่มทะเบียนอ่าวเบงกอล (Sivasubramaniam, 1985; Nishida and Sivasubramaniam, 1986), Kimura *et al.* (2009) นอกจากนี้ พิจารณาจากวงศ์ปลาวยอ่อนที่มีรายงานการจำแนกของ Janekarn and Kiethoe (1991), Janekarn (1993), Puewkhao *et al.* (2000) ผลการวิเคราะห์ข้อมูลลูกปลาวยอ่อนเที่ยวสำรวจมีนาคม 2551 แล้วเสร็จโดยแสดง ข้อมูลโดยสรุปจากการเก็บตัวออย่างจากลูง BONGO-500, BONGO-1000, และ Neuston Net-1000 ดังตารางที่ 3.7

นอกจากนี้ ได้ทำการวิเคราะห์ข้อมูลลูกปลาวยอ่อนจากเที่ยวสำรวจในเดือนกุมภาพันธ์ 2550 ได้ผลโดย สรุปดังนี้

ความหลากหลายของปลาวยอ่อน ปลาวยอ่อนที่รวมทั้งหมดได้จากทุกสถานีรวมทั้งหมดมีจำนวน 4,769 ตัวออย่าง 61 วงศ์ (ตารางที่ 3.8) โดยแบ่งประเภทอ้างอิงตามถิ่นที่อยู่อาศัยของปลาตัวโตเต็มวัย ประกอบด้วย กลุ่ม ปลาผิวน้ำวัยอ่อน 56.44 % และกลุ่มปลาหน้าดินวัยอ่อน 43.56 % ปลาวยอ่อนที่รวมผู้อพยพในกลุ่มปลาทู-ลัง

ปลาโอ และปลาอินทรีวงศ์ Scombridae มีสัดส่วนจำนวนมากที่สุด 24.58 % ส่วนวงศ์ที่มีสัดส่วนจำนวนมากรองลงมาได้แก่ ปลาเรืองแสงวงศ์ (Myctophidae) 9.83 % ปลากรูเราเคราะวงศ์ Bregmacerotidae 8.66 % และปลากระพงวงศ์ Lutjanidae 8.35 % ของปลาข้ออ่อนทั้งหมดภายในประชากม



รูปที่ 3.36 ที่ตั้งของสถานีเก็บตัวอย่างบนแนวสำรวจ 1 (L1) และ 2 (L2) บริเวณเกาะเมียง (เกาะสี)

ในกลุ่มปลาข้ออ่อนวงที่อาศัยอยู่ในทะเลลึกมีสัดส่วนจำนวนมากเป็นกลุ่มหลักของปลาที่รวมรวมได้ทั้งหมด 57.20 % ด้วยปลาข้ออ่อนวงวงศ์ Myctophidae, Gonostomatidae, และ Melanostomatidae 6 % โดยกลุ่มที่มีการอพยพซึ่งประกอบด้วยปลาข้ออ่อนวงวงศ์ Scombridae (ปลาทู ปลาโอ ปลาอินทรี) และวงศ์ Gempylidae (ปลาดาบลาว) รวมกัน 45 % เป็นกลุ่มเด่น ส่วนวงศ์กลุ่มปลาที่อาศัยอยู่บริเวณชายฝั่งพบ 42.80 % จากตัวอย่างทั้งหมด ยกตัวอย่าง เช่น ปลาข้ออ่อนวงวงศ์ปลาญี่ (Gobiidae), ปลาสลิดหิน (Pomacentridae) และปลาซีกเดียว (Bothidae) ปลาข้ออ่อน 5 วงศ์ที่พบได้ทั่วไปได้แก่ วงศ์ Scombridae, Myctophidae, Lutjanidae, ปลากรูเราเคราะวงศ์ Bregmacerotidae และวงศ์ Bothidae รวมกันทั้งหมดมากกว่า 50 % ของจำนวนปลาข้ออ่อนที่รวมรวมได้ในช่วงการศึกษา (ตารางที่ 1) วงศ์ที่มีตัวอย่างประกอบด้วย 14 วงศ์ ในปลาข้ออ่อนอันดับ Perciform เป็นกลุ่มเด่น 66 % และอันดับ Pleuronectiform, Clupeiform, Gadiform มีค่าเท่ากับ 6 %, 4% และ 1 % ตามลำดับ

จากการวิเคราะห์ความหลากหลายภายในประชากรมปลาทั้งหมดในบริเวณใกล้ฝั่งหมู่เกาะสิมิลันมีค่าดัชนีความหลากหลายชนิด (H') มีค่าเท่ากับ 0.80-1.17 ค่าดัชนีความชุกชุม (d) 8.18-12.18 และค่าดัชนีความสม่ำเสมอ (J') 0.45-0.65 โดยค่าเฉลี่ยดัชนีความหลากหลาย ณ จุดสำรวจมีค่ามากที่สุดนี้ใกล้ฝั่ง (L2-1 ถึง L2-5) 65 และ 4.696 ที่จุดสำรวจออกฝั่ง (L2-17 ถึง L2-21)

การแพร่กระจายของประชากรมปลาทั้งหมด การแพร่กระจายของปลาทั้งหมดพิจารณาจากความหนาแน่นของจำนวนตัวอย่างที่พบ ซึ่งในทุกเส้นแนวเก็บตัวอย่างมีรูปแบบการแพร่กระจายที่ครอบคลุมตลอดทุกแนวเมื่อพิจารณาจากจำนวนในแต่ละจุดเก็บตัวอย่าง โดยจุดเก็บตัวอย่างทางด้านตะวันตกของเกาะการแพร่กระจายครอบคลุมกว่าด้านตะวันออก ซึ่งในกลุ่มปลาทั้งหมดที่ฟักออกจากไอลอย (Pelagic egg) พบรอยalty จำนวนมากที่สุด (ตารางที่ 3.8) โดยในเส้นแนวสำรวจที่ 1 (L1) จำนวนตัวปลาทั้งหมดมีค่ารวม 2,700 ตัว/ พื้นที่ 100 ตารางเมตร พบมากที่สุดที่จุดเก็บตัวอย่าง L1-11 จำนวน 500 ตัว/ พื้นที่ 100 ตารางเมตร พบน้อยที่สุดในจุดเก็บตัวอย่าง L1-1 จำนวน 200 ตัว/ พื้นที่ 100 ตารางเมตร และมีค่าเฉลี่ยในจุดเก็บตัวอย่างตลอดแนวสำรวจ 17 ตัว/ พื้นที่ 100 ตารางเมตร (รูปที่ 3.37A) สำหรับในเส้นแนวสำรวจที่ 2 (L2) พบรอยalty จำนวนมากที่ส่วนใหญ่ในจุดเก็บตัวอย่าง L2-3 จำนวน 4 ตัว/ พื้นที่ 100 ตารางเมตร และมีค่าเฉลี่ยในจำนวนที่พบทั้งหมดในแนวสำรวจ 54 ตัว/ พื้นที่ 100 ตารางเมตร (รูปที่ 3.37B) ปลาทั้งหมดที่พบได้ทุกจุดสำรวจได้แก่ วงศ์ Scombridae, Myctophidae, Lutjanidae, Bregmacerotidae และปลาชีกเดียววงศ์ Bothidae

ตารางที่ 3.7 ข้อมูลสรุปจำนวนรวมของตัวอย่างและวงศ์ลูกปลาวยอ่อนที่ได้จากการเก็บตัวอย่างเดือนมีนาคม 2551 บนแนวสำรวจ L2 เก็บตัวอย่างโดยใช้ Bongo Net ขนาดตา 1000 ไมครอน (BN-1000) 500 ไมครอน (BN-500) และ Neuston Net ขนาดตา 1000 ไมครอน (NN-1000)

Transect-Station		Gear-mesh size		
		BN-1000	BN-500	NN-1000
L2-1	Total Specimens	67	219	137
	Total Families	24	25	19
L2-3	Total Specimens	65	215	19
	Total Families	17	29	7
L2-5	Total Specimens	121	342	10
	Total Families	15	29	5
L2-9	Total Specimens	269	507	156
	Total Families	37	33	25
L2-17	Total Specimens	712	621	105
	Total Families	38	36	13
L2-18	Total Specimens	48	357	30
	Total Families	17	357	8
L2-19	Total Specimens	46	572	146
	Total Families	16	40	16
L2-21	Total Specimens	58	0	6
	Total Families	19	0	2
L2-23	Total Specimens	60	166	0
	Total Families	12	25	0

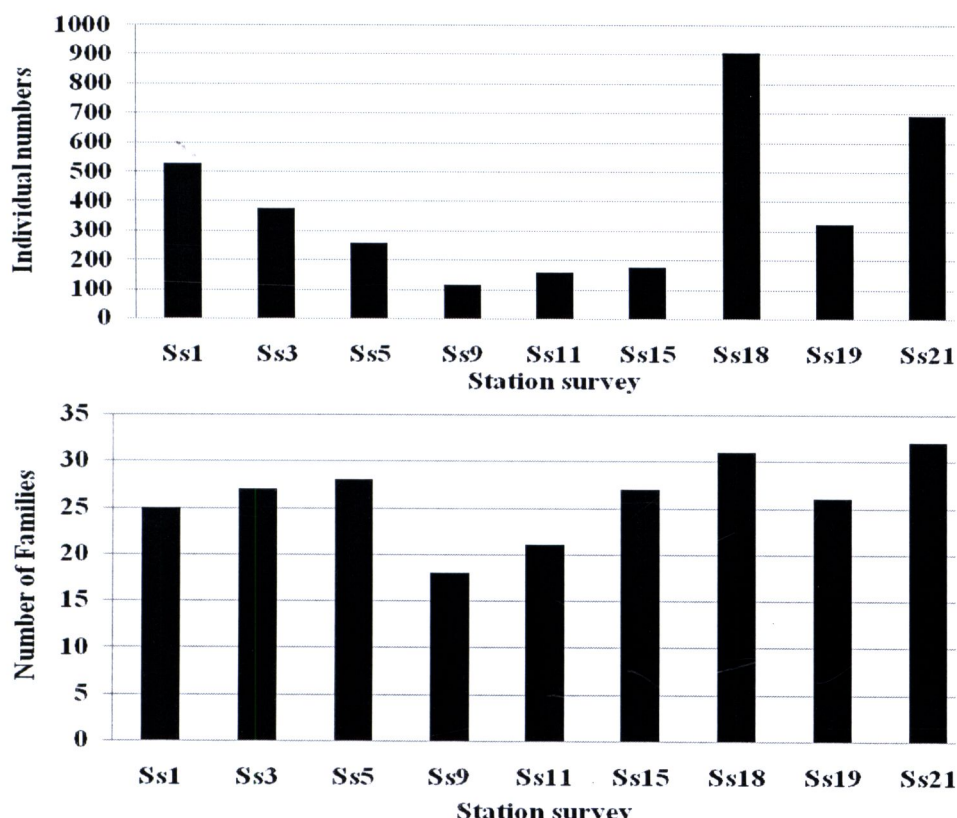
ตารางที่ 3.8 รายชื่อวงศ์ปลาวยอ่อนที่จำแนก (Larval fish families of the identity), จำนวนตัวอย่างรวมทั้งหมดของแต่ละวงศ์ (Total numbers, Tn) และเปอร์เซ็นต์ของความชุกชุม (Abundance percentages, A %) ภายในประชาคมที่สำรวจพบบริเวณหมู่เกาะสิมิลัน เที่ยวสำรวจมีนคม 2550

Larval fish families	Tn-07	A %	Larval fish families	Tn-07	A %
Acanthuridae ^D	8	0.17	Lutjanidae ^D	398	8.35
Acropomatidae ^D	5	0.10	Melanostomiidae ^{MP}	2	0.04
Ammodytidae ^D	1	0.02	Microdesmidae ^D	19	0.40
Apogonidae ^D	93	1.95	Moridae ^D	3	0.06
Astronesthidae ^{MP}	34	0.71	Muraenidae ^D	4	0.08
Blenniidae ^D	16	0.34	Myctophidae ^{MP}	469	9.83
Bothidae ^D	354	7.42	Nattastomatidae ^D	2	0.04
Bramidae ^{MP}	10	0.21	Neoscopelidae ^{MP}	1	0.02
Bregmacerotidae ^{MP}	413	8.66	Nomeidae ^{EP}	178	3.73
Bythitidae ^D	1	0.02	Ophichthidae ^D	88	1.85
Caproidae ^D	2	0.04	Ophidiidae ^D	33	0.69
Carangidae ^D	161	3.38	Paralepididae ^{MP}	45	0.94
Carapidae ^D	2	0.04	Percophidae ^D	1	0.02
Champsodontidae ^D	75	1.57	Phosichthyidae ^{MP}	5	0.10
Chlorophthalmidae ^D	16	0.34	Platycephalidae ^D	4	0.08
Congridae ^D	77	1.61	Pomacanthidae ^D	3	0.06
Coryphaenidae ^P	8	0.17	Pomacentridae ^D	13	0.27
Cynoglossidae ^D	9	0.19	Priacanthidae ^D	170	3.56
Dactylopteridae ^D	33	0.69	Samaridae ^D	3	0.06
Diodontidae ^D	1	0.02	Scombridae ^{EP}	1172	24.58
Engraulidae ^{EP}	16	0.34	Scorpaenidae ^D	49	1.03
Exocoetidae ^P	1	0.02	Serranidae ^D	135	2.83
Fistulariidae ^D	3	0.06	Sphyraenidae ^D	17	0.36
Gempylidae ^{MP}	20	0.42	Stomiidae ^{MP}	3	0.06

Larval fish families	Tn-07	A %	Larval fish families	Tn-07	A %
Gobiidae ^D	78	1.64	Synodontidae ^D	103	2.16
Gonostomatidae ^{MP}	222	4.66	Teraponidae ^D	1	0.02
Hemirhamphidae ^{EP}	7	0.15	Tetraodontidae ^D	2	0.04
Holocentridae ^D	5	0.10	Trichiuridae ^D	7	0.15
Labridae ^D	6	0.13	Triglidae ^D	2	0.04
Leiognathidae ^D	1	0.02	Xenocongridae ^D	5	0.10
Lethrinidae ^D	2	0.04	Unidentified	152	3.19

Total families-L1 =45, Total families-L2=56

หมายเหตุ * ปลาวยอ่อนแบ่งแยกกลุ่มอ้างอิงตามอื่นที่อยู่อาศัยของกลุ่มปลาโดยเดิมวัยจากการจัดกลุ่มของ Carpenter and Niem (1999): การแพร่กระจายในแนวคั่ง D= ปลาหน้าดินหรือพื้นดินท้องทะเล (Demersal fish); P= ปลาผิวน้ำ (Pelagic fish); EP= ปลา (Epipelagic fish); MP= ปลากลางน้ำ (Mesopelagic fish) และในแนวระนาบ



รูปที่ 3.37 a) จำนวนตัวอย่าง และ b) จำนวนวงศ์ภายในประชากรมปลาวยอ่อนบนแนวสำรวจ L2 บริเวณหมู่เกาะสิมิลัน เดือนกุมภาพันธ์ 2550

ตารางที่ 3.9 เปรียบเทียบความหลากหลาย (วงศ์) ของปลาวัยอ่อนในแนวสำรวจบริเวณหมู่เกาะสิมิลัน กับพื้นที่อื่น ๆ ในฝั่งทะเลอันดามัน

พื้นที่ศึกษา	จำนวนวงศ์ทั้งหมด	วงศ์เด่น	ที่มา
- ป้าชาญเลนด้านตะวันออกของเกาะภูเก็ต	44	Gobiidae	Janekarn and Boonroung (1986)
- ฝั่งตะวันตกของเกาะภูเก็ต	99	Gobiidae	วุฒิชัย (2535)
- อ่าวพังงา	39	Carangidae	ไพรeras (2537)
- อ่าวพังงา	50+Leptocephalus	Sciaenidae	Janekarn and Kiørboe (1991a)
- ตลอดแนวชายฝั่งอันดามัน	69+Leptocephalus	Carangidae	Janekarn and Kiørboe (1991b)
- เกาะอาทิตย์ร่วี	48+Leptocephalus	Engraulidae	ไก่ฤทธิ์ และคณะ (2000)
- ป้าชาญเลนคลองหงาว จังหวัดระนอง	37	Gobiidae	สุพิชญา (2545)
- แนวตั้งผ่านลาดทวีปและไหหลำ	109	Bothidae	Munk et al. (2004)
- หมู่เกาะสิมิลัน	61	Scombridae	พื้นที่ศึกษา

การศึกษารังนี้แสดงให้เห็นว่า การแพร่กระจายและความหลากหลายของประชาชุมปลาวัยอ่อน โดยรูปแบบมีความแตกต่างอย่างชัดเจนระหว่างจุดสำรวจ แต่ไม่แตกต่างเมื่อพิจารณาเปรียบเทียบระหว่างแนวเส้นสำรวจ ซึ่งความแตกต่างของจำนวนวงศ์รวมที่พบในประชาชุมมีความหลากหลายมาก และเมื่อพิจารณาแยกประเภทตามถิ่นที่อยู่อาศัยของวงศ์ปลาตัวเต็มวัยในบริเวณนี้ ส่วนใหญ่ของวงศ์ที่อาศัยอยู่จำเพาะในแนวปะการัง มีมากกว่าหากนำมาเปรียบเทียบในพื้นที่อื่นๆ ของชายฝั่งทะเลอันดามัน (ตารางที่ 3.9) ประชาชุมปลาวัยอ่อนในชายฝั่งทะเลอันดามันมีช่วงเวลาและสถานที่พน (Spatial and temporal) ในช่วงเดือนตุลาคมถึงมกราคม ที่มีความหลากหลายของวงศ์มากกว่า เมื่อเปรียบเทียบกับการสำรวจในพื้นที่อื่นๆ ของชายฝั่งทะเลอันดามัน (ตารางที่ 3.9) ยกเว้นบริเวณตะวันตกเฉียงใต้ของเกาะภูเก็ต วุฒิชัย (2535) ที่มีจุดสำรวจที่มากและครอบคลุมกว่า องค์ประกอบวงศ์ของประชาชุมปลาวัยอ่อนสามารถดำเนินการเชื่อมโยงในการอธิบายการเกิดมวลน้ำ (Cowen, 2002) และที่อยู่



อาศัย (Leis, 1993) ในบริเวณไกล์ฝั่งของหมู่เกาะสิมิลันประชาคมปลาวัยอ่อนนี้เป็นการผสมกันระหว่างวงศ์ปลาชัยฝั่ง ตัวอย่างเช่น วงศ์ Carangidae และปลาทะเลลึกลักษณะ Myctophidae เป็นต้น แต่กลุ่มเด่นของวงศ์ปลาหน้าดินชายฝั่ง ได้แก่ วงศ์ Gobiidae, Pomacentridae และปลาอมไข่วงศ์ Apogonidae เป็นต้น เช่นเดียวกับการศึกษาของ วุฒิชัย (2535)

ช่วงเวลาและรูปแบบของสถานที่พน (Spatial and temporal patterns): รูปแบบประชาคอมปลาวัยอ่อนในแนวเส้นตัดผ่านไกล์ฝั่งของเกาะพบเนบานง ตัวอย่างเช่น วงศ์ Monacanthidae เป็นต้น ซึ่งพบชุกชุมมากที่จุดไกล์ฝั่ง และวงศ์ Scombridae, Myctophidae พบรูปแบบชุกชุมมากที่จุดนอกฝั่ง เช่นเดียวกับผลการวิเคราะห์ที่มีทิศทางไปยังวงศ์ปลาภายในกลุ่มประชาคอมในเขตที่แสงส่องถึง (Neritic) ในการเปรียบเทียบความแตกต่างการเปลี่ยนแปลงในประชาคอมในแนวเส้นตัดผ่านไกล์ฝั่งมีอิทธิพลและสอดคล้องเป็นรูปแบบเดียวกันที่พนของการศึกษาอื่นๆ ทั้งจากน่านน้ำเขตตอนอุ่น (Cowen, 1993) และเขตหนาว (Thorold and Williams, 1996) ซึ่งรูปแบบการจัดกลุ่มประชาคอมสัตว์ที่อาศัยอยู่ในเขตที่แสงส่องถึง (Neritic) ภายในช่วงชายฝั่งทะเล และไกล์ฝั่ง (Sanvicente-Anorve et al., 1998; Nonaka et al., 2000) เมื่อเปรียบเทียบกับผลการศึกษาริ้นนี้มีความเป็นไปได้มากว่าการเก็บตัวอย่าง มีขอบเขตที่จำกัดมาก และองค์ประกอบของวงศ์ของตัวอย่างที่อยู่ภายใต้ในแนวเส้นตัดผ่านบริเวณที่ลึกมีความคลาดเคลื่อน โดยเฉพาะจุดที่ลึกไกล์ฝั่ง ความสัมพันธ์องค์ประกอบของวงศ์และความชุกชุมของประชาคอมกับการเปลี่ยนแปลงฤดูกาลเป็นลักษณะเหมือนกันทั่วไปในชายฝั่งทะเลอันดามัน (Leis, 1993) ซึ่งจากการเก็บตัวอย่าง ในช่วงระยะเวลาของการศึกษาริ้นนี้มีความหลากหลายเพิ่มขึ้น และมีความชุกชุมเฉลี่ยมากที่จุดไกล์ฝั่งออกไป สังเกตได้จากการเปลี่ยนแปลงในองค์ประกอบของประชาคอม จากในจุด ลึกลึกไกล์ฝั่ง ซึ่งตัวอย่างการเปลี่ยนแปลงของประชาคอมแพลงก์ตอนปลายในส่วนของไทร์ทวีปมีความชุกชุมที่เพิ่มขึ้นในช่วงระหว่างจุดดังกล่าว เช่นเดียวกับรายงานที่พนในบริเวณไกล์ฝั่งด้านตะวันตกของเกาะภูเก็ต ปลาน้ำดินชายฝั่งทะเลขนาดเล็กเป็นกลุ่มที่พนบ่ออยริ้ง ประชาคอมแพลงก์ตอนปลายกลุ่มเด่นที่พนมากที่ไทร์ทวีป (Continental shelf) ตัวอย่างเช่น ปลาอ่อนน้ำดันดับ Pleuronectiforms, วงศ์ Gobiidae, วงศ์ Apogonidae หรือไกล์แนวปะการัง เช่นวงศ์ Gobiidae, Apogonidae, Pomacentridae ขณะที่วงศ์เด่นที่พัดพามากับมวลน้ำจากมหาสมุทรเป็นวงศ์ Myctophidae และ Gonostomatidae (วุฒิชัย, 2535) รายงานที่แสดงในตารางที่ 3.8 ใช้วิธีการรวมตัวอย่างหลากหลายแตกต่าง กันซึ่งเป็นอิทธิพลที่มีความสำคัญต่อการจำแนกองค์ประกอบของวงศ์ในประชาคอมที่เก็บถึงความแตกต่างในขนาด เส้นผ่านศูนย์กลางปากและขนาดตัวอ่อนของถุงลากแพลงก์ตอน ความเร็วในการลาก และปัญหาที่เกิดกับถุงลาก (Young et al., 1986; Choat et al., 1993) เมื่อว่าการไทร์ทวีปสามารถค่อนข้างสูงเป็นรูปแบบเดียวกันในองค์ประกอบปลา วัยอ่อนที่จับของการศึกษาในตารางที่ 3.8 ซึ่งเป็นรูปแบบโดยทั่วไปในทิศทางเดียวกันของประชาคอมปลาวัยอ่อน ของหมู่เกาะเขตหนาว (วุฒิชัย, 2535)

ภายใต้กระบวนการเปลี่ยนแปลงภายในฤดูกาล (Intra-seasonal changes) ที่มีความแตกต่างในเรื่องของปัจจัยสิ่งแวดล้อม ในความชุกชุมของปลาวัยอ่อนสามารถจะทราบการวางไข่ของปลาตัวโตเดื่มน้ำ ความแตกต่างการรอดตายของตัวอ่อน หรือกระบวนการที่เกิดขึ้นตามธรรมชาติ (Heath, 1992) แม้ว่าไม่ได้มีการรวบรวม ตัวอย่างความรู้รูปแบบการวางไข่ในบริเวณหมู่เกาะสิมิลัน แต่ส่วนของเดือนในช่วงฤดูร้อน และพฤติกรรมการสืบพันธุ์จะมีสูงที่บางจุดของช่วงเวลาอีก เป็นการเพิ่มความหลากหลายและความชุกชุมในช่วงดังกล่าว (Thresher, 1984; Cowen *et al.*, 1993) อย่างไรก็ตามไม่น่าจะเป็นไปได้ในการใช้ปัจจัยดังกล่าวนี้เพียงอย่างเดียวในการประเมินความชุกชุม ซึ่งรูปแบบการหมุนเวียนของกระแสน้ำบริเวณหมู่เกาะสิมิลันจะมีการเปลี่ยนแปลงในช่วงฤดูร้อน เนื่องมาจากผลของการพัฒนาต่ออาหารมากับมวลน้ำที่ยกตัวขึ้นสู่ผิวน้ำบริเวณไหหลีปทำให้มีการเปลี่ยนแปลงผลผลิตเบื้องต้นเพิ่มขึ้น (Highly primary productivity) ในช่วงฤดูร้อน (ุณิชัย, 2534; 2535; McKinnon and Duggan, 2001; Meekan *et al.*, 2003) ในการเพิ่มขึ้นของผลผลิตเบื้องต้นอาจจะสนับสนุนสภาพแหน่งในการกินอาหาร การเจริญเติบโต และการรอดตายที่ช่วยเสริมระบบการวางไข่ แม้ว่ามีการเปลี่ยนแปลงองค์ประกอบของประชากรมแพลงก์ตอนปาน้อยในระหว่างฤดูร้อน การประเมินการเปลี่ยนแปลงความชุกชุมบางส่วนของประภากลางศึกษาที่พบในวงศ์ Pomacentridae นั้นที่แตกต่างกันชัดเจนในการจับได้มากในฤดูร้อนครั้งที่สองกว่าครั้งแรก ในขณะที่วงศ์อื่นๆ เช่นวงศ์ Carangidae แสดงตรงกันข้าม ในแต่ละฤดูร้อนมีลักษณะสภาพที่แตกต่างกันมาก และการเปลี่ยนแปลงในชีวภาพของสิ่งแวดล้อม (Biophysical environmental) น่าจะเป็นอิทธิพลชัดเจนต่อการกินอาหาร การเจริญเติบโต และสุดท้ายการรอดตายของตัวอ่อน อาจจะอธิบายความแตกต่างความชุกชุมขององค์ประกอบของศึกษาครั้งนี้ในระหว่างปี การศึกษาในหนังสือญี่ปุ่นบางเล่มนั้นแสดงให้เห็นในกรณี Meekan *et al.* (2003) ใช้กับตัวอย่างในเวลากลางวันในการรวบรวมตัวอย่างปลาสีฟ้า (*Pomacentrus coelestis*) วัยอ่อนระยะหลังในบริเวณแหลมตะวันตกเนียงหนែซึ่งมีปรากฏ บางเดือนในการศึกษา เมื่อกับการศึกษานี้ที่มีปลาวงศ์นี้จับได้มากในการรวบรวมครั้งที่สองของฤดูร้อน (1,483 ตัว) กว่าครั้งแรก (197 ตัว)

โดยทั่วไประยะวัยอ่อนของปลากระดูกแข็ง (Teleost larvae) ที่ฟักจากไข่ที่ลอยจะได้รับอิทธิพลจากสิ่งแวดล้อมโดยตรง ซึ่งมีอัตราการตายและมีการเปลี่ยนแปลงในธรรมชาติสูง ทั้งการเปลี่ยนแปลงองค์ประกอบชนิด (Taxonomic) และการเปลี่ยนแปลงจำนวนภายในกลุ่มประชากร (Individual variability of assemblages) ขณะที่ 2 ปัจจัยหลักสำคัญที่มีความสัมพันธ์ระหว่างกันคือ ปัจจัยภายนอกที่เกิดจากการเปลี่ยนแปลงของสภาพแวดล้อมได้แก่ การเปลี่ยนแปลงทางเคมีและทางกายภาพของน้ำทะเลในแต่ละฤดูกาล, ความแตกต่างในลักษณะของสภาพพื้นที่ ซึ่งความสัมพันธ์ของการเกิดจากปัจจัยต่างๆ ทั้งหมดนี้ ประชากรปลาวัยอ่อนมีช่วงเวลาและสถานที่พับแตกต่างกัน เช่น การเปลี่ยนแปลงในองค์ประกอบชนิดและความชุกชุมที่พบในแนวระนาบและแนวคี่ ณ ช่วงเวลาหนึ่งในฤดูกาล (Leis, 1991) โดยมีหลายกระบวนการที่ช่วยสนับสนุนถึงการเปลี่ยนแปลง

ดังกล่าวนี้ เช่น รูปแบบพื้นฐานของการแพร่กระจายของไไ่และตัวอ่อนหลังจากฟักเกิดจากการล่องลอยโดยมีปัจจัยการไหลของกระแสน้ำเป็นตัวกำหนดทิศทางในการเคลื่อนย้ายสถานที่ ซึ่งปลาวัยอ่อนที่ฟักออกจากไไ่จะไปในน่านน้ำใกล้ฝั่งระยะห่างน้อยกว่า 30 กิโลเมตร เนื่องจากไไ่จะมีการล่องลอยน้ำค่อนข้างมากเนื่องจากการยึดติดโดยโครงสร้างเฉพาะของไไ่ ยกเว้นในกรณีช่วงที่มีกระแสน้ำไหลเขียวผ่านพื้นที่วางไไ่ส่งผลให้ไไ่เกิดความเสียหายและเกิดการตาย ตามธรรมชาติแล้วพอเมื่อจะเลือกถูกการและสถานที่ที่เหมาะสมในการวางไไ่ ส่วนมากในกลุ่มไไ่จมน้ำจะเป็นกลุ่มที่ได้รับการคุ้มครอง (Leis, 1991) ในทางตรงกันข้ามชนิดที่เป็นไไ่ลอดจะแพร่กระจายในมวลน้ำ โดยมีปัจจัยของกระแสลม การขึ้นลงของน้ำ และการหมุนเวียนของกระแสน้ำ การเคลื่อนที่ของมวลน้ำ (Local hydrodynamic) มีความเกี่ยวข้องกับการแพร่กระจายของประชาชุมปลาวัยอ่อน (Frank et al., 1992; Sabates and Maso, 1992) และมีความสัมพันธ์โดยตรงต่อการทดสอบที่ในกระบวนการเกิดของปัจจัยสิ่งแวดล้อมการทางกายภาพ (Physical process) (Jenkins, 1997) โดยกำหนดทิศทางในการเคลื่อนที่ล่องลอยในขณะดำรงชีวิต การเปลี่ยนแปลงภายในกลุ่มประชาชุมปลาวัยอ่อนมีความสัมพันธ์กับการเปลี่ยนแปลงทิศทางการไหลของมวลน้ำ ซึ่งการเคลื่อนที่ตามธรรมชาติในชายฝั่งที่ติดต่อกับทะเลเปิดเป็นตัวอย่างแสดงให้เห็นผลกระทบจากการแพร่กระจายถึงการเดินทางหรือเคลื่อนที่ของประชาชุมปลาวัยอ่อน ซึ่งมีอิทธิพลต่อการเคลื่อนที่ ประชาชุมปลาวัยอ่อนของทะเลด้านบนมีการศึกษาลดแนวชายฝั่ง (Janekarn and Kiørboe, 1991b) บริเวณไไ่หลังวีป (วุฒิชัย, 2535; Munk et al., 2004) อ่าว (ไฟเราะ, 2537; Janekarn and Kiørboe, 1991a) และบริเวณหมู่เกาะทางตอนล่างของพื้นที่ (ไกทุลและคณะ, 2543) แสดงคุณสมบัติหรือเป็นลักษณะเฉพาะมีความหลากหลายสูงมากกว่า 132 วงศ์ และประชาชุมจำนวนมากมีการเปลี่ยนแปลงทั้งในช่วงระยะเวลาสั้นและระยะเวลา ซึ่งผลเกิดจากการผลักดันของกระแสลมในมหาสมุทรเปลี่ยนแปลงให้กระแสน้ำที่ผิวและส่วนลึกของน้ำที่อยู่บนไไ่หลังวีปไไ่เขียวเข้มสูงในบริเวณ (วุฒิชัย, 2535) ลักษณะการไหลของมวลน้ำเชื่อมโยงถึงโครงสร้างของสถานที่พับประชาชุมปลาวัยอ่อน ประกอบด้วยรูปแบบการแพร่กระจาย โดยการพิจารณากระบวนการทางกายภาพจะแสดงถึงการรวมกลุ่มของประชาชุมปลาวัยอ่อน ประกอบด้วยรูปแบบการแพร่กระจาย โดยการพิจารณากระบวนการทางกายภาพจะแสดงถึงการรวมตัวเป็นกลุ่มเข้ามาจุดเดียวกัน และการเคลื่อนย้าย นอกจากนี้การพิจารณาช่วงเวลาของการสืบพันธุ์และพื้นที่วางไไ่ซึ่งความสัมพันธ์มีลักษณะเฉพาะทางกายภาพแตกต่างกัน การสำรวจรูปแบบการแพร่กระจายของปลาวัยอ่อน และการเคลื่อนที่ในพื้นที่ไไ่หลังวีปแสดงถึงความสัมพันธ์กับกระบวนการทางกายภาพเกี่ยวกับการไหลของมวลน้ำที่ผิวน้ำ ซึ่งแสดงให้เห็นจริง การศึกษาส่วนใหญ่เชื่อมโยงระหว่างการไหลของน้ำที่ส่วนหน้าและระบบนิเวศของปลาวัยอ่อน ในการเชื่อมโยงกันระหว่างการเคลื่อนที่ของมวลน้ำและชีวิทยาในพื้นที่น้ำ กระแสน้ำน้ำไไ่ไปในระหว่างพื้นที่ไไ่หลังวีป มวลน้ำชายฝั่งจะไหลออกไปนอกฝั่งทำให้มีการเปลี่ยนแปลงในประชาชุมปลาวัยอ่อน โดยสภาวะในแนวตัดผ่านไไ่หลังวีปแสดงการไหลของน้ำที่ผิวน้ำ พื้นที่ดังกล่าวเป็นประกอบด้วยพื้นที่ชายฝั่งน้ำ

ต้นทั้งหมดมีป่าวัยอ่อนภายในประชาคมหลากหลายชนิด (Munk et al., 2004) ปัจจัยภายในทางชีวิทยา ได้แก่ ความอุดมสมบูรณ์ของอาหาร, ความสมบูรณ์เพศ เมื่อเปรียบเทียบความแตกต่างระหว่างคุณภาพ พนว่าดูครัวเรือนมีความสมบูรณ์มากกว่าคุณอื่นๆ, สัดส่วนประชากรที่เป็นกลุ่มผู้ล่า (Predation) (วุฒิชัย, 2530) ลักษณะการรวมกลุ่มกันของระบะวัยอ่อนในบริเวณใกล้เคียงของการเกิดแนวปะการังสัมพันธ์กับกระแสหน้าหรือลมที่หมุนวนและลักษณะเฉพาะในการให้ของมวลน้ำ มีทิศทางที่เป็นไปได้ของกรรมรวมกลุ่มกันในพื้นที่ และเช่นเดียวกับการลดแท่งที่ประชากรกลุ่มใหม่ของปลาในแนวปะการังเพิ่มซึ่งเป็นกระบวนการกำกับที่สุด จากกระบวนการดังกล่าวเนี้ยมีผลกระบวนการเปลี่ยนแปลงโครงสร้างการแพร่กระจายในช่วงระยะเวลา ซึ่งเหมือนเป็นวิธีการปรับตัวสำหรับการดำรงชีวิตส่วนใหญ่ของประชากรที่มาหลัง แต่ไม่มีอิทธิพลต่อการเพิ่มประชากรภายในโครงสร้างของประชาคมในสิ่งแวดล้อมแนวปะการัง การแพร่กระจายของประชาคอมป่าวัยอ่อนกำหนดโดยพื้นที่วางแผนป่าตัวโตเต็มวัยและลักษณะการพัฒนาของไก่ (Leis and Carson, 2000) โดยในการพักอพกเป็นตัวโดยอิทธิพลของช่วงเวลาและตำแหน่งของสถานที่ในสิ่งแวดล้อมทั้งที่มีชีวิตและไม่มีชีวิตมีส่วนส่งเสริม และพฤติกรรมในการตอบสนองต่อสิ่งแวดล้อม เช่นเดียวกับความหนาแน่นของปลาที่อยู่ภายในท้องชีวิทยา ซึ่งเป็นที่ยอมรับว่าการตอบสนองต่อสิ่งแวดล้อม เช่นเดียวกับความหนาแน่นของปลาที่อยู่ภายในท้องชีวิทยา ได้แก่ สถานที่ที่มีอาหาร (Starvation) และจากการล่าโดยผู้ล่า (Predation mortality) (Lasker, 1975; Bailey and Houde, 1989) อย่างเช่นผลกระทบต่อการสร้างและการดำเนินชีวิตของประชาคอมป่าวัยอ่อนโดยทั่วไป ขึ้นอยู่กับสถานที่และช่วงเวลาจากการเปลี่ยนแปลงในมหาสมุทร และสภาพของสิ่งแวดล้อมทางชีวิทยา ซึ่งเป็นที่ยอมรับว่าการตอบสนองต่อสิ่งแวดล้อม ประชาคอมป่าวัยอ่อนที่มีความคุณภาพขึ้นอยู่กับผลกระทบเปลี่ยนแปลงของคุณภาพตามสภาพสิ่งแวดล้อมทางสมุทรศาสตร์และชีวิทยา (Gray, 1993; Fuentes and Coto, 2004)

- สัตว์พื้นทะเล

เก็บรวบรวมตัวอย่างในเที่ยวเรือที่ 1 ในวันที่ 22 กุมภาพันธ์ 2550 ด้วยเครื่องมือ Olsen box corer บริเวณแนวเก็บตัวอย่างที่ 1 (L1) ไม่สามารถเก็บตัวอย่างได้ตามแผน เนื่องจากเครื่องมือเก็บตัวอย่างชำรุด เก็บรวบรวมตัวอย่างในเที่ยวเรือที่ 2 ระหว่างวันที่ 14 – 16 มีนาคม 2551 ด้วยเครื่องมือ Smith-McIntyre grab บริเวณแนวเก็บตัวอย่างที่ 2 (L2) จำนวน 10 สถานี ได้แก่ สถานี L2-1 ถึง L2-5, L2-7, L2-9, L2-11, L2-13, L2-17

ผลการวิเคราะห์ตัวอย่างบนแนวเก็บตัวอย่างที่ 2 พบว่าพื้นท้องทะเลเป็นทรายปนกับเปลือก foraminifera เปลือกหอยแตก ชาด bryozoa และฟองน้ำ สัตว์พื้นทะเลที่พบชุกชุม คือ พากแอนฟิพอด (amphipods) รองลงมาคือ ไส้เดือนทะเล (polychaetes) หนอนถั่ว (sipuncula) ออสตราโคด (ostracod) คุมา เชียน (cumaceans) (ตารางที่ 3.10) ในบางกลุ่มสัตว์ไม่สามารถจำแนกถึงระดับวงศ์ได้ กลุ่มไส้เดือนทะเลที่พบมากที่สุด คือ วงศ์ Spionidae รองลงมาได้แก่ วงศ์ Paraonidae Nephytidae และ Orbiniidae พนในจำนวนที่

กลักษณ์ กลุ่มหอยที่พบส่วนใหญ่เป็นหอยฝาเดียวในวงศ์ Architectonicidae และหอยสองฝาวงศ์ Tellinidae กลุ่มนี้ ในวงศ์ที่พบมากคือ วงศ์ Ocypodidae และ Leucosiidae

เมื่อพิจารณาองค์ประกอบของกลุ่มสัตว์ พบร่วมกับกลุ่มครัสตาเชียน มีสัดส่วนสูงที่สุด คิดเป็น 64% ของสัตว์พื้นที่พบทั้งหมด รองลงมาเป็นไส้เดือนทะเลและหูอนด้า เท่ากัน 22% และ 7% ตามลำดับ (ตารางที่ 3.11)

ตารางที่ 3.10 องค์ประกอบของสัตว์พื้นที่พบบริเวณแนวเก็บตัวอย่างที่ 2 (L2)

Faunal group	Individual	Percentage (%)
Amphipod	387	42.4
Amphioxus	2	0.2
Anomurans	4	0.4
Brachyurans	16	1.8
Chaetognaths	1	0.1
Cumaceans	39	4.3
Copepods	21	2.3
Coral colonies	0	0.0
Echinoderms	19	2.1
Ghost shrimps	26	2.9
Hydrozoans	1	0.1
Isopods	16	1.8
Mantis shrimps	2	0.2
Mollusks	20	2.2
Nemertene	1	0.1
Ostracods	45	4.9
Pycnogonids	1	0.1
Polychaetes	208	22.8
Shrimps	28	3.1
Sipunculids	64	7.0

Faunal group	Individual	Percentage (%)
Tanaidacea	6	0.7
Unidentified	6	0.7

ตารางที่ 3.11 องค์ประกอบของสัตว์พื้นทะเลจำแนกตามกลุ่มสัตว์ที่พบบริเวณแนวเก็บตัวอย่างที่ 2 (L2)

Faunal group	individuals	percentage
Polychaetes	208	22.8
Mollusks	14	1.5
crustaceans	591	64.7
sipuncula	64	7.0
echinoderms	19	2.1
others	17	1.9



รูปที่ 3.38 ตัวอย่างภาพสัตว์พื้นทะเลที่พบในการเก็บตัวอย่างบนแนวสำรวจ 2 (L2)

3.2.5 ผลการดำเนินศึกษาในช่วงที่ 2 ของการศึกษาในปีที่ 2

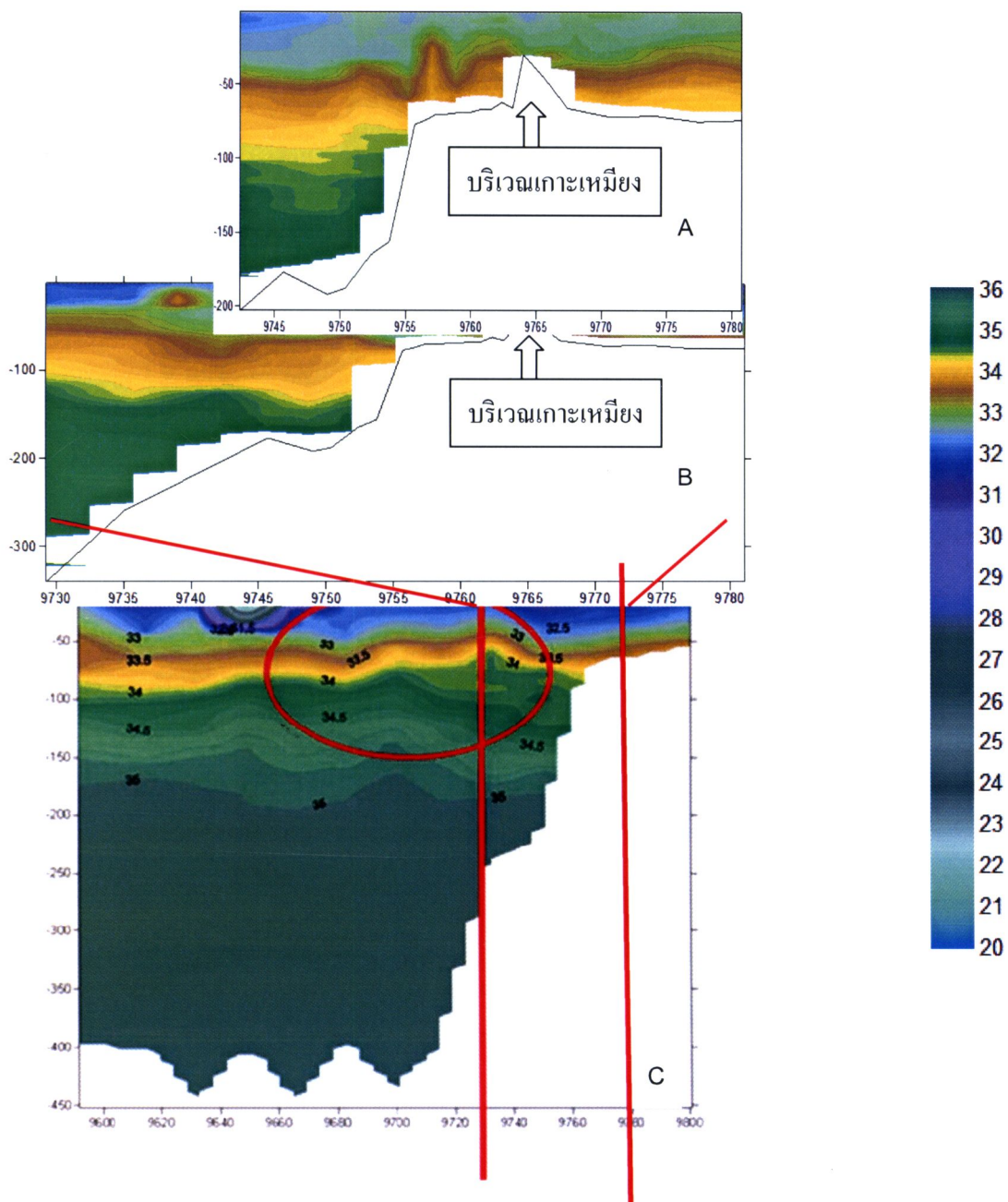
จากลักษณะทั่วไปในปีที่สองนั้นพบว่ามีความแตกต่างกับปีที่ผ่านมา โดยในปีที่สองนี้ไม่พบมีรายงานการตายของสัตว์น้ำหรือปะการังอ่อน การสร้างของแพลงก์ตอนพืช และการพบสัตว์ทะเลชนิดที่อาศัยอยู่ในน้ำลึกในบริเวณชายฝั่งเมื่อ년ดันปี 2550 ดังนั้นจึงอาจเป็นไปได้ว่ามีการเปลี่ยนแปลงของลักษณะทางสมุทรศาสตร์ที่มีผลต่อระบบเศรษฐกิจฝั่งในปีที่สองนี้

1. การเก็บกุญแจให้น้ำโดยใช้ระบบ bottom release system นั้นทำงานได้ผลดี การเก็บกุญแจประสบความสำเร็จ และการถ่ายข้อมูลออกจากเครื่องวัดกระแสน้ำแบบ ADCP ที่ใช้ในทุนน้ำได้ข้อมูลมาสมบูรณ์ เช่นเดียวกับข้อมูลอุณหภูมน้ำที่มาจาก Temperature Logger ที่ติดตั้งไว้ที่ระดับความลึกต่างๆ ที่บนทุน โดยข้อมูลดังกล่าวจะได้นำไปทำการตรวจสอบความถูกต้องและวิเคราะห์ผล

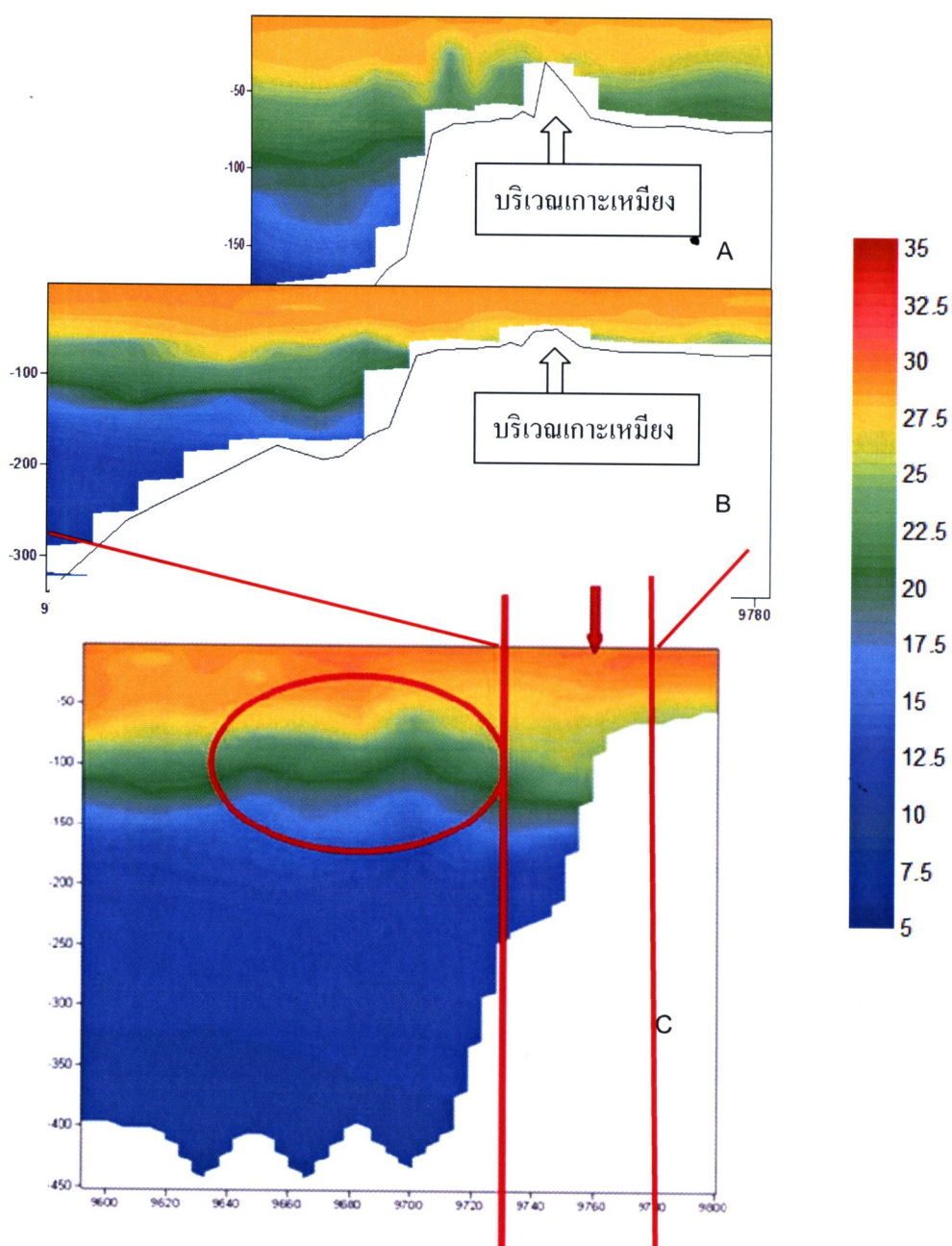
2. การสำรวจข้อมูลสมุนไพรศาสตร์ในเดือนมีนาคม โดยมีสถานีสำรวจในครั้งนี้ทั้งสิ้น 23 สถานี ตามปรากฏในรูปที่ 1 ซึ่งเป็นสถานีเดียวกันกับที่เคยดำเนินการในการสำรวจครั้งที่ 1 (มีนาคม 2550) และครั้งที่ 2 (เดือนตุลาคม 2550)

จากข้อมูลที่ได้จากการสำรวจด้วยเครื่อง CTD (conductivity/salinity, temperature, และ depth) ในเดือนมีนาคมของสองปีการศึกษา (รูปที่ 3.39A-B และ 3.40A-B) จะเห็นว่าในปี 2550 นั้น มวลน้ำลึกจากทะเลลึกลงอย่างมาก (ความเค็มสูงและอุณหภูมน้ำต่ำกว่าเดิม) สามารถเข้ามาถึงในบริเวณชายฝั่งอันเนื่องจากชั้นน้ำ pycnocline นั้นอยู่ค่อนข้างด้านบน (ประมาณ 30-50 เมตร) ทำการแตกตัวของคลื่นใต้น้ำที่เกิดในชั้นน้ำนี้เคลื่อนตัวเข้าแตกตัวใกล้แนวฝั่งของเกาะ ทำให้มวลน้ำเกิดการกระจายตัวขึ้นสู่ใกล้ชั้นผิวน้ำ ได้มาก ในขณะที่ในปี 2551 นั้น พบว่าการกระจายตัวของมวลน้ำลึกจากชายฝั่งเข้ามาในบริเวณชายฝั่งนั้นมีน้อย ทั้งนี้อาจเนื่องจากในปี 2551 นั้น จะพบว่ามีมวลน้ำความเค็มที่ต่ำกว่า 32 PSU กระจายตัวอยู่ในน้ำชั้นผิวสูงกว่าที่พบในปี 2550 จึงอาจให้ชั้นน้ำ pycnocline ที่พบที่ระดับความลึกประมาณ 50 เมตร นั้นเกิดขึ้นที่บริเวณใกล้ชายฝั่งเท่านั้น แต่ชั้นน้ำ pycnocline ที่พบอยู่ลึกลงไปอีกที่ระดับความลึกประมาณ 100 เมตร นั้นเป็นชั้นน้ำที่เกิดอยู่ในทะเลลึกลงกว่า น้ำลึกซึ่งเป็นชั้นน้ำที่เกิดการก่อตัวของคลื่นใต้น้ำจากน้ำทะเลฝั่งน้ำลึก ดังนั้นคลื่นใต้น้ำดังกล่าวเมื่อเคลื่อนตัวเข้าใกล้ชายฝั่งที่น้ำลึกประมาณ 250-300 เมตร คลื่นอาจเกิดการไม่เสถียรแล้วแตกตัวฟุ่งกระจายทำให้มวลน้ำต่ำกว่าระดับน้ำทะเลลึกจากชายฝั่งมีการแตกตัวและพัดเข้าแนวชายฝั่งของเกาะเป็นลักษณะคล้ายก้อนมวลความเค็มสูงและอุณหภูมิต่ำ (รูปที่ 3.39) ดังที่มีพบรายงานอยู่ทุกปีในบริเวณหมู่เกาะสมิลัน เช่นเดียวกับสารอาหารที่เป็นตัวสนับสนุนการเจริญเติบโตของแพลงก์ตอนพืชและสาหร่าย พบว่าในปี 2550 มีการกระจายตัวขึ้นมาที่ใกล้ผิวน้ำใกล้แนวเกาะค่อนข้างมากกว่าที่พบในปี 2551 (รูปที่ 3.41) จากข้อมูลดังกล่าวแสดงให้เห็นว่าการผันแปรของลักษณะทางสมุทรศาสตร์ในแต่ละปีนั้นมีค่อนข้างสูง ซึ่งการผันแปรดังกล่าวอาจส่งผลกระทบต่อระบบนิเวศแวดวงทางน้ำทะเลฝั่งและชายฝั่งได้ทั้ง

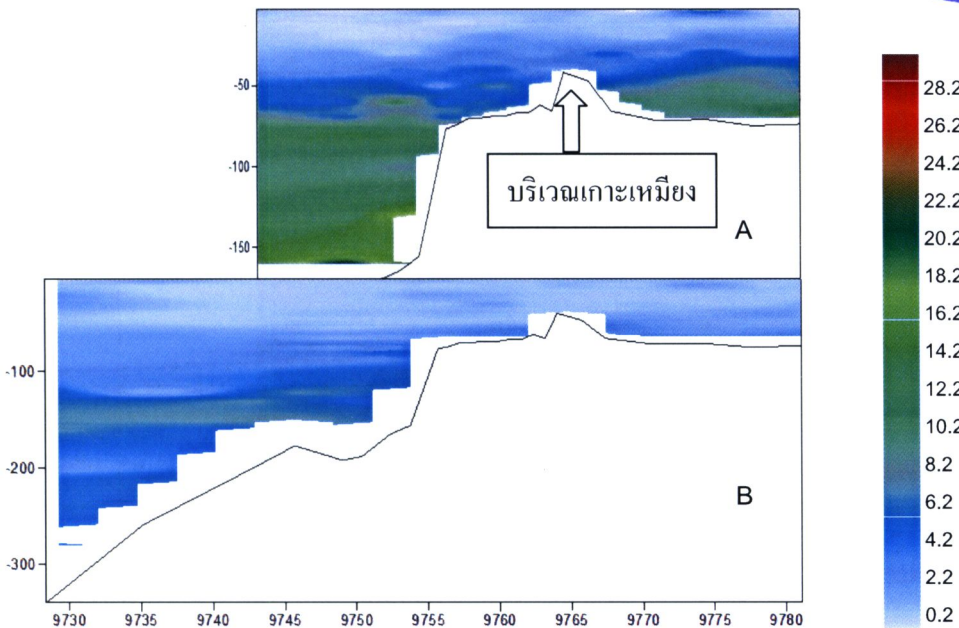
โดยทางตรงและทางอ้อม อย่างไรก็ตามในปีที่ไม่มีปรากฏการณ์พิคปักติเช่นในปี 2550 นั้น แนวหน้ากระแสลมลันก์บังคงได้รับอิทธิพลจากน้ำทะเลลึกแต่ความรุนแรงจะน้อยกว่าในปีที่ขึ้นนำ pycnocline ที่เป็นที่เกิดคลื่นใต้น้ำนั้น เคลื่อนตัวอยู่ในความลึกของน้ำไม่น่าจะ เช่น ในปี 2550 ลักษณะทางสมุทรศาสตร์ดังกล่าวอาจได้รับอิทธิพลจาก ปัจจัยอื่นๆ เช่น ความรุนแรงและระยะเวลาที่เกิดมรสุม (มีรายงานการศึกษาพบว่าการเปลี่ยนแปลงของมรสุมในระหว่างปีที่มีการผันแปรอยู่เสมอ) หรือการเกิดปรากฏการณ์ทางสมุทรศาสตร์ในมหาสมุทรอินเดีย เช่น การเกิดปรากฏการณ์ Indian Ocean Dipole (IOD) และการผันแปรของปริมาณน้ำจืดจำนวนมากที่ไหลลงสู่อ่าวเบงกอล ทางตอนเหนือ เป็นต้น



รูปที่ 3.39 ค่าความเคี้ยวที่พับในแนวทิศตะวันออกไปยังนอกชายฝั่งด้านตะวันตกผ่านเกาะเหมียง (เกาะ 4)
(A) ข้อมูลในเดือนมีนาคม 2550 (B) มีนาคม 2551 ใกล้ชายฝั่งลึกลieg แนวความลึกมากที่สุดที่ 330 เมตร (C)
มีนาคม 2551 ลึกลieg แนวความลึกมากที่สุดที่ 450 เมตร



รูปที่ 3.40 ค่าอุณหภูมิที่พับในแนวทิศตะวันออกไปยังนอกชายฝั่งด้านตะวันตกผ่านเกาะหมีง (เกาะ 4) (A)
ข้อมูลในเดือนมีนาคม 2550 (B) มีนาคม 2551 ใกล้ชายฝั่งถึงแนวความลึกมากที่สุดที่ 330 เมตร (C) มีนาคม
2551 ถึงแนวความลึกมากที่สุดที่ 450 เมตร



รูปที่ 3.41 ค่าสารอนิทรีย์ในโตรเจนรวมที่พบรainfall ในแนวทิศตะวันออก ไปยังนอกชายฝั่งด้านตะวันตกผ่านแกะเหเนียง (แกะ 4) (A) ข้อมูลในเดือนมีนาคม 2550 (B) มีนาคม 2551 ใกล้ชายฝั่งถึงแนวความลึกมากที่สุดที่ 330 เมตร

3.2.6 ผลการดำเนินศึกษาในช่วงสุดท้ายของการศึกษาในปีที่ 2

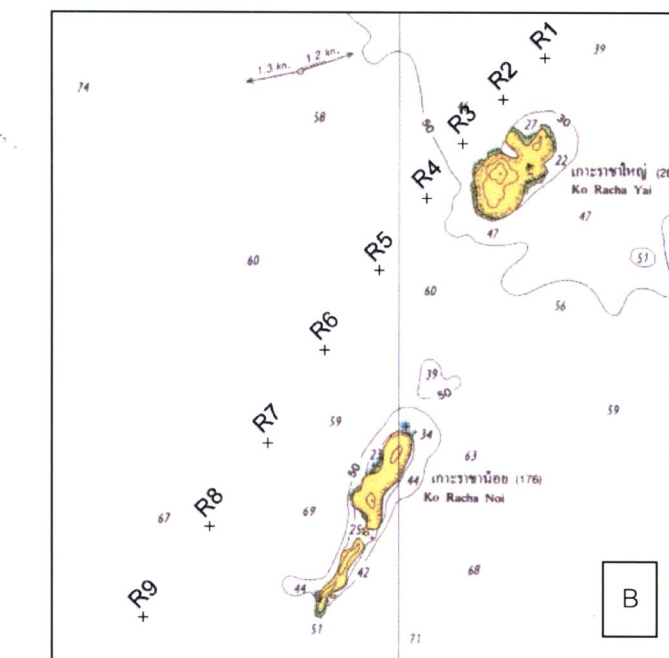
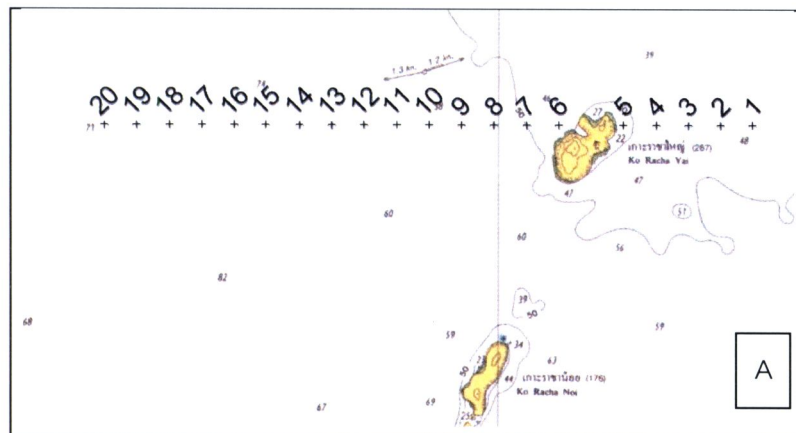
การศึกษา ทดลองและสำรวจ ณ บริเวณแกะราชา โดยทีมวิจัยทั้งของสถาบันฯ และทางเยอรมัน ได้เดินทางไปทำการสำรวจและทำการศึกษาทดลอง ณ แกะราชา เพื่อเตรียมศึกษาในเชิงพื้นที่ที่กว้างขึ้นในทะเลอันดามันของประเทศไทย ซึ่งแกะราชา ถือว่าเป็นสถานที่ออกชายฝั่งของจังหวัดภูเก็ต (อยู่ทางทิศใต้ของหมู่เกาะสิมลัน) อยู่ในพื้นที่ที่มีไฟล์ทวีปที่ค่อนข้างแคบ โอกาสที่จะได้รับอิทธิพลจากกระบวนการทางสมุทรศาสตร์จากนอกชายฝั่งในทะเลอันดามันมีค่อนข้างสูง ในต้นปี 2550 บริเวณแกะราชาก็เป็นอีกสถานที่ที่พบรายงานผลกระทบจากมวลน้ำเย็น ทำให้มีรายงานการเกิดการสะพรั่งของแพลงก์ตอนพืช

การสำรวจที่แกะราชานี้มีการสำรวจทั้งทางด้านสมุทรศาสตร์นอกชายฝั่งและบริเวณแนวปะการัง รวมทั้งการทดลองในแนวปะการัง บริเวณพื้นที่แนวปะการังที่ทำการศึกษานั้นอยู่ทั้งในพื้นที่ด้านตะวันออก (ด้านที่เจยบสูงและหลบคลื่นลม) และตะวันตก (รับอิทธิพลจากคลื่นลมที่มาจากการทะเลนอกชายฝั่งโดยตรง) (รูปที่ 3.42)



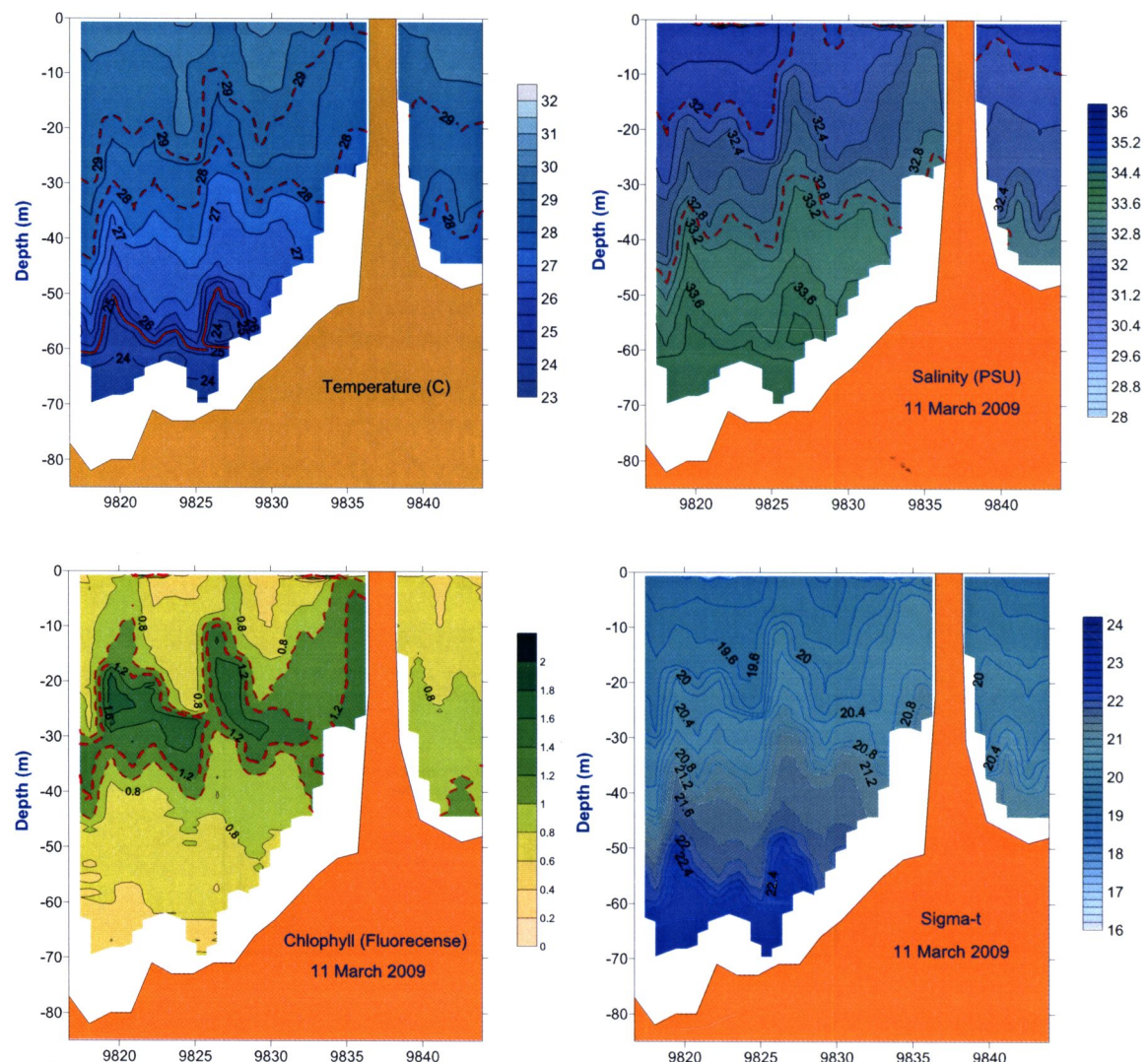
รูปที่ 3.42 แสดงบริเวณสถานีที่ทำการศึกษาทางด้านสมุทรศาสตร์และกระบวนการทางชีวะ เกมี และสาขะบัน แนวปะการังในพื้นที่บริเวณเกาะราชาใหญ่

สำหรับแนวสำรวจทางด้านสมุทรศาสตร์นั้นได้ทำการศึกษาลักษณะของมวลน้ำทั้งในแนวทิศตะวันออก-ทิศตะวันตก และแนวขานานเหนือ-ใต้ทางด้านตะวันตกของเกาะราชาใหญ่-เกาะราชาน้อย (รูปที่ 3.43 A-B)



รูปที่ 3.43 แสดงสถานีตรวจวัดทางด้านสมุทรศาสตร์ในบริเวณนอกชายฝั่งเกาะราชาใหญ่และเกาะราชน้อย

ผลการศึกษา: จากการวิเคราะห์ผลการศึกษาเบื้องต้นนั้นพบว่าบริเวณบนพื้นที่แนวปะการังนั้นไม่พนลักษณะของมวลน้ำทะเลลึกมีผลโดยตรงต่อแนวปะการังเหมือนที่พบในบริเวณหมู่เกาะสิมิลันที่พนว่าจะมีมวลน้ำเย็นที่มีสารอาหารและความเค็มสูง มีค่าอุณหภูมิต่ำเคลื่อนตัวขึ้นมาในแนวปะการังอยู่ทุกต้นปี โดยพบว่าปีที่ได้รับผลกระทบรุนแรงคือต้นปี 2550 เกาะราชากีได้รับผลกระทบเข่นกัน จากข้อมูลในการสมูทรสเตอร์ในเดือนมีนาคม 2552 ที่ทำการศึกษาในครั้งนี้พบว่ามวลน้ำเย็นในทะเลลึกนั้นเคลื่อนตัวมาอยู่ที่ระดับความลึกมากกว่า 50 เมตร (รูปที่ 3.44)

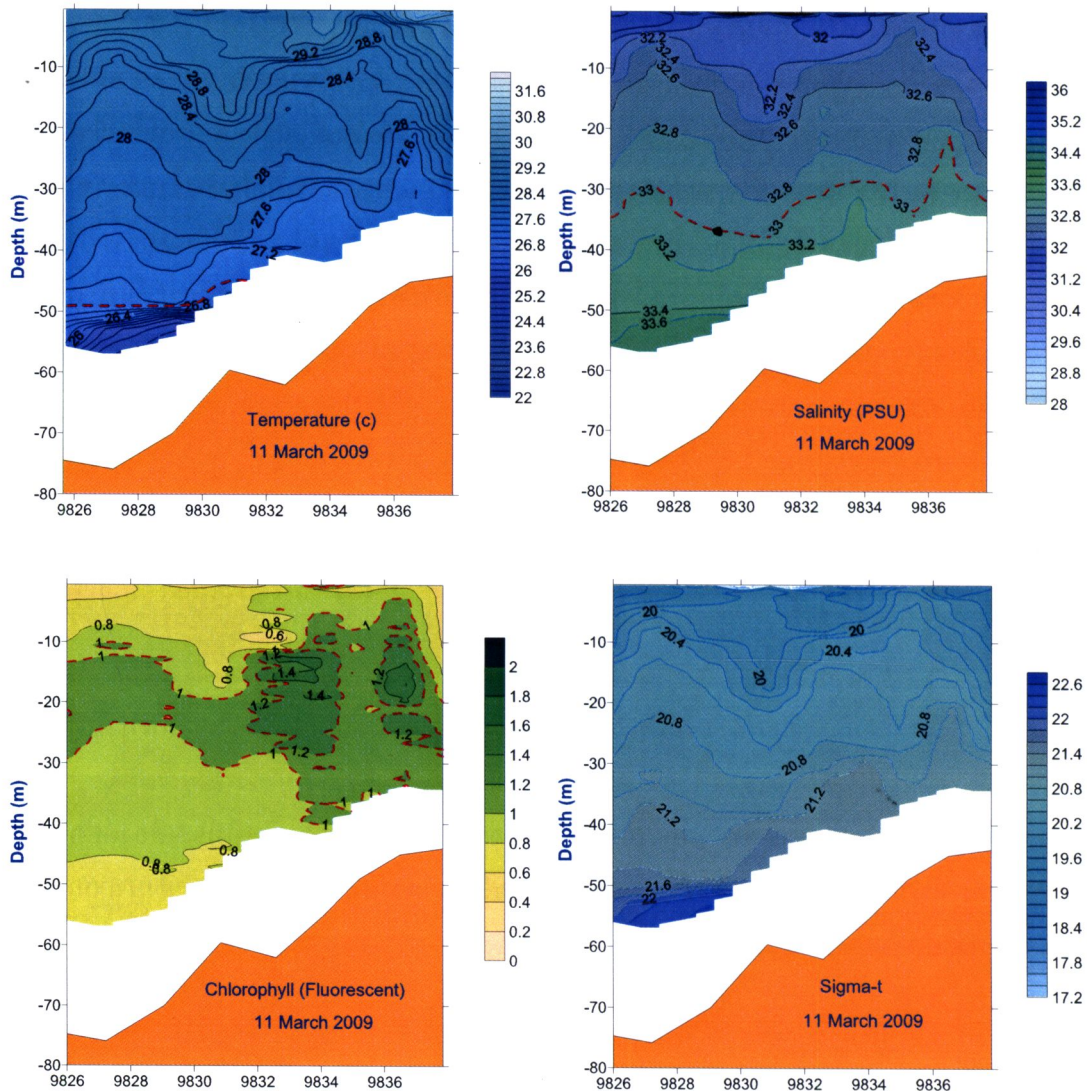


รูปที่ 3.44 แสดงลักษณะการแพร่กระจายของอุณหภูมิ ความเค็ม คลอโรฟิลล์ และความหนาแน่นของมวลน้ำทะเล (Sigma-t) ในเดือนมีนาคม 2552 บริเวณเกาะราชากีใหญ่ จากทิศตะวันออกไปยังทิศตะวันตกผ่านแนวปะการัง (รูปที่ 3.43A)

การกระจายตัวของมวลน้ำลึกขึ้นมาที่บริเวณชายฝั่งของเกาะนั้นพบว่ามีการกระจายและผสมผสานกับมวลน้ำผิวน้ำได้น้อยมากอาจเกิดจากการที่มวลน้ำลึกที่มีการเคลื่อนตัว (คลื่นใต้น้ำ) มากระทบแนวพื้นท้องทะเลที่ไอลท์วีปนันอยู่ห่างแนวชายฝั่งออกไปมาก ซึ่งเกิดจากแนวชั้นน้ำ pycnocline อยู่ในระดับที่ลึก ประกอบกับแนวที่ทำการศึกษานั้น (ทางตอนเหนือของเกาะ) แนวระดับความลึกน้ำ 50 เมตรนั้นอยู่ห่างจากแนวชายฝั่งของเกาะค่อนข้างมาก ทำให้มวลน้ำลึกดังกล่าวฟังกระจายขึ้นสู่ผิวน้ำใกล้ชายฝั่งของเกาะได้น้อย อย่างไรก็เดิมที่มวลน้ำที่เริ่มกระจายตัวและผสมผสานกับมวลน้ำชั้นบนใกล้แนวเกาะทำให้มีสารอาหารที่กระตุ้นการทำให้พืชว่ามีปริมาณคลอโรฟิลล์ปริมาณสูงกระจายตัวอยู่ในชั้นน้ำทางด้านตะวันตกทั้งนอกและบริเวณใกล้แนวชายฝั่งของเกาะ ทำให้ช่วยเพิ่มความอุดมสมบูรณ์บริเวณรอบๆ แนวชายฝั่งของเกาะ (รูปที่ 3.44:Chlorophyll)

จากข้อมูลที่ได้จากการศึกษาในแนวเหนือ-ใต้ทางด้านตะวันตกของเกาะราชาใหญ่และราชาน้อย (รูปที่ 3.43 B) พบว่าความลึกของน้ำทะเลทางด้านเหนือมีความลึก (น้อยกว่า 50 เมตร) และความลึกเพิ่มมากขึ้นในทางด้านทิศใต้ (~75 เมตร) โดยพบว่าโดยรอบเกาะราชาน้อยนั้นแนวความลาดชันของชายฝั่งได้น้ำมีมากกว่าที่พบที่เกาะราชาใหญ่ (ยกเว้นที่บริเวณทิศตะวันตกเฉียงใต้) (รูปที่ 3.43) และจากความลึกคุณภาพน้ำที่พบนั้นพบว่ามวลน้ำที่มีลักษณะคุณสมบัติของมวลน้ำน้ำลึกพบกระจายตัวอยู่ที่ระดับความลึกของน้ำที่มากกว่า 50 เมตร (รูปที่ 3.45) และปริมาณคลอโรฟิลล์เพิ่มมากขึ้นที่บริเวณที่ระดับความลึกกลางน้ำโดยเฉพาะที่บริเวณใกล้แนวชายฝั่งใกล้ด้านตะวันตกของเกาะราชาใหญ่ ที่ระดับความลึกน้อยกว่า 50 เมตร

จากข้อมูลลักษณะทางสมุทรศาสตร์เบื้องต้นดังกล่าวแสดงให้เห็นว่าพื้นที่ที่จะเสี่ยงต่อการได้รับผลกระทบจากมวลน้ำเย็นนั้น จะเป็นพื้นที่ที่ชายฝั่งของเกาะมีแนวความลาดเอียงของชายฝั่งมากและอยู่ใกล้บริเวณที่มีน้ำลึกมากกว่า 50 เมตร



รูปที่ 3.45 แสดงลักษณะการแพร่กระจายของอุณหภูมิ ความเค็ม คลอร์ฟิลล์ และความหนาแน่นของมวลน้ำทะเล (Sigma-t) ในเดือนมีนาคม 2552 บริเวณเกาะราชาใหญ่ จากทางด้านตะวันตกของเกาะราชาใหญ่ลงไปทางใต้ถึงแนวทิศตะวันตกของเกาะราชน้อย (แนวเหนือ-ใต้ของเกาะราชาใหญ่และเกาะราชน้อย: รูปที่ 3.43 B)

3.2.6 ผลการศึกษาที่เกี่ยวข้องกับผลกระทบจากคลื่นใต้น้ำต่อทรัพยากรในแนวปะการัง ซึ่งสรุปได้โดยสังเขปดังนี้

- ลักษณะแนวปะการังและสภาพเคมีของเกาะสิมิลันต่อการตอบสนองคลื่นใต้น้ำ (Coral reef characteristics and physico-chemical characteristics of the Similan Islands in response to large amplitude internal waves)

สิมิลันเป็นหมู่เกาะนอกชายฝั่งของประเทศไทยที่ลักษณะการแพร่กระจายของปะการังที่ไม่เหมือนกับในพื้นที่อื่นๆ โดยมีปะการังที่มีความอุดมสมบูรณ์เจริญเติบโตในพื้นที่ที่หอบคลื่นลมทางฝั่งตะวันออกของเกาะ (49-67% ของปะการังเป็นที่พบในลักษณะที่กระจัดกระจายเป็นหย่อมๆ บนพื้นแข็ง) ขณะที่ทางด้านฝั่งตะวันตกที่รับคลื่นลม (รวมทั้งคลื่นใต้น้ำโดยตรง) มีปะการังกระจัดกระจายเป็นหย่อมเล็กๆ (28-44% ของปะการังเป็นพบกระจัดกระจายอยู่บนพื้นแข็ง) และมีลักษณะที่ไม่เหมือนที่พบร้าไวปีคือจะมีฐานที่แข็งแรงและแผ่กว้างมีความชันช้อนน้อย แม้ว่าพบกระจัดกระจายของปะการังทางฝั่งตะวันออกจะอยู่เป็นกลุ่มก้อนมากกว่าแต่ประชากรมีการรังทางฝั่งตะวันออกนั้นได้รับอิทธิพลจากเงื่อนไขทางสมุทรศาสตร์ที่แตกต่างกัน โดยในช่วงมรสุมตะวันตกเฉียงใต้จะได้รับอิทธิพลจากคลื่นผวนที่รุนแรง (swell) คลื่นใต้น้ำที่ก่อให้เกิดลักษณะน้ำผุด (Upwelling) การขึ้นลงของน้ำทะเลในทะเลอันดามันก่อให้เกิดคลื่นใต้น้ำขนาดใหญ่ที่มีความถี่ที่เคลื่อนตัวเข้าสู่ชายฝั่งของหมู่เกาะหลายครั้งต่อชั่วโมงและเกิดขึ้นอย่างรวดเร็วภายในเวลาไม่กี่นาที การลดลงอย่างรวดเร็วของอุณหภูมิ (มากกว่า 10 องศาเซลเซียส) อ็อกซิเจนละลายน้ำ (ลดลงเหลือประมาณ 2.8 มิลลิกรัมต่อลิตร) ความเป็นกรด-ด่าง (ลดลงมากถึง 0.4) และการเพิ่มน้ำของความเค็ม (1.8 PSU) ในเวลาเดียวกัน รวมทั้งการเกิดกระแสน้ำที่แรงและมีความชุ่นของตะกอนในน้ำที่สูง

- การเจริญเติบโตของปะการังและการสึกกร่อนและหักพังอันเกิดจากสิ่งมีชีวิตเข้าไปอาศัยอยู่ที่รากเหตุจากคลื่นใต้น้ำ (Coral growth and bioerosion as a response to large amplitude internal waves)

การศึกษาการปริมาณของปะการังที่เจริญเติบโตและการหักพังและการสึกกร่อนจากสิ่งมีชีวิตที่เข้าไปอาศัยอยู่ในแนวปะการัง (Bioerosion) ในพื้นที่ โดยได้มีการใช้การทดลองระยะยาวโดยการเกลี่ยอนข้ามบ้างส่วนของปะการัง (fragments) ของ *Porites lutea* ซึ่งเป็นปะการังชนิดแข็งที่พบทั่วไปในบริเวณหมู่เกาะสิมิลัน เพื่อศึกษาปริมาณการสึกกร่อนและการสูญเสียสาร์บอนเดตของปะการังทั้งทางด้านฝั่งตะวันออกและตะวันตกของเกาะ รวมทั้งความสามารถในการปรับตัวกับสภาพแวดล้อมที่มีการเปลี่ยนแปลง ซึ่งผลการศึกษาพบว่าการสร้างคาร์บอนेट (องค์ประกอบในโครงสร้างแข็งของปะการัง) นั้นลดลงในปะการังที่พบในฝั่งตะวันตกโดยเฉพาะที่ความลึก 20 เมตร เมื่อ

เพรียบเทียบกับที่ระดับความลึก 7 เมตร และทุกความลึกของฝั่งตะวันออก ในการทดลองพบ
ปริมาณการตายจำนวนมากของปะการังในบริเวณที่ดีน้ำทางฝั่งตะวันตกที่มีผลมาจากการแเปล่งขันใน
การเจริญเติบโตจากการครอบครองพื้นที่ของสาหร่าย ซึ่งเนื่องจากการที่สภาพแวดล้อมนั้นเอื้อต่อ
การเจริญเติบโตของสาหร่ายอันเนื่องจากมีสารอาหารจำนวนมาก ที่มาจากการหลั่นที่มีกับคลื่น
ใต้น้ำทางฝั่งตะวันตก รูปแบบการหักพังและสึกกร่อนจากกระบวนการของสิ่งมีชีวิตต่อโครงสร้าง
การ์บอนเนตของปะการังพบมีปริมาณที่มากที่สุดในพื้นที่ชายฝั่งน้ำด้านทางฝั่งตะวันออกและพบน้อย
ที่สุดที่บริเวณน้ำลึกทางฝั่งตะวันตก นอกจากนี้ยังพบลักษณะโครงสร้างของประชาชุมปะการังที่
อยู่ห่างแน่นทางด้านฝั่งตะวันออกของเกาะในขณะที่ฝั่งตะวันตกนั้นจะพบปะการังแข็งอยู่กระจัด
กระจาดเป็นโคลoniเดี่ยวๆ จากตัวอย่างของ *Porites lutea* แสดงให้เห็นอย่างชัดเจนว่ามีการลดลง
และจำกัดการเติบโตทางฝั่งตะวันตกของเกาะ ซึ่งคาดว่าสาเหตุมาจากการแเปล่งขันที่เป็นไปในทาง
ลบ แม้ว่าจะเป็นการชัดเจนว่าอัตราการหักพังและสึกกร่อนจากสิ่งมีชีวิตจะมีมากทางฝั่งตะวันออก
แต่ไม่สามารถที่จะสังเกตเห็นได้ชัดเจนเหมือนลักษณะการก่อตัวของปะการังที่อยู่ห่างหนาแน่น
และการสร้างโครงสร้างที่มีลักษณะที่ธรรมชาติที่พบในฝั่งตะวันออก การคำนวณอย่างละเอียดจะได้
มีการคำนวณการต่อไปเพื่อประเมินสมดุลย์ของการ์บอนเนต (ผลผลิตและการสูญเสีย) เพื่อคุณภาพ
การตอบสนองต่อการเปลี่ยนแปลง (ทางฝั่งตะวันออก และตะวันตก)

3. ผลการผลิตเบื้องต้นที่ตอบสนองต่อคลื่นใต้น้ำขนาดใหญ่ (Primary production as a response to large amplitude internal waves)

การศึกษาประชาคมสั่งเมืองพื้นที่ทางเหนือของประเทศไทย (หมู่บ้านสิมิลัน) โดยการวางแนวสำรวจ (Line transects) ลักษณะการปักกลุ่มของพื้นที่ทางเหนือ (ทราย ประการังเป็น ประการังตาข่าย หิน สาหร่ายและสัตว์อื่นๆ) และผลผลิต ตัวที่เป็นผู้ผลิตเบื้องต้นที่สำคัญในตะกอนดิน สาหร่าย และ ประการังที่มีจำนวนมากจะถูกจับแนก ที่พบชัดเจนนั้นเป็นพวงสาหร่ายที่ปักกลุ่มน้ำพื้นแข็งทางฝั่ง ตะวันตกที่เป็นพื้นที่ที่มีสาขาวาหารสูง ผลผลิตเบื้องต้นของประการังถูกตรวจวัดโดยตรงในการทดลอง ในภาคสนาม และในครึ่กดลองภายใต้เงื่อนไขที่ใกล้เคียงสภาพธรรมชาติมากที่สุด (ตะกอนดิน และ สาหร่าย) พบว่าสาหร่ายที่ปักกลุ่มน้ำพื้นท้องน้ำและตะกอนดินนั้นมีอัตราการหายใจที่ลดลงในฝั่ง ตะวันตกซึ่งสะท้อนให้เห็นถึงการลดลงของการผลิต ผลผลิตเบื้องต้นของตะกอนดินนั้นลดลงใน ฝั่งตะวันตกเช่นเดียวกัน ในขณะที่สาหร่ายนั้นไม่พบความแตกต่างในทั้งสองฝั่ง ที่น่าสนใจคือ ผลผลิตเบื้องต้นทางฝั่งตะวันตกนั้นมีความเหมือนกันกับฝั่งตะวันออกถึงแม่ปริมาณแสงนั้นอย่างกว่า อย่างมีนัยสำคัญในฝั่งตะวันตก ปริมาณคลอร์ฟิลล์ที่พบในประการังนั้นพบมีปริมาณมากกว่าในฝั่ง ตะวันตก แต่เมื่อศึกษาความสัมพันธ์ระหว่างอีกชิ้นงานที่เกิดจากการสังเคราะห์แสงและปริมาณ

กลอโรมิลล์แล้ว พบว่าประสิทธิภาพในการสังเคราะห์แสงนั้นมีน้อย การคำนวณประมาณการผลผลิตเบื้องต้น โดยการรวมข้อมูลที่ได้จากแนวสำรวจและการทดลองห้องหมุดจะได้คำนินการต่อไป

4. การตอบสนองต่ออาหารของปะการังต่อคลื่นใต้น้ำขนาดใหญ่ (Trophic response of corals to large amplitude internal waves)

การศึกษาการตอบสนองของการหาอาหารและสารอาหารของปะการังกลุ่ม Scleractinian ชนิด *Pocillopora meandrina* (Dana 1846) ต่อคลื่นใต้น้ำขนาดใหญ่ในทะเลอันดามันพบว่าปะการังที่อาศัยอยู่ทางด้านฝั่งตะวันตกของเกาะสินิลันซึ่งได้รับอิทธิพลจากคลื่นใต้น้ำที่เกิดมาจากการเคลื่อนตามน้ำโดยตรงนั้น พบร่วมมือชีวภาพและปริมาณโปรดีนสูงกว่าปะการังที่อาศัยอยู่ทางฝั่งตะวันออกซึ่งเป็นด้านที่ไม่ได้รับผลกระทบจากคลื่นใต้น้ำโดยตรงอย่างมีนัยสำคัญ ปะการังที่อยู่ทางฝั่งตะวันตกนั้นพบว่าเป็นปะการังที่เป็น Heterotrophic มากกว่า เนื่องด้วยมีปริมาณอัตราส่วนของ $\delta^{13}\text{C}$ ในเนื้อเยื่อที่ต่ำกว่าและพบอัตราการรอดตายสูงในการทดลองในที่มีดี (มีปริมาณแสงน้อย) เมื่อเปรียบเทียบกับการทดลองเดียวกันในฝั่งตะวันออก ความแตกต่างของการกินอาหารและสารอาหารนั้นเกิดจากอิทธิพลของคลื่นใต้น้ำที่มีผลต่อการไหลเวียนของอาหารและสารอาหาร ดังนั้นคลื่นใต้น้ำขนาดใหญ่นั้นอาจมีบทบาทที่สำคัญต่อการเพาะพลาญอาหารเป็นพลังงานและอัตราการลดตายในช่วงรุนแรงในทะเลอันดามัน